

REGIONE PUGLIA

Provincia di Taranto





GGETTO

PROGETTO PER LA COSTRUZIONE ED ESERCIZIO DI UN PARCO EOLICO DELLA POTENZA DI 39,6 MW E RELATIVE OPERE DI CONNESSIONE NEL COMUNE DI CASTELLANETA (TA)

Aer Soléir

GREEN ENERGY 7 S.R.L.

Corso Europa 13, 20122 Milano (MI) C.F./P.IVA: 12889060963

email/PEC: green.energy7.srl@legalmail.it

VILUPPO

OGGETTO DELL'ELABORATO



VALLEVERDE ENERGIA S.R.L.

Via Foggia 174, 85025 Melfi (PZ) C.F./P.IVA: 02118870761 email: info@valleverde-energia.it PEC: valleverde.energia@pec.it

Codice Commessa PHEEDRA: 23_31_EO_CST PHEEDRA S.r.I. Via Lago di Nemi, 90 74121 - Taranto Tel. 099.7722302 - Fax 099.9870285 e-mail: info@pheedra.it SHEEDS/ web: www.pheedra.it INGEGNERIA Direttore Tecnico Ing. Angelo Micolucci ORDINE INGEGNERI PROVINCIA TARANTO Sezione A Dott. Ing. MICOLUCCI Civile Ambiental Industriale n° 1851 Informazione

1	Ottobre 2023	PRIMA EMISSIONE	MS	AM	VS
REV	DATA	ATTIVITA'	REDATTO	VERIFICATO	APROVATO

RELAZIONE GEOTECNICA

FORMATO	SCALA		CODIC	CE DOCUM	/ENTO		NOME FILE	FOGLI
A 4		SOC.	DISC.	TIPO DOC.	PROG.	REV.	CST-CIV-REL-026 01	
A4		CST	CIV	REL	026	01	CST-CIV-REL-026_01	

20122 Milano (MI)

SOMMARIO

1.	PREMESSA	3
2.	NORMATIVA DI RIFERIMENTO	3
3.	PROPRIETÀ FISICHE E MECCANICHE DEI TERRENI	4
3.1.	Caratteristiche geotecniche dei terreni	6
4.	CARATTERISTICHE SISMICHE	9
5.	INDAGINI DA ESEGUIRE	10
6.	CRITERI DI PROGETTO, MODELLAZIONE GEOTECNICA, VERIFICHE DELLE FONDAZIONI DELLA SOTTOSTAZIONE ELETTRICA	13
7.	CRITERI DI PROGETTO, MODELLAZIONE GEOTECNICA, VERIFICHE DELLE FONDAZIONI DEGLI AEROGENERATORI	22
7.1.	Determinazione della portanza verticale di fondazioni profonde	23
7.2.	Carico limite verticale alla punta del palo	25
7.3.	Carico limite verticale lungo la superficie laterale del palo	31
8.	TABULATI DI CALCOLO	34
8.1.	Simbologia adottata nei tabulati di calcolo	34
8.2.	Parametri di calcolo	36
8.3.	Combinazioni di carico	36
8.4.	Archivio stratigrafie	37
8.5.	Archivio terreni	37
8.6.	Dati geometrici degli elementi costituenti le fondazioni profonde	38
8.7.	Dati geometrici degli elementi costituenti le fondazioni superficiali	39
8.8.	Valori di calcolo della portanza per fondazioni profonde	48
8.9.	Valori di calcolo della portanza per fondazioni superficiali	52
8.10	. Valori di calcolo dei cedimenti per fondazioni profonde	54
8.11	. Valori di calcolo dei cedimenti per fondazioni superficiali	56
8.12	. Particolare costruttivo fondazione	58

CST-CIV-REL-026_01

1. PREMESSA

La presente relazione espone gli aspetti tecnici relativi alla progettazione di un "Parco Eolico" per la produzione di energia elettrica da fonte rinnovabile di tipo eolica, e la conseguente immissione dell'energia prodotta, attraverso la dedicata rete di connessione, sino alla Rete di Trasmissione Nazionale.

Il progetto riguarda la realizzazione di un impianto eolico composto da 6 aerogeneratori ognuno da 6,6 MW nominali, per un totale di 39,6 MW da installare nel comune di Castellaneta (TA), in località "Pezza del Dragone" e opere di connessione ricadenti nel medesimo comune.

Gli aerogeneratori saranno collegati tra di loro mediante un cavidotto in alta tensione interrato che collegherà l'impianto al futuro ampliamento della Stazione elettrica sul territorio di Castellaneta (TA).

Il futuro ampliamento della Stazione Elettrica è identificato dalle seguenti coordinate 656603 E, 4503542 N, del Comune di Castellaneta (TA).

L'aerogeneratore preso in considerazione per tale progetto è il Modello SG 170-6,6 da 6,6 MW con altezza Mozzo 115 m e diametro 170 m.

L'impianto eolico è caratterizzato dagli elementi di seguito elencati:

- nº 6 aerogeneratori Modello SG 170-6,6 con altezza al mozzo 115 m e diametro 170 m e relative fondazioni
- potenza totale dell'impianto: 39,6 MW
- n° 6 piazzole temporanee di montaggio
- n° 6 piazzole definitive per l'esercizio e la manutenzione degli aerogeneratori
- Cavidotto interrato in alta tensione (36 kV) per il collegamento tra gli aerogeneratori, tra questi e lo stallo predisposto nel futuro ampliamento della SE di trasformazione della RTN a 380/150 kV di Castellaneta (TA)
- Una linea in fibra ottica che collega tra di loro gli aerogeneratori e la stazione elettrica di trasformazione per il telecontrollo del parco eolico
- Autorizzazione futuro ampliamento della Stazione Elettrica RTN Terna S.p.A. in agro del comune di Castellaneta (TA)

La presente relazione, nel dettaglio, descrive <u>l'interazione geotecnica</u> delle opere di fondazione delle strutture in relazione alle caratteristiche geomeccaniche del terreno.

In particolare, tale parco eolico, costituito in totale da n° **6** aerogeneratori, coinvolge un'areale di territorio omogeneo ed in particolare costituito da differenti caratteristiche geologiche e litostratigrafiche, per cui sono state previsti approfonditi studi al fine di definire la geometria per le fondazioni per gli aerogeneratori.

Le elaborazioni di seguito proposte sono da considerare indicative e dovranno essere necessariamente supportate in una fase successiva da indagini in sito e di laboratorio, per meglio caratterizzare i litotipi presenti nel sottosuolo delle diverse aree interessate e individuarne le caratteristiche geotecniche e meccaniche.

I HELDIKA SH
Servizi di Ingegneria Integrata
Via Lago di Nemi, 90
74121 - Taranto (Italy)
Tel. +39.099.7722302 - Fax: +39.099.9870285
Email: info@pheedra.it - web: www.pheedra.it

DUEEDDY 64

CST-CIV-REL-026_01

2. NORMATIVA DI RIFERIMENTO

In quanto di seguito riportato viene fatto esplicito riferimento alle seguenti Normative:

- **LEGGE n° 64 del 02/02/1974.** "Provvedimenti per le costruzioni, con particolari prescrizioni per le zone sismiche.";
- D.M. LL.PP. del 11/03/1988. "Norme tecniche riguardanti le indagini sui terreni e sulle rocce, la stabilità
 dei pendii naturali e delle scarpate, i criteri generali e le prescrizioni per la progettazione, l'esecuzione e
 il collaudo delle opere di sostegno delle terre e delle opere di fondazione.";
- D.M. LL.PP. del 16/01/1996. "Norme tecniche per le costruzioni in zone sismiche.";
- Circolare Ministeriale LL.PP. n° 65/AA.GG. del 10/04/1997. "Istruzioni per l'applicazione delle "Norme Tecniche per le costruzioni in zone sismiche" di cui al D.M. 16/01/1996.";
- Eurocodice 1 Parte 1 "Basi di calcolo ed azioni sulle strutture Basi di calcolo -.";
- Eurocodice 7 Parte 1 "Progettazione geotecnica Regole generali -.";
- **Eurocodice 8 Parte 5 -**"Indicazioni progettuali per la resistenza sismica delle strutture Fondazioni, strutture di contenimento ed aspetti geotecnici -.";
- D.M. 17/01/2018 AGGIORNAMENTO DELLE NORME TECNICHE PER LE COSTRUZIONI
- Circolare n. 7 del 21/01/2019 del C.S.LL.PP. Istruzioni per l'applicazione dell'«Aggiornamento delle "Norme tecniche per le costruzioni"»

3. PROPRIETÀ FISICHE E MECCANICHE DEI TERRENI

Il sito in studio ricade interamente sul foglio IGM 189 "Altamura" della carta d'Italia scala 1:100.000. Gli elementi al 5.000 interessati sono elemento n° 473111 "Masseria La Prechicca", l'elemento n. 473112 "Masseria Catalano" e l'elemento n° 473113 "Masseria Crocifisso".

Strutturalmente l'area in studio si colloca nel settore centro occidentale delle Murge. Nel contesto geodinamico e strutturale del Bacino del Mediterraneo, tale area della Puglia, costituisce una porzione di litosfera continentale allungata in senso NNO-SSE la cui natura (Promontorio africano o microplacca indipendente) è ancora dibattuta (e.g. Channel et al., 1979; Bosellini, 2002). Questo settore costituisce l'area di avampaese stabile (Avampaese adriatico).

In tale contesto, le Murge rappresentano, insieme al Salento, parte del più esteso tratto affiorante dell'Avampaese adriatico (Avampaese apulo sensu D'Argenio et al., 1973; Ricchetti et al., 1988). Tale settore, individuatosi nel Cenozoico, durante l'orogenesi appenninica, è costituito in prevalenza da una regione carbonatica autoctona poco deformata che attualmente si individua sia in aree emerse che sommerse (e.g. Ricchetti et al., 1988).

Nei suoi caratteri essenziali, l'Avampaese Apulo presenta una struttura crostale uniforme costituita da un basamento cristallino Variscano e da una copertura sedimentaria spessa circa 6 km. La copertura sedimentaria è stratigraficamente contrassegnata da facies terrigene fluvio-deltizie permo - triassiche (Verrucano), da evaporiti triassiche (Anidrite di Burano) e da una potente impalcatura carbonatica di piattaforma di età giurassico - cretacea (Ricchetti et al., 1988).

I calcari di piattaforma presentano in prevalenza facies ristrette depositatesi in un ampio dominio di piattaforma interna facente parte della Piattaforma apula (sensu D'Argenio, 1974). Durante il Mesozoico, la Piattaforma apula era una delle cosiddette piattaforme periadriatiche (D'Argenio, 1974), localizzate lungo il margine meridionale della Tetide e da molti autori comparate alle Bahamas per le facies carbonatiche

PHEEDRA SrI		
Servizi di Ingegneria Integrata		
Via Lago di Nemi, 90	RELAZIONE GEOTECNICA	Pagina 4 di 60
74121 - Taranto (Italy)	TELLIZIONE OLONION	r agiria + di 00
Tel. +39.099.7722302 - Fax: +39.099.9870285		
Email: info@pheedra.it – web: www.pheedra.it		

Committente: Green Energy 7 Srl Corso Europa 13 20122 Milano (MI)

PROGETTO PER LA REALIZZAZIONE DI UN PARCO EOLICO NEL COMUNE DI CASTELLANETA (TA) NELLA LOCALITA' "PEZZA DEL DRAGONE"

Nome del file:

CST-CIV-REL-026_01

presenti, per la forma, per le dimensioni, per i tassi di subsidenza e per l'architettura interna (Bernoulli, 2001). Dal punto di vista litostratigrafico la successione carbonatica mesozoica affiorante nelle Murge è stata suddivisa in due formazioni (Valduga, 1965; Ciaranfi et al., 1988): il **Calcare di Bari** (Valanginiano pro parte – Turoniano inferiore), spesso circa 2.000 m, ed il **Calcare di Altamura** (Turoniano sup. - Maastrichtiano), spesso circa 1.000 m, separate da una discontinuità stratigrafica marcata da depositi bauxitici del Turoniano (Ricchetti et al., 1988).

In particolare, (Cfr. Schema rapporti stratigrafici), la successione stratigrafica dei luoghi si compone, dall'alto verso il basso, di termini riferibili alle seguenti unità:

"Depositi attuali e recenti terrazzati di ambiente limno-fluviale" (a2), depositi prevalentemente ciottolosi degli alvei fluviali, talora anche terrazzati.

"Depositi alluvionali terrazzati ciottolosi e sabbiosi" (I), depositi prevalentemente ciottolosi e siltosi con lenti di ciottoli sui fianchi dei torrenti.

Le "Calcareniti di M.te Castiglione" (Qcs) Di età post - calabriana, sono costituite da calcareniti per lo più grossolane, compatte e da calcari grossolani tipo "panchina", di colore grigio - giallastre, dello spessore intorno a 2-4 m. Stratigraficamente succedono alle Argille del Bradano.

"Argille di Gravina" (Qac) Argille azzurre con fossili marini. Si sovrappongono alle Calcareniti di Gravina in concordanza angolare e non differiscono dalle argille grigio – azzurre plio-pleistoceniche dell'appennino. Affiorano, ai margini della fossa bradanica, lungo il contatto con i calcari delle Murge.

Le "Calcareniti di Gravina o tufo di Gravina" contraddistinte con la sigla (Qcc) di età Pliocenica, trasgressive sul Calcare di Altamura. Si tratta di calcareniti organogene, variamente cementate, porose, bianco giallognole, costituite da clastici derivati dalla degradazione dei calcari cretacici nonché da frammenti fossiliferi; alla base della formazione si riscontra un conglomerato a ciottoli calcarei con matrice calcarea rossastra.

Sui Calcari di Altamura poggia lo strato dei "**Tufi delle Murge**" (**Qca**), originatasi nel Pleistocene Superiore, si tratta di calcareniti bianche o giallastre più o meno cementate, a grana da media a grossolana, formate quasi completamente da bioclasti di molluschi, foraminiferi bentonici, alghe al 99% di carbonato di calcio. Lo spessore della formazione varia da pochi decimetri fino a 80 m circa. L'età è riferibile al Pliocene superiore - Pleistocene inferiore. Il contatto con i sottostanti calcari è trasgressivo.

I "Calcari di Altamura" (C10-5), di età senoniana, costituiscono il basamento delle rocce sedimentarie pliopleistoceniche; rappresentano ottimi terreni di posa delle fondazioni. La roccia si presenta più o meno fratturata, a grana fine, ben stratificata, con spessori variabili da pochi cm ad oltre il metro, ed è rappresentata localmente da calcari detritici di colore dal bianco al grigio scuro, con frequenti intercalazioni di calcari dolomitici e dolomie grigiastre. A questi si associano termini residuali limoso-argillosi rossastri ("terre rosse"), sia di deposizione primaria (caratterizzati da geometrie lenticolari, da modesta estensione e da spessore raramente superiore a metri 1), sia di colmamento delle principali discontinuità strutturali della massa rocciosa. La genesi di tali discontinuità è imputabile a cause meccaniche ("fratturazione") e chimiche ("dissoluzione carsica"). L'intersezione di queste discontinuità strutturali con quelle di origine sedimentaria ("giunti di stratificazione") determina la scomposizione dell'ammasso roccioso in blocchi, a geometrie vagamente regolari, di volumetrie comprese tra pochi centimetri cubici e svariati decimetri cubici.

Laddove più intensa è la sconnessione, le acque vadose acidulate hanno avuto modo di svolgere, nel tempo, una sensibile azione aggressiva nei confronti dei carbonati, sino a generare fenomenologie carsiche, esplicate in cavità sotterranee anche d'imponenti dimensioni. Queste hanno sviluppo prevalentemente sub-orizzontale

PHEEDRA SrI		
Servizi di Ingegneria Integrata		
Via Lago di Nemi, 90	RELAZIONE GEOTECNICA	Pagina 5 di 60
74121 - Taranto (Italy)	THE REPORTE OF THE PROPERTY OF	i agina o di oo
Tel. +39.099.7722302 - Fax: +39.099.9870285		
Email: info@pheedra.it – web: www.pheedra.it		

e sono organizzate in sistemi interconnessi che impegnano livelli ampiamente estesi. Collegate tra loro da una rete di canalicoli, sono, a volte, in comunicazione diretta con l'ambiente esterno, sia tramite fessure beanti che con apparati maggiormente evoluti, quali vore ed inghiottitoi. La carsogenesi, particolarmente sviluppata nell'area delle Murge, presenta meccanismi evolutivi assai complessi, in diretto rapporto con la natura litologica e con l'assetto tettonico delle facies carbonatiche. Particolarmente sensibili sono i litotipi porosi (calcari biancastri) e quelli interessati da giunti di stratificazione e di fratturazione. Infatti, la direttrice principale di sviluppo dei vuoti carsici segue, in prevalenza, quella del sistema primario di fratturazione regionale, orientato da NNO a S-SE. Lo spessore complessivo dell'unità carbonatica è superiore a 3000 mt. ed è troncato in alto da una netta superficie di abrasione.

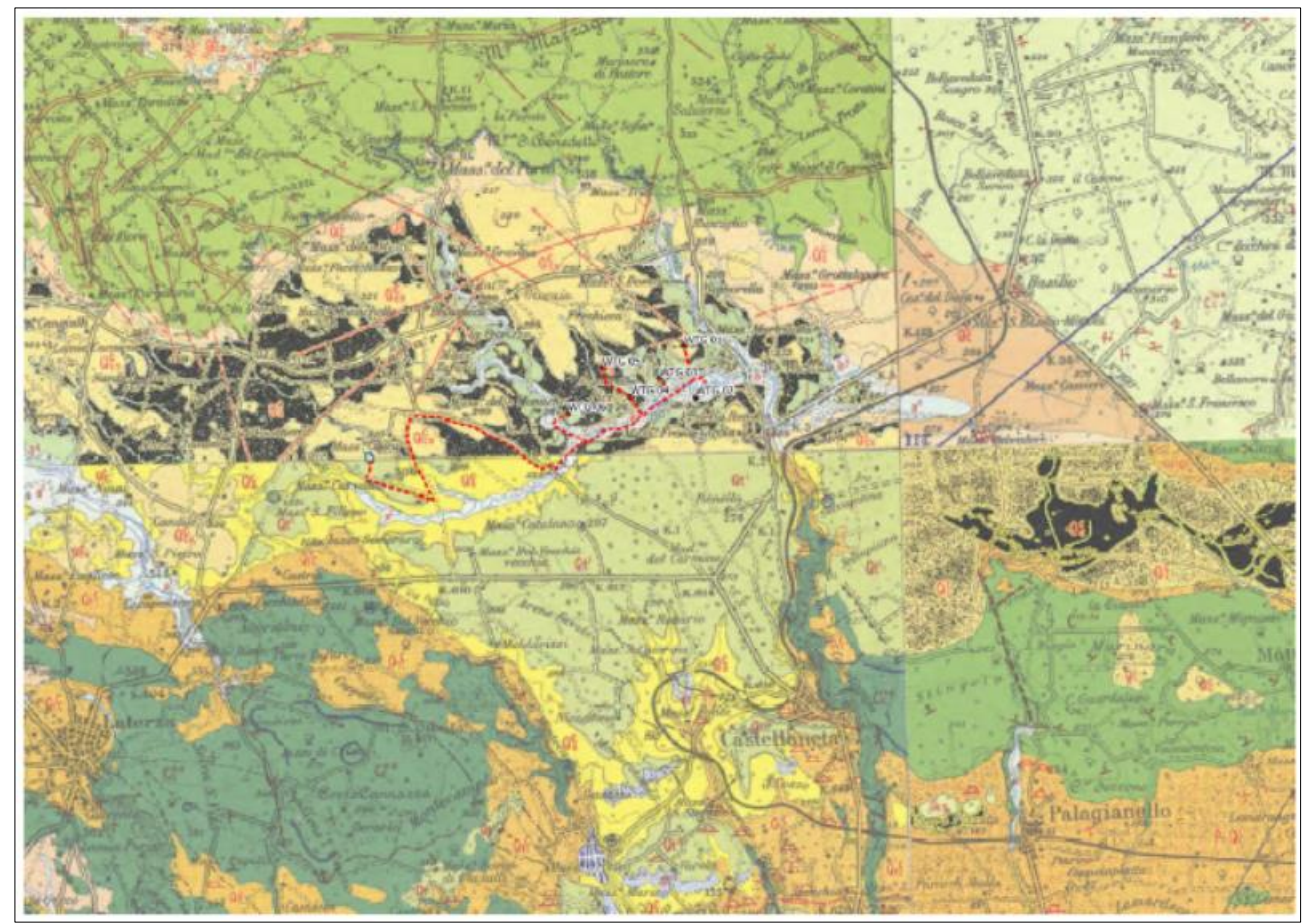


Figura 1 - Stralcio del foglio 189 della carta geologica d'Italia

3.1. Caratteristiche geotecniche dei terreni

La raccolta dei dati dei principali parametri geotecnici, si è basata sull'analisi proveniente da indagine bibliografica e dal rilevamento geologico effettuato dallo scrivente nei terreni interessati dalla realizzazione delle 6 torri eoliche oltre alle opere di connessione e dai cavidotti.

Come si può notare dalla carta geologica allegata, gli aereogeneratori saranno collocati sui terreni appartenenti ai depositi alluvionali recenti (depositi ciottolosi e siltosi).

Dal rilevamento geologico di dettaglio, dai dati bibliografici e dall'analisi di indagini geognostiche eseguite in aree limitrofe (aventi le stesse caratteristiche geologico-stratigrafiche), sono stati riconosciuti affioramenti di materiale di origine alluvionale e residuale lungo le sponde del canale Lummo (WTG 01-02-03-04-05-06).

PHEEDRA SrI
Servizi di Ingegneria Integrata
Via Lago di Nemi, 90
74121 – Taranto (Italy)
74121 – Taranto (Italy) Tel. +39.099.7722302 – Fax: +39.099.9870285
Email: info@phoodro it wash: wasy phoodro it

PROGETTO PER LA REALIZZAZIONE DI UN
PARCO EOLICO NEL COMUNE DI CASTELLANETA
(TA) NELLA LOCALITA' "PEZZA DEL DRAGONE"

CST-CIV-REL-026_01

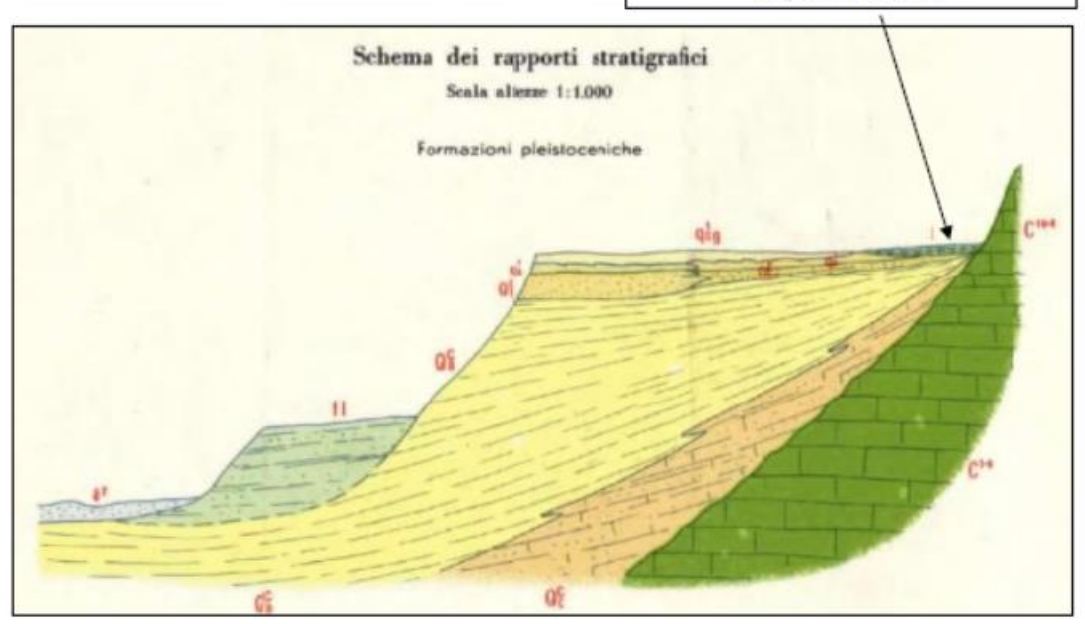
Committente: Green Energy 7 Srl Corso Europa 13 20122 Milano (MI)

I parametri geotecnici dei depositi alluvionali ciottoloso-siltosi dedotte da indagini pregresse ha restituito i risultati i seguenti:

DEPOSITI ALLUVIONALI

Densità relativa	(%)	100
Angolo di attrito	(°)	41
Modulo di Young	(kg/cmq)	329
Modulo edometrico	(kg/cmq)	132
Classificazione AGI		Molto Addensato
Coesione	(kg/cmq)	0.0
Peso di volume	(gr/cmc)	2.24
Modulo di Poisson		0.25
Modulo di def. a taglia	(kg/cmq)	2617

Terreno di fondazione Depositi alluvionali



PHEEDRA SrI
Servizi di Ingegneria Integrata
Via Lago di Nemi, 90
74121 – Taranto (Italy)
Tel. +39.099.7722302 - Fax: +39.099.9870285
Email: info@pheedra.it - web: www.pheedra.it

COLONNA STRATIGRAFICA DI RIFERIMENTO

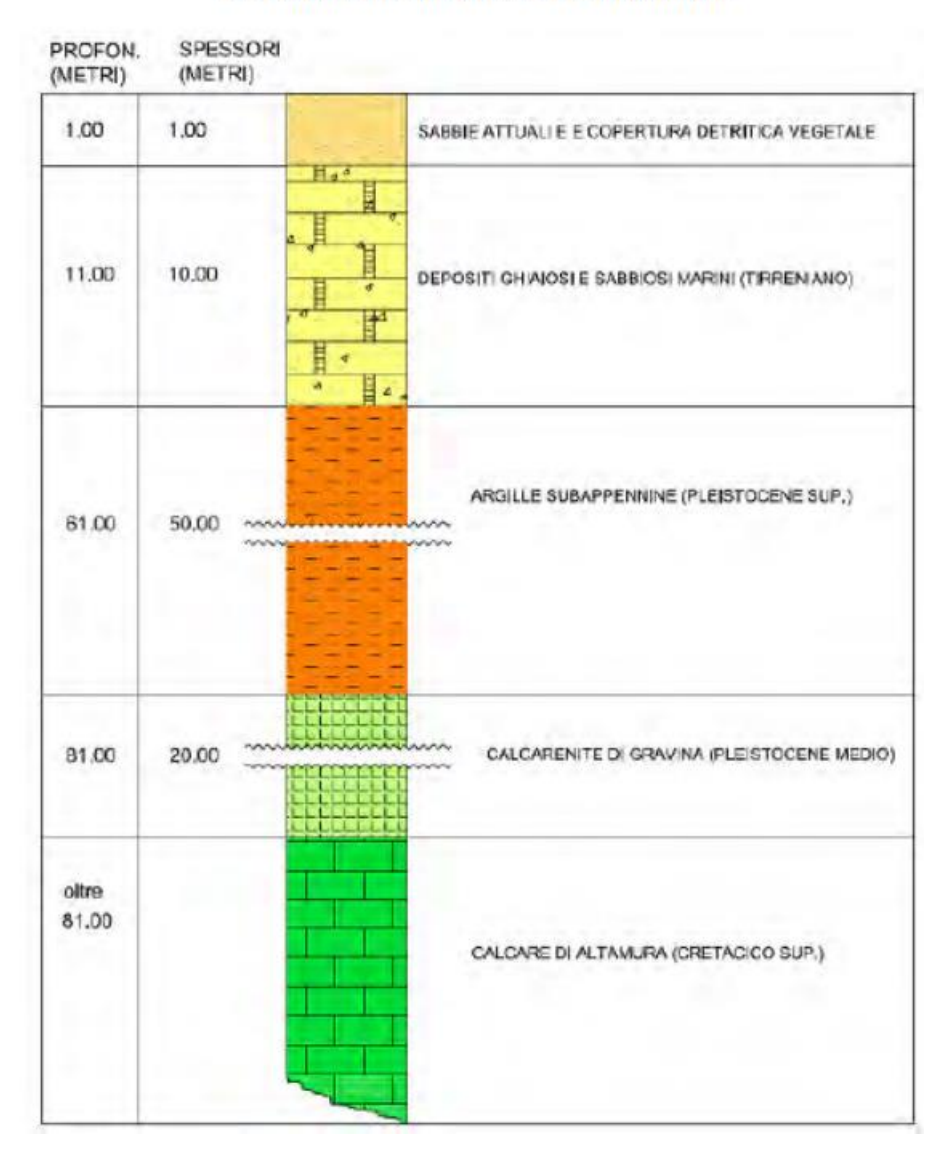
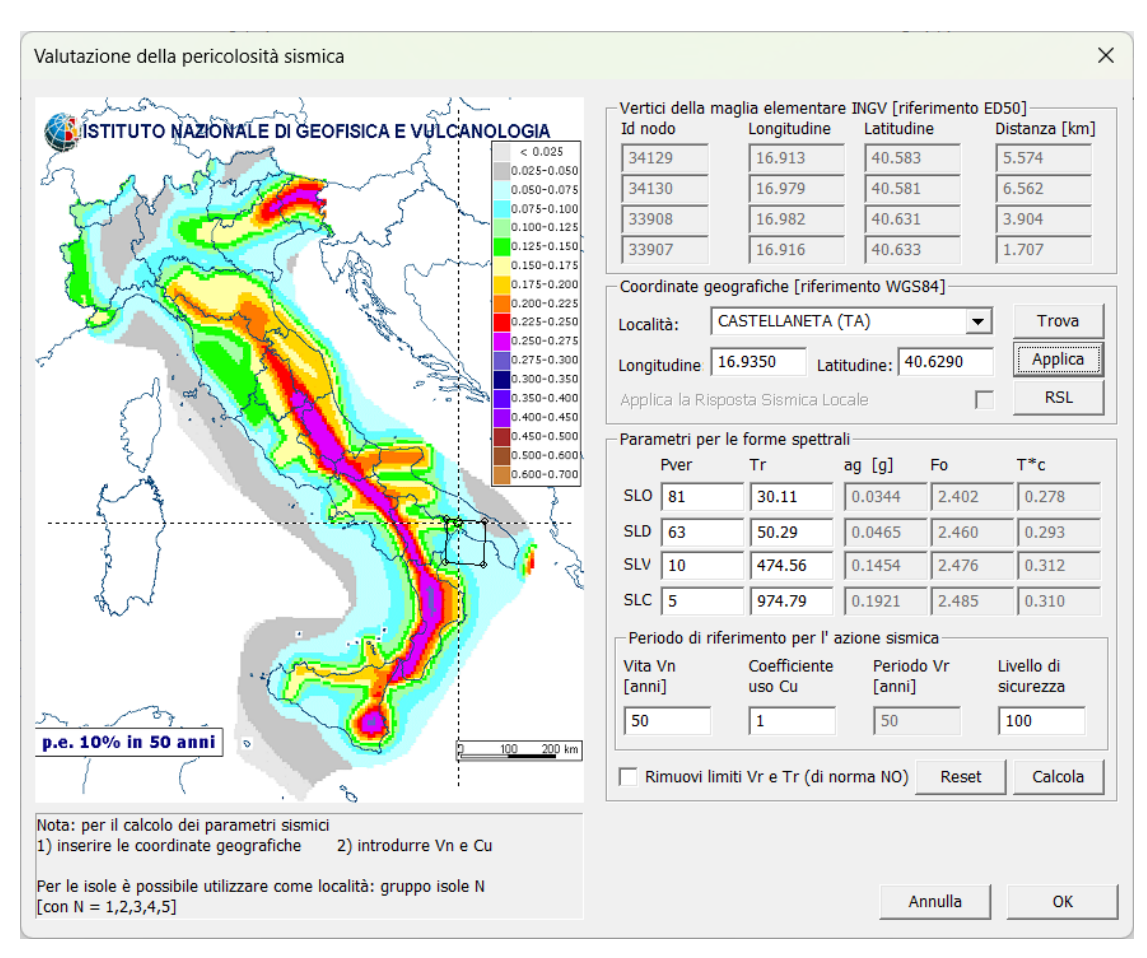


Figura 2 - Stratigrafia caratteristica dell'area oggetto di intervento

20122 Milano (MI)

4. CARATTERISTICHE SISMICHE

Secondo la nuova classificazione sismica dei comuni italiani il territorio di Mafalda rientra nelle "Zone sismiche 3". (Cfr. Carta Zone Sismiche A riguardo della caratterizzazione stratigrafica, in base alle considerazioni geologiche e geotecniche espresse nei capitoli precedenti, l'area su cui verranno installati gli aereogeneratori WTG1-WTG2-WTG3-WTG4-WTG5-WTG6 appartiene alla categoria C.



Inoltre, nell'ambito dell'Ordinanza P.C.M. n° 3274 del 2003, l'intervento risulta collocato dal punto di vista sismico nella Zona 2 sulla base dei valori di accelerazione orizzontale del suolo (a_g) compresi tra 0.10 e 0.15, con probabilità di superamento del 10% in 50 anni.

I valori di pericolosità sismica riportati dalle seguenti carte sono espressi in termini di accelerazione massima del suolo (a_g = frazione della accelerazione di gravita), riferita a suoli rigidi (V_{s30} > 800 m/s ovvero cat. A, punto 3.2.1 del D.M. 14.09.2005), con probabilità di eccedenza in 50 anni pari a: 81%, 63%, 50%, 39%, 30%, 22%, 5% e 2%.

Si ribadisce che in questa fase i valori di a_g sono prettamente statistici, in fase esecutiva di progetto, per valutare la reale corrispondenza di tali valori bisognerà ricorrere alla procedura di analisi contenuta nella Norme Tecniche per le Costruzioni 2018.

CST-CIV-REL-026_01

5. INDAGINI DA ESEGUIRE

Nella presente relazione sono riportate le indagini che si intendono effettuare in fase esecutiva ai fini di una dettagliata caratterizzazione dei terreni e definire così, mediante prove di laboratorio, i parametri fisici e meccanici, utili al dimensionamento della fondazione degli aerogeneratori di progetto.

Nel dettaglio, ogni singola area sarà interessata da indagini geologiche e geotecniche commisurate all'entità dell'area da indagare. Per il progetto in esame si prevede la realizzazione di n°1 sondaggi in corrispondenza di ogni fondazione da realizzare.

Le indagini geotecniche che si andranno a realizzare sono del tipo diretto e indiretto.

Le **indagini di tipo diretto** consentono di indentificare la successione lito-stratigrafica del sottosuolo a profondità di interesse ingegneristico, stimare le caratteristiche geotecniche dei terreni attraverso la realizzazione di prove geotecniche in sito, monitorare i parametri geologici e geotecnici in grado di condizionare il sistema opera – terreno (pressioni neutre, cedimenti, spostamento lungo piano di frana, ecc.).

Si prevedono per questa tipologia:

 Sondaggi verticali a carotaggio continuo (figura 2) da realizzare fino ad una profondità di 30 metri utilizzando carotiere con punta scelta in funzione della tipologia di terreno indagato. Questo permetterà di estratte carote e campioni indisturbati da sottoporre a prove geotecniche e di laboratorio. Le prove di laboratorio permetteranno di individuare le caratteristiche fisiche e meccaniche del terreno indagato





Figura 3 - Sondaggio verticale con carotiere

Indagini di tipo indiretto, sono per lo più indagini geofisiche, nel dettaglio tecniche di indagine, capaci di fornire un'immagine globale e continua del sottosuolo sulla base della distribuzione dei parametri fisici misurati.

Si prevedono per questa tipologia:

Indagine sismiche "Down Hole" consistenti nella determinazione della velocità di propagazione delle onde di volume (compressione onde P e di taglio S), misurando il tempo che esse impiegano nel tragitto tra la sorgente e i ricevitori, posti all'interno dei fori di sondaggio, considerando nota la distanza sorgente-ricevitori



Figura 4 - Indagine sismica - Down Hole

Green Energy 7 Srl Corso Europa 13 20122 Milano (MI)

> Indagini sismica a rifrazione consistenti nella ricostruzione areale delle geometrie e degli spessori dei depositi di copertura, la profondità del substrato, la verifica di eventuali discontinuità laterali nonché di determinare le caratteristiche fisico-meccaniche dei materiali attraverso la determinazione dei moduli elastici dinamici. Nel dettaglio verrà posizionata una sorgente di onde elastiche e successivamente si stenderanno geofoni lungo un profilo, a questo giungeranno onde dirette, onde riflesse, onde coniche o bi-fratte (headwave). I contrasti sismici individuati nel sottosuolo permetteranno di ricostruire la geometria dei vari "sismostrati" su superfici di ampia estensione

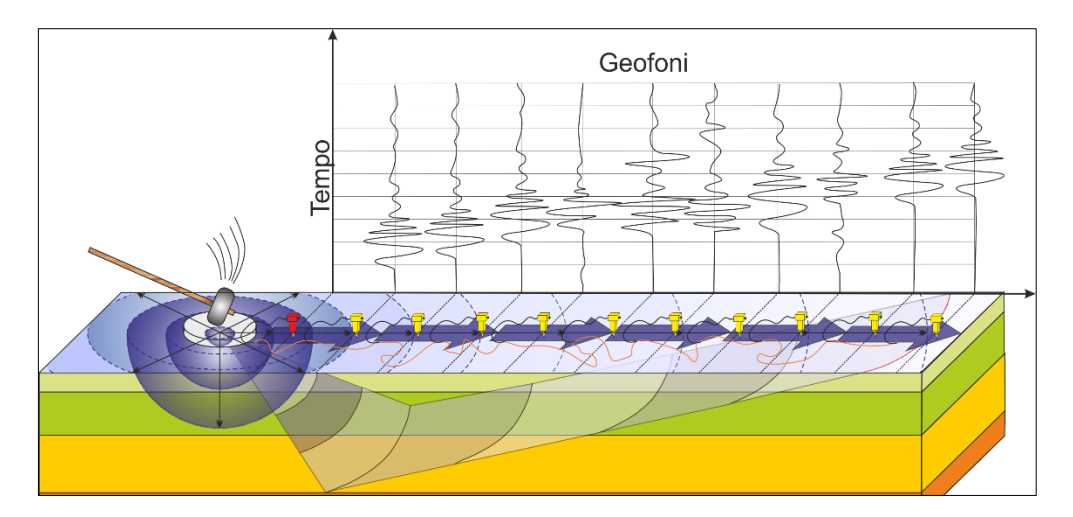


Figura 5 - Sismica a rifrazione. L'energia rifratta sulle differenti superfici di discontinuità, misurata in superficie da specifici geofoni, fornirà informazioni circa le velocità sismiche dei corpi presenti nel sottosuolo

AREA INTERESSATA	INDAGINE DIRETTE	INDAGINI INDIRETTE
WTG1	n°1 Sondaggio in corrispondenza della fondazione di progetto	n°1 Indagine "DOWN – HOLE – in corrispondenza della fondazione in progetto
WTG2	n°1 Sondaggio in corrispondenza della fondazione di progetto	n°1 Indagine "DOWN – HOLE – in corrispondenza della fondazione in progetto
WTG3	n°1 Sondaggio in corrispondenza della fondazione di progetto	n°1 Indagine "DOWN – HOLE – in corrispondenza della fondazione in progetto
WTG4	n°1 Sondaggio in corrispondenza della fondazione di progetto	n°1 Indagine "DOWN – HOLE – in corrispondenza della fondazione in progetto
WTG5	n°1 Sondaggio in corrispondenza della fondazione di progetto	n°1 Indagine "DOWN – HOLE – in corrispondenza della fondazione in progetto
WTG6	n°1 Sondaggio in corrispondenza della fondazione di progetto	n°1 Indagine "DOWN – HOLE – in corrispondenza della fondazione in progetto

PHEEDRA Sri		
Servizi di Ingegneria Integrata		
Via Lago di Nemi, 90	RELAZIONE GEOTECNICA	Pagina 12 di 60
74121 - Taranto (Italy)	THE AZIONE OLONION	r agina 12 di 00
Tel. +39.099.7722302 - Fax: +39.099.9870285		
Email: info@pheedra.it – web: www.pheedra.it		

CST-CIV-REL-026_01

Inoltre, verranno eseguite indagini a rifrazione per ciascuna zona che intercorre tra i diversi sondaggi diretti ossia tra le **6** aree dove sono previste le fondazioni di progetto.

6. CRITERI DI PROGETTO, MODELLAZIONE GEOTECNICA, VERIFICHE DELLE FONDAZIONI DELLA SOTTOSTAZIONE ELETTRICA

Coerentemente con l'attuale fase progettuale e con quanto illustrato nella Relazione Geologica (file CTS-CIV-REL-023_00), si restituiscono il modello Geotecnico dei terreni di fondazione delle opere previste dal progetto, sufficientemente robusto ed in grado di fornire le indicazioni necessarie per la valutazione della "congruenza tecnica" delle previsioni realizzative.

Le opere più impegnative dal punto di vista ingegneristico sono rappresentate dalle strutture di fondazione degli aerogeneratori per i quali si prevedono fondazioni su plinti a pianta quadrata o circolare di adeguate dimensioni, poggianti su pali trivellati in c.a. il cui diametro e lunghezza sarà definito sulla base degli specifici calcoli ingegneristici, riportati ai paragrafi successivi.

Opere minori e meno impegnative sono rappresentate dalla realizzazione delle piazzole di montaggio, del cavidotto interno al parco, dalla realizzazione e/o adeguamento delle strade di accesso e dalla realizzazione del cavidotto esterno.

Per esse non si prevedono particolari problematiche essendo le opere di fondazione di limitato impegno ingegneristico e tecnico e del tutto compatibili con le caratteristiche geologiche e geotecniche del substrato di fondazione.

Ai fini del calcolo strutturale delle fondazioni della SSE, il terreno sottostante l'opera viene modellato secondo lo schema di Winkler, cioè un sistema costituito da un letto di molle elastiche mutuamente indipendenti. Ciò consente di ricavare le rigidezze offerte dai manufatti di fondazione, siano queste profonde o superficiali, che sono state introdotte direttamente nel modello strutturale per tener conto dell'interazione opera/terreno.

La tipologia delle opere di fondazione è consona alle caratteristiche meccaniche del terreno definite in base ai risultati delle indagini geognostiche. Nel caso in esame, la struttura di fondazione è costituita da fondazioni di tipo dirette.

Nelle verifiche allo stato limite ultimo deve essere rispettata la condizione:

Ed ≤ Rd

dove:

Ed è il valore di progetto dell'azione o dell'effetto dell'azione;

Rd è il valore di progetto della resistenza del sistema geotecnico.

Le verifiche strutturali e geotecniche delle fondazioni sono state effettuate con l'Approccio 2 come definito al §2.6.1 del D.M. 2018, attraverso la combinazione A1+M1+R3. Le azioni sono state amplificate tramite i coefficienti della colonna A1 (STR) definiti nella tabella 6.2.I del D.M. 2018.

PHEEDRA Srl		
Servizi di Ingegneria Integrata		
Via Lago di Nemi, 90	RELAZIONE GEOTECNICA	Pagina 13 di 60
74121 - Taranto (Italy)	THEE TEIGHTE GEOTEOTHOT	i agina 10 di 00
Tel. +39.099.7722302 - Fax: +39.099.9870285		
Email: info@pheedra.it - web: www.pheedra.it		

Committente: Green Energy 7 Srl Corso Europa 13	PROGETTO PER LA REALIZZAZIONE DI UN PARCO EOLICO NEL COMUNE DI CASTELLANETA	Nome del file:
20122 Milano (MI)	(TA) NELLA LOCALITA' "PEZZA DEL DRAGONE"	CST-CIV-REL-026 01

Tabella 6.2.I - Coefficienti parziali per le azioni o per l'effetto delle azioni [cfr. D.M. 2018]

CARICHI	EFFETTO	Coefficiente parziale	A1	A2
CARIONI	EFFEITO	g⊧ (o g⊧)	(STR)	(GEO)
Carichi permanenti	Favorevole	YG1	1,00	1,00
G ₁	Sfavorevole	γG1	1,30	1,00
Carichi permanenti	Favorevole	γG2	0,80	0,80
$G_2^{(1)}$	Sfavorevole	102	1,50	1,30
Azioni variabili Q	Favorevole	γQi	0,00	0,00
7 LIOTH VARIABILI Q	Sfavorevole	, jugi	1,50	1,30

 $^{^{(1)}}$ Per i carichi permanenti G_2 si applica quanto indicato alla Tabella 2.6.I. Per la spinta delle terre si fa riferimento ai coefficienti g_{G_1}

I valori di resistenza del terreno sono stati ridotti tramite i coefficienti della colonna M1 definiti nella tabella 6.2.II del D.M. 2018.

Tabella 6.2.II - Coefficienti parziali per i parametri geotecnici del terreno [cfr. D.M. 2018]

PARAMETRO GEOTECNICO	Grandezza alla quale applicare il coefficiente parziale	Coefficiente parziale g _M	M 1	M2
Tangente dell'angolo di resistenza a taglio	tanφk	γi'	1,00	1,25
Coesione efficace	C'k	γc [,]	1,00	1,25
Resistenza non drenata	Cuk	γси	1,00	1,40
Peso dell'unità di volume	γg	γg	1,00	1,00

I valori calcolati delle resistenze totali dell'elemento strutturale sono stati divisi per i coefficienti R3 della tabella 6.4.I del D.M. 2018 per le fondazioni superficiali.

 $\textbf{Tabella 6.4.I-Coefficienti parziali } \textbf{g}_{R} \textbf{ per le verifiche agli stati limite ultimi di fondazioni superficiali.}$

Verifica	Coefficiente Parziale
	(R3)
Carico limite	$\gamma_R = 2,3$
Scorrimento	γ _R = 1,1

PHEEDRA Sri		
Servizi di Ingegneria Integrata		
Via Lago di Nemi, 90	RELAZIONE GEOTECNICA	Pagina 14 di 60
74121 - Taranto (Italy)	TREE/IZIONE GEOTEONIO/	r agina 14 di 00
Tel. +39.099.7722302 - Fax: +39.099.9870285		
Email: info@pheedra.it - web: www.pheedra.it		

Con	Committente:	
Green Energy 7 Srl		
Cor	so Europa 13	
201	22 Milano (MI)	

PROGETTO PER LA REALIZZAZIONE DI UN PARCO EOLICO NEL COMUNE DI CASTELLANETA (TA) NELLA LOCALITA' "PEZZA DEL DRAGONE" Nome del file:

CST-CIV-REL-026_01

La formula del carico limite esprime l'equilibrio fra il carico applicato alla fondazione e la resistenza limite del terreno. Il carico limite è dato dalla seguente espressione:

$$q_{lim} = c \cdot N_c \cdot s_c \cdot d_c \cdot i_c \cdot g_c \cdot b_c \cdot \Psi_c + q \cdot N_q \cdot s_q \cdot d_q \cdot i_q \cdot g_q \cdot b_q \cdot \Psi_q + \frac{B'}{2} \cdot \gamma_f \cdot N_\gamma \cdot s_\gamma \cdot d_\gamma \cdot i_\gamma \cdot g_\gamma \cdot b_\gamma \cdot \Psi_\gamma \cdot r_\gamma \cdot g_\gamma \cdot$$

in cui:

c = coesione del terreno al disotto del piano di posa della fondazione;

 $q = g \cdot D$ = pressione geostatica in corrispondenza del piano di posa della fondazione;

 γ = peso unità di volume del terreno al di sopra del piano di posa della fondazione;

D = profondità del piano di posa della fondazione;

B' = larghezza ridotta della suola di fondazione (vedi NB);

L = lunghezza della fondazione;

 γ f = peso unità di volume del terreno al disotto del piano di posa della fondazione;

Nc, Nq, N g = fattori di capacità portante;

s, d, i, g, b, y, r = coefficienti correttivi.

NB: Se la risultante dei carichi verticali è eccentrica, B e L saranno ridotte rispettivamente di:

B' = B - 2 · eB

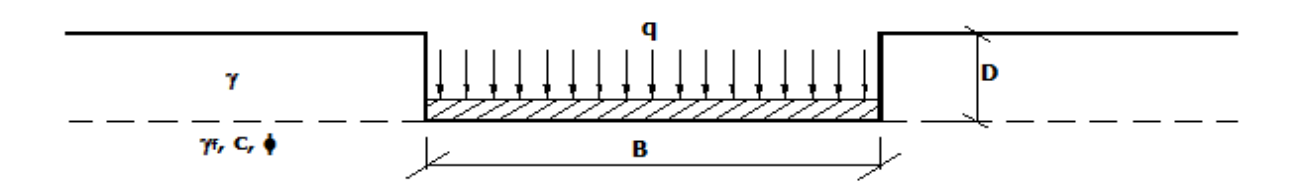
eB = eccentricità parallela al lato di dimensione B;

L' = L - 2-eL

eL = eccentricità parallela al lato di dimensione L;

con B' ≤ L'.

dove:



Calcolo dei fattori N_c, N_q, N_g

Terreni puramente coesivi		Terreni dotati di attrito e coesione
(c≠0, f=0)		(c≠0, f≠0)
N _c = 2+p		$N_c = (N_q - 1) \cdot cotf$
$N_q = 1$		$N_q = K_p \cdot e^{p \cdot tanf}$
$N_g = 0$	se w = 0	$N_q = 2 \cdot (N_q + 1) \cdot tanf$
N _g = -2⋅sinw	se w ≠ 0	

PHEEDRA SrI Servizi di Ingegneria Integrata Via Lago di Nemi, 90 74121 – Taranto (Italy) Tel. +39.099.7722302 – Fax: +39.099.9870285	RELAZIONE GEOTECNICA	Pagina 15 di 60
Email: info@pheedra.it – web: www.pheedra.it		

dove:

$$k_{p}=tan^{2}\!\!\left(45+\frac{\varphi}{2}\right)$$
 è il coefficiente di spinta passiva di Rankine;

f = angolo di attrito del terreno al disotto del piano di posa della fondazione;

w = angolo di inclinazione del piano campagna

Calcolo dei fattori di profondità del piano di posa d_c, d_q, d_g

Si definisce il seguente parametro:

$$K = \frac{D}{B'}$$
 se $\frac{D}{B'} \le 1$;

$$K = \frac{D}{B'} \qquad \text{se} \qquad \frac{D}{B'} \leq 1 \,;$$

$$K = \text{arctg} \bigg(\frac{D}{B'} \bigg) \qquad \text{se} \qquad \frac{D}{B'} > 1 \,.$$

Terreni puramente coesivi	Terreni dotati di attrito e coesione
(c≠0, f=0)	(c≠0, f≠0)
d _c = 1+0,4·K	$d_{c} = d_{q} - \frac{1 - d_{q}}{N_{c} \cdot \tan \phi}$
$d_q = 1$	d _q = 1+2·tanf·(1-sinf)²·K
$d_g = 1$	d _g = 1

Calcolo dei fattori di inclinazione del carico ic, iq, ig

Si definisce il seguente parametro:

$m = m_B = \frac{2 + B/L}{1 + B/L}$	se la forza H è parallela alla direzione trasversale della fondazione
I + B / L	,

$$m = m_L = \frac{2 + L/B}{1 + L/B}$$
 se la forza H è parallela alla direzione longitudinale della fondazione

se la forza H forma un angolo q con la direzione longitudinale della
$$m=m_q=m_L\cdot cos^2q+m_B\cdot sen^2q$$
 se la forza H forma un angolo q con la direzione longitudinale della fondazione

Terreni coesivi	Terreni incoerenti	Terreni dotati di attrito e coesione
(c≠0, f=0)	(c=0, f≠0)	(c≠0, f≠0)

PHEEDRA SrI		
Servizi di Ingegneria Integrata		
Via Lago di Nemi, 90	RELAZIONE GEOTECNICA	Pagina 16 di 60
74121 - Taranto (Italy)	TELAZIONE GEOTEOMOA	r agiria 10 di 00
Tel. +39.099.7722302 - Fax: +39.099.9870285		
Email: info@pheedra.it - web: www.pheedra.it		

$i_{c} = 1 - \frac{m \cdot H}{c \cdot N_{c} \cdot B \cdot L}$	i _c = 0	$i_c = i_q - \frac{1 - i_q}{N_c \cdot \tan \phi}$
i _q = 1	$i_q = \left(1 - \frac{H}{V}\right)^m$	$i_{q} = \left(1 - \frac{H}{V + B \cdot L \cdot c \cdot \cot \phi}\right)^{m}$
$i_g = 0$	$i_{\gamma} = \left(1 - \frac{H}{V}\right)^{m+1}$	$i_{\gamma} = \left(1 - \frac{H}{V + B \cdot L \cdot c \cdot \cot \phi}\right)^{m+1}$

dove:

H = componente orizzontale dei carichi agente sul piano di posa della fondazione;

V = componente verticale dei carichi agente sul piano di posa della fondazione

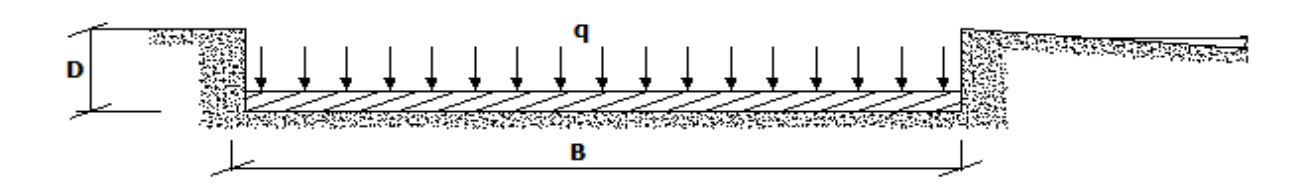
Calcolo dei fattori di inclinazione del piano di campagna b_c , b_q , b_g

Indicando con w la pendenza del piano campagna, si ha:

Terreni puramente coesivi	Terreni dotati di attrito e coesione
(c≠0, f=0)	(c≠0, f≠0)
$b_c = 1 - \frac{2 \cdot \omega}{(2 + \pi)}$	$b_c = b_q - \frac{1 - b_q}{N_c \cdot \tan \phi}$
b _q = (1-tanw)²-cosw	b _q = (1-tanw)²⋅cosw
$b_g = b_q/cosw$	$b_g = b_q/cosw$

Per poter applicare tali coefficienti correttivi deve essere verificata la seguente condizione:

$$w < f;$$
 $w < 45^{\circ}.$



Calcolo dei fattori di inclinazione del piano di posa gc, gq, gg

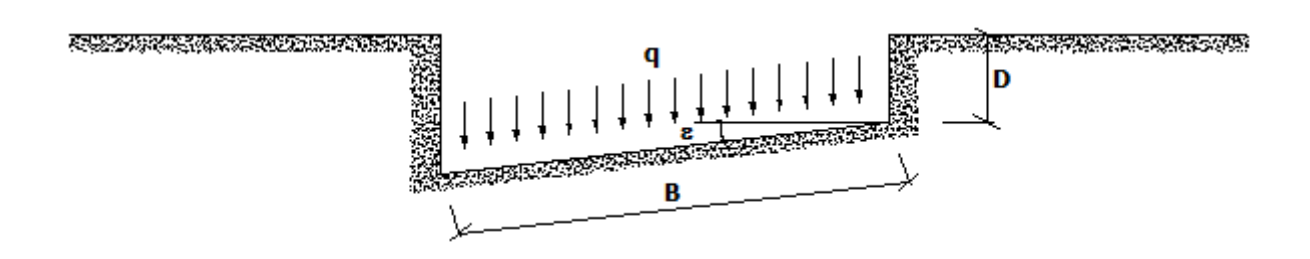
Indicando con **e** la pendenza del piano di posa della fondazione, si ha:

Terreni puramente coesivi		Terreni dotati	di attrito e coesione
PHEEDRA SrI Servizi di Ingegneria Integrata Via Lago di Nemi, 90 74121 – Taranto (Italy) Tel. +39.099.7722302 – Fax: +39.099.9870285 Email: info@pheedra.it – web: www.pheedra.it	RELAZIONE	GEOTECNICA	Pagina 17 di 60

Committente: Green Energy 7 Srl	PROGETTO PER LA REALIZZAZIONE DI UN PARCO EOLICO NEL COMUNE DI CASTELLANETA	Nome del file:
Corso Europa 13	(TA) NELLA LOCALITA' "PEZZA DEL DRAGONE"	CST-CIV-REL-026 01

(c≠0, f=0)	(c≠0, f≠0)
$g_c = 1 - \frac{2 \cdot \epsilon}{(2 + \pi)}$	$g_c = g_q - \frac{1 - g_q}{N_c \cdot \tan \phi}$
g _q = 1	g _q = (1 - e⋅tanf)²
g _g = 1	$g_g = g_q$

Per poter applicare tali coefficienti correttivi deve essere verificata la seguente condizione:



Calcolo dei fattori di riduzione per rottura a punzonamento y_c , y_q , y_g

Si definisce l'indice di rigidezza del terreno come:

$$I_r = \frac{G}{c + \sigma \cdot tan \, \phi}$$

dove:

$$G = \frac{E}{2 \cdot (1 + v)}$$
 = modulo d'elasticità tangenziale del terreno;

E= modulo elastico del terreno (nei calcoli è utilizzato il modulo edometrico);

n = modulo di Poisson. Sia in condizioni non drenate che drenate è assunto pari a 0,5 (a vantaggio di sicurezza);

s= tensione litostatica alla profondità D+B/2.

La rottura a punzonamento si verifica quando i coefficienti di punzonamento $\mathbf{y_c}$, $\mathbf{y_q}$, $\mathbf{y_g}$ sono inferiori all'unità; ciò accade quando l'indice di rigidezza I_r si mantiene inferiore al valore critico:

$$I_r < I_{r, \text{crit}} = \frac{1}{2} \cdot e^{\left[\left(3.3 - 0.45 \cdot \frac{B}{L}\right) \cdot \cot\left(45 - \frac{\phi}{2}\right)\right]} \,.$$

PHEEDRA SrI		
Servizi di Ingegneria Integrata		
Via Lago di Nemi, 90	RELAZIONE GEOTECNICA	Pagina 18 di 60
74121 – Taranto (Italy)	THE LEGITE GEOTEONION	r agina 10 ai 00
Tel. +39.099.7722302 - Fax: +39.099.9870285		
Email: info@pheedra.it - web: www.pheedra.it		

CST-CIV-REL-026_01

Terreni puramente coesivi	Terreni dotati di attrito e coesione
(c≠0, f=0)	(c≠0, f≠0)
$\psi_c = 0.32 + 0.12 \cdot \frac{B'}{L'} + 0.6 \cdot Log(I_r)$	$\psi_c = \psi_q - \frac{1 - \psi_q}{N_c \cdot \tan \phi}$
Y _q = 1	$\psi_q = e^{\left\{ \left[0,6\frac{B'}{L'}-4,4\right] tan_{\varphi} + \frac{3,07 \cdot sin_{\varphi} Log(2 \cdot I_r)}{1 + sin_{\varphi}} \right\}}$
$Y_g = 1$	$Y_g = Y_q$

Correzione per fondazione tipo piastra

Bowles, al fine di limitare il contributo del termine " $B \cdot N_g$ ", che per valori elevati di B porterebbe ad ottenere valori del carico limite prossimi a quelli di una fondazione profonda, propone il seguente fattore di riduzione r_g :

$$r_g = 1-0.25 \cdot Log(B/2)$$
 con B \ge 2 m

Nella tabella sottostante sono riportati una serie di valori del coefficiente r_g al variare della larghezza dell'elemento di fondazione.

B [m]	2	2.5	3	3.5	4	5	10	20	100
rg	1,00	0,97	0,95	0,93	0,92	0,90	0,82	0,75	0,57

Questo coefficiente assume particolare importanza per fondazioni larghe con rapporto D/B basso, caso nel quale il termine " $B \cdot N_g$ " è predominante.

Calcolo del carico limite in condizioni non drenate

L'espressione generale del carico limite, valutato in termini di tensioni totale, diventa:

$$q_{lim} = c_u \cdot \left(2 + \pi\right) \cdot s_c \cdot d_c \cdot i_c \cdot g_c \cdot b_c + q + \frac{B'}{2} \cdot \gamma_{sat} \cdot B' \cdot N_{\gamma} \cdot s_{\gamma} \cdot r_{\gamma}$$

dove:

cu = coesione non drenata;

gsat = peso unità di volume del terreno in condizioni di saturazione.

N.B: Nel calcolo in condizioni non drenate (situazione molto rara per un terreno incoerente) si assume, sempre e comunque, che l'angolo di attrito f sia nullo (f = 0).

PHEEDRA Sri		
Servizi di Ingegneria Integrata		
Via Lago di Nemi, 90	RELAZIONE GEOTECNICA	Pagina 19 di 60
74121 - Taranto (Italy)	TELAZIONE GEOTEONIOA	r agiria 15 di 00
Tel. +39.099.7722302 - Fax: +39.099.9870285		
Email: info@pheedra.it - web: www.pheedra.it		

Committente: Green Energy 7 Srl Corso Europa 13	PROGETTO PER LA REALIZZAZIONE DI UN PARCO EOLICO NEL COMUNE DI CASTELLANETA	Nome del file:
20122 Milano (MI)	(TA) NELLA LOCALITA' "PEZZA DEL DRAGONE"	CST-CIV-REL-026 _01

L'azione del sisma si traduce in accelerazioni nel sottosuolo (**effetto cinematico**) e nella fondazione, per l'azione delle forze d'inerzia generate nella struttura in elevazione (**effetto inerziale**).

Nell'analisi pseudo-statica, modellando l'azione sismica attraverso la sola componente orizzontale, tali effetti possono essere portati in conto mediante l'introduzione di coefficienti sismici rispettivamente denominati \mathbf{K}_{hi} e \mathbf{K}_{hk} , il primo definito dal rapporto tra le componenti orizzontale e verticale dei carichi trasmessi in fondazione ed il secondo funzione dell'accelerazione massima attesa al sito.

La formula generale del carico limite si modifica nel seguente modo:

$$q_{lim} = c \cdot N_c \cdot s_c \cdot d_c \cdot i_c \cdot g_c \cdot b_c \cdot \Psi_c \cdot z_c + q \cdot N_q \cdot s_q \cdot d_q \cdot i_q \cdot g_q \cdot b_q \cdot \Psi_q \cdot z_q + \frac{B'}{2} \cdot \gamma_f \cdot N_\gamma \cdot s_\gamma \cdot d_\gamma \cdot i_\gamma \cdot g_\gamma \cdot b_\gamma \cdot \Psi_\gamma \cdot r_\gamma \cdot z_\gamma \cdot c_\gamma \cdot g_q \cdot$$

in cui, oltre ai termini già precedentemente indicati, si sono introdotti i seguenti termini:

zc, zq, zg = coefficienti correttivi dovuti all'effetto inerziale;

c_g = coefficiente correttivo dovuto all'effetto cinematico.

Calcolo del fattore correttivo dovuto all'effetto cinematico cg

L'effetto cinematico modifica il solo coefficiente Ng in funzione del coefficiente sismico Khk che è pari a:

$$K_{hk} = b_s \cdot S_s \cdot S_T \cdot a_g/g;$$

dove:

bs = coefficiente di riduzione dell'accelerazione massima attesa al sito;

g = accelerazione di gravità;

S_S = coefficiente di amplificazione stratigrafica;

S_T = coefficiente di amplificazione topografica;

ag = accelerazione orizzontale massima attesa su sito di riferimento rigido.

I valori di b_s sono riportati nella seguente tabella:

	CATEGORIA DI SOTTOSUOLO		
	A B,C,D,E		
	b s	b s	
$0.2 < a_g(g) \le 0.4$	0,30	0,28	
$0.1 < a_g(g) \le 0.2$	0,27	0,24	
$a_g(g) \le 0,1$	0,20	0,20	

Il fattore correttivo dovuto all'effetto cinematico $\mathbf{c_g}$ è stato, pertanto, determinato con la seguente relazione:

PHEEDRA SrI		
Servizi di Ingegneria Integrata		
Via Lago di Nemi, 90	RELAZIONE GEOTECNICA	Pagina 20 di 60
74121 - Taranto (Italy)	TELLIZIONE GEOTEOMON	r agiria 20 di 00
Tel. +39.099.7722302 - Fax: +39.099.9870285		
Email: info@pheedra.it - web: www.pheedra.it		

Committente: Green Energy 7 Srl Corso Europa 13	PROGETTO PER LA REALIZZAZIONE DI UN PARCO EOLICO NEL COMUNE DI CASTELLANETA	Nome del file:
20122 Milano (MI)	(TA) NELLA LOCALITA' "PEZZA DEL DRAGONE"	CST-CIV-REL-026 _01

Terreni puramente coesivi	Terreni dotati di attrito e coesione
(c≠0, f=0)	(c≠0, f≠0)
c _g = 1	$c_{_{\gamma}} = \left(1 - \frac{K_{hk}}{\tan \phi}\right)^{0.45} se \ \frac{K_{hk}}{\tan \phi} < 1 \ , \ altrimenti \ c_g = 0$

Calcolo dei fattori correttivi dovuti all'effetto inerziale z_c, z_q, z_g

L'effetto inerziale produce variazioni di tutti i coefficienti di capacità portante del carico limite in funzione del coefficiente sismico K_{hi}.

Tali effetti correttivi vengono valutati con la teoria di **Paolucci - Pecker** attraverso le seguenti relazioni:

Terreni puramente coesivi	Terreni dotati di attrito e coesione		
(c≠0, f=0)	(c≠0, f≠0)		
	Z _c = 1-0,32-K _{hi}	se z _c >0	altrimenti z _c = 0
$Z_c = Z_q = Z_g = 1$	$z_{\gamma} = z_{q} = \left(1 - \frac{K_{hi}}{\tan \phi}\right)^{0.35}$	$\text{Se } \frac{K_{hi}}{\tan \phi} < 1$	altrimenti z _g = z _q = 0

dove:

Khi è ricavato dallo spettro di progetto allo SLV attraverso la relazione:

$$K_{hi} = S_S \cdot S_T \cdot a_q/q$$
;

i cui termini sono stati precedentemente precisati.

Si fa notare che il coefficiente sismico K_{hi} coincide con l'ordinata dello spettro di progetto allo SLU per T=0 ed è indipendente dalle combinazioni di carico.

Verifiche nei confronti degli stati limite ultimi (SLU)

Di seguito si riporta una tabella riepilogativa relativa alla verifica dello stato limite di collasso per carico limite dell'insieme fondazione-terreno.

Si precisa che il valore relativo alla colonna $Q_{d,Rd}$, di cui nella tabella seguente, è da intendersi come il valore di progetto della resistenza R_d , ossia il rapporto fra il carico limite q_{lim} (calcolato come sopra esposto) ed il valore del coefficiente parziale di sicurezza \mathbf{g}_R relativo alla capacità portante del complesso terrenofondazione, in relazione all'approccio utilizzato. Nel caso in esame il coefficiente parziale di sicurezza \mathbf{g}_R è stato assunto pari a 2,3 (tabella 6.4.I del D.M. 2018).

Si precisa che, nella sottostante tabella:

PHEEDRA Srl		
Servizi di Ingegneria Integrata		
Via Lago di Nemi, 90	RELAZIONE GEOTECNICA	Pagina 21 di 60
74121 - Taranto (Italy)	TELAZIONE GEOTEOMOA	r agiria 2 r di 00
Tel. +39.099.7722302 - Fax: +39.099.9870285		
Email: info@pheedra.it - web: www.pheedra.it		

Committente:
Green Energy 7 Srl
Corso Europa 13
20122 Milano (MI)

PROGETTO PER LA REALIZZAZIONE DI UN PARCO EOLICO NEL COMUNE DI CASTELLANETA (TA) NELLA LOCALITA' "PEZZA DEL DRAGONE" Nome del file:

CST-CIV-REL-026_01

- la coppia Q_{Ed} e Q_{d,Rd} è relativa alla combinazione di carico, fra tutte quelle esaminate, che da luogo al minimo coefficiente di sicurezza (CS);
- nelle colonne "per N_q, per N_c e per N_g", relative ai "Coef. Cor. Terzaghi", viene riportato il prodotto tra i vari coefficienti correttivi presenti nell'espressione generale del carico limite. Ad esempio si è posto:

Coef. Cor. Terzaghi per $N_q = s_q \cdot d_q \cdot i_q \cdot g_q \cdot b_q \cdot y_q \cdot z_q$

Coef. Cor. Terzaghi per $N_c = s_c \cdot d_c \cdot i_c \cdot g_c \cdot b_c \cdot y_c \cdot z_c$

Coef. Cor. Terzaghi per $N_g = s_g \cdot d_g \cdot i_g \cdot g_g \cdot b_g \cdot y_g \cdot r_g z_g \cdot c_g$

7. CRITERI DI PROGETTO, MODELLAZIONE GEOTECNICA, VERIFICHE DELLE FONDAZIONI DEGLI AEROGENERATORI

In questa fase si ipotizza la progettazione di una fondazione su plinti di forma quadrangolare con una larghezza e lunghezza pari a 20,00 m ed una altezza massima di 4 m, poggianti su pali trivellati aventi una lunghezza di 30,00m.

Le torri eoliche in progetto, per semplicità di calcolo, si ipotizzano poggianti su terreni aventi tutti la stessa tipologia di progetto.

Gli aerogeneratori secondo progetto saranno ubicati per gran parte sulle aree sommitali dei vari rilievi collinari presenti nell'intera area in esame. In tali zone di "crinale" la copertura di alterazione (suolo) del substrato "roccioso" può in taluni casi presentarsi con uno spessore più ridotto rispetto alle zone di versante, così come in generale i crinali appaiono zone più stabili. Le verifiche saranno eseguite per gli aerogeneratori aventi la configurazione stratigrafica del suolo più svantaggiata.

Ove il substrato "roccioso integro" sarà rinvenuto a breve profondità dal piano campagna (tali condizioni potranno essere analizzate solo dopo opportune indagini geognostiche in situ) le strutture fondali delle opere in progetto sia esse di tipo superficiale (platea) sia di tipo profondo (pali) dovranno interessare ("essere attestate") tale substrato roccioso locale "inalterato". Si tratterà, quindi, di realizzare in ogni caso fondazioni su substrato roccioso, anche se di natura flyschoide.

Nel caso di fondazioni superficiali su **substrato roccioso**, sia esso carbonatico, arenaceo e argilloso (argille sovraconsolidate), la resistenza della roccia base in situ, come riportato da alcune pubblicazioni a carattere tecnico-scientifico, è probabilmente dello stesso ordine di grandezza di quella del calcestruzzo di fondazione. Questo se la roccia è integra.

Nel caso di rocce non integre, la presenza di fratture (ancor più di diverse famiglie di fratture) o una profonda alterazione (pedogenizzazione, argillificazione, ecc.) può determinare un aumento drastico della compressibilità delle masse rocciose. Il grado di influenza nel caso, per esempio, di un substrato roccioso carbonatico interessato da "fatturazione" appare legato alla suddivisione e alla dimensione delle fratture, alla larghezza delle fratture stesse (nel caso di fratture beanti) e al fatto se esse siano riempite o meno da sedimenti compressibili. Per tenere conto della possibilità che la roccia non sia integra è consuetudine usare coefficienti di sicurezza elevati (ad esempio da 6 a 10 rispetto alla resistenza a compressione uniassiale qu) e, nel caso in cui si verifica la situazione di un semplice contatto tra calcestruzzo e roccia, di usare non più della resistenza a compressione del calcestruzzo come capacità portante della roccia.

PHEEDRA SrI
Servizi di Ingegneria Integrata
Via Lago di Nemi, 90
74121 - Taranto (Italy)
Tel. +39.099.7722302 - Fax: +39.099.9870285
Email: info@pheedra.it – web: www.pheedra.it

CST-CIV-REL-026_01

In generale la capacità portante nel caso di fondazioni superficiali in roccia si esprime come:

$$q_0 = C * q_u$$

ove C può essere solitamente dell'ordine di 0,2-0,3.

Per quanto attiene il caso di un substrato roccioso flyschoide, costituito da alternanze di calcari, argille, marne ed arenarie, da vari lavori presenti nella letteratura scientifico-tecnica e riguardanti la caratterizzazione geomeccanica di diversi ammassi rocciosi, con diversi gradi di fatturazione e di alterazione, è possibile attribuire ad esso un valore medio di resistenza a compressione uniassiale pari a circa 1-2 MPa. Per quanto attiene il caso di fondazioni su roccia di tipo profondo (pali) la letteratura scientifico-tecnica propone di considerare la "capacità portante ultima strutturale" del palo stesso $V_{\rm s}$ che può essere espressa come:

$$V_s = \Phi P$$

ove P è la resistenza massima di un pilastro sottoposto a compressione semplice e Φ un fattore di riduzione della capacità del palo che varia in funzione dei differenti tipi di palo, dalle incertezze ed imprecisioni proprie nella costruzione dei pali e delle distorsioni degli assi del palo.

Nel caso in cui, invece, il sottosuolo dell'area, su cui è prevista la realizzazione di uno degli aerogeneratori, risulti caratterizzato al di sotto del primo orizzonte di alterazione (suolo) dalla presenza di **terreni prevalentemente argillosi, argilloso-marnosi o argilloso-sabbiosi**, o nel caso in cui il substrato "integro" sia molto profondo, è possibile procedere con metodi più cautelativi ed applicare le formule canoniche per i terreni sciolti (sabbie, ghiaie sabbie limose e limi sabbiosi) e/o coesivi (argille, argille marnose e limi argillosi) per il calcolo della capacità portante. In tal caso è possibile considerare per la porzione più superficiale dei terreni interessati i parametri geotecnici riportati nella tabella seguente. Si precisa che la stratigrafia geotecnica utilizzata nelle calcolazioni, e sotto riportata (derivata da uno studio bibliografico relativo a lavori ed indagini geognostiche –in situ e di laboratorio geotecnico eseguite in aree similari dal punto di vista geologico), va considerata come la "verticale tipo" più "scadente" riscontrabile nelle aree d'interesse:

Per i parametri geotecnici si fa riferimento a quanto su riportato estrapolato dalla relazione geologica.

7.1. Determinazione della portanza verticale di fondazioni profonde

Dal momento che gli aerogeneratori andranno ad attestarsi nel substrato "substrato flyshoide", vista sia la situazione stratigrafica e geomeccanica dei terreni di sedime, sia le caratteristiche strutturali dell'opera in progetto, si ritiene che per essa la soluzione fondale più idonea sia, in tale situazione, l'adozione di fondazioni di tipo profondo.

PHEEDRA SrI		
Servizi di Ingegneria Integrata		
Via Lago di Nemi, 90	RELAZIONE GEOTECNICA	Pagina 23 di 60
74121 - Taranto (Italy)	TELAZIONE OLONEON	r agiria 20 di 00
Tel. +39.099.7722302 - Fax: +39.099.9870285		
Email: info@pheedra.it – web: www.pheedra.it		

Committente:	DD005770 DED / 4 DE / / / / / / / / / / / / / / / / / /
Green Energy 7 Srl	PROGETTO PER LA REALIZZAZIONE DI UN
_	PARCO EOLICO NEL COMUNE DI CASTELLANETA
Corso Europa 13	(TA) NELLA LOCALITA' "PEZZA DEL DRAGONE"
20122 Milana (MI)	(1A) NELLA LOCALITÀ I LEZZA DEL DIVAGONE

CST-CIV-REL-026_01

Tale struttura fondale potrà essere realizzata tramite una palificata costituita da pali di grande diametro armati per tutto il loro sviluppo per la presenza di carichi orizzontali (sisma) e di lunghezza tale da andarsi ad attestare almeno a partire dalla quota di 25 - 30 m dal piano campagna laddove si rinvengono litotipi con caratteristiche geomeccaniche idonee.

Prendendo in esame in prima analisi pali trivellati è stato calcolato il valore del carico assiale limite (Q_{lim}) assumendo per il singolo palo un diametro $\emptyset = 1$ m.

Per la determinazione della portanza verticale di fondazioni profonde si fa riferimento a due contributi: la "portanza di punta" e la "portanza per attrito laterale". Queste due componenti in genere sono calcolate in maniera autonoma dato che risulta molto difficoltoso, tranne che in poche situazioni, stabilire quanta parte del carico è assorbita dall'attrito laterale e quanta dalla resistenza alla punta. Nel seguito, ai fini del calcolo della portanza verticale, si assumeranno le seguenti espressioni generali valide per il caso di palo soggetto a compressione e per il caso di palo soggetto a trazione (nel calcolo della portanza verticale è possibile tenere in conto tutti o solo uno dei contributi su definiti):

$$Q_{C} = \frac{Q_{P}}{\eta_{P}} + \frac{Q_{L}}{\eta_{L}} - W_{\text{ATT.NEG.}} - W_{P}$$
 (caso di palo in compressione) $Q_{T} = \frac{Q_{L}}{\eta_{L}} + W_{P}$ (caso di palo in trazione)

dove i simboli su riportati hanno il seguente significato:

Q_C resistenza a compressione del palo

- Q_T resistenza a trazione del palo

Q_P carico limite verticale alla punta del palo

Q_L carico limite verticale lungo la superficie laterale del palo

- W_{ATT.NEG.} attrito negativo agente sul palo

 $-W_P$ peso totale del palo

- η_{II} coefficiente di sicurezza per carico limite verticale alla punta del palo

 $-\eta_A$ coefficiente di sicurezza per carico limite verticale lungo la superficie laterale del palo

I valori del carico limite verticale alla punta del palo " Q_P " e del carico limite verticale lungo la superficie laterale del palo " Q_L " sono determinati con le note "formule statiche". Queste esprimono i valori di cui sopra in funzione della geometria del palo, delle caratteristiche geotecniche del terreno in cui è immerso, della modalità esecutiva e dell'interfaccia palo-terreno.

Di seguito si illustrano le metodologie con le quali saranno determinati i valori prima citati; è necessario tenere presente che tali metodi sono riferiti al calcolo del "singolo palo" e per estendere tale modalità computazione al caso di "pali in gruppo" si farà ricorso ai "coefficienti d'efficienza", in questo modo si potrà tenere in debito conto l'interferenza reciproca che i pali esercitano.

PHEEDRA SrI
Servizi di Ingegneria Integrata
Via Lago di Nemi, 90
74121 - Taranto (Italy)
Tel. +39.099.7722302 - Fax: +39.099.9870285
Empil: info@nhoodro it wob: www.nhoodro it

CST-CIV-REL-026 01

7.2. Carico limite verticale alla punta del palo

Il valore del carico limite verticale alla punta del palo, indipendentemente dal metodo utilizzato per la sua determinazione, è condizionato dalla modalità esecutiva. Esso varia notevolmente a seconda che il palo sia del tipo "infisso" o "trivellato" poiché le caratteristiche fisico-meccaniche del terreno circostante il palo variano in seguito alle operazioni d'installazione. Di conseguenza, per tenere conto della modalità esecutiva nel calcolo dei coefficienti di portanza, si propone di modificare il valore dell'angolo di resistenza a taglio secondo quanto suggerito da Kishida (1967):

$$\phi_{\rm cor} = \frac{\phi + 40}{2}$$
 (per pali infissi) $\phi_{\rm cor} = \phi - 3^{\circ}$ (per pali trivellati)

Con la correzione di cui sopra si determineranno i fattori adimensionali di portanza che sono presenti nella relazione per la determinazione del carico limite verticale alla punta che assume la seguente espressione:

$$Q_p = A_p \cdot (q_p \cdot N_q^* + c \cdot N_c^*)$$

dove i simboli su riportati hanno il seguente significato:

- A_P superficie portante efficace della punta del palo
- q_P pressione del terreno presente alla punta del palo
- c coesione del terreno alla punta del palo (nel caso di condizione non drenata $c = c_u$)
- $-N_{a}^{*},N_{c}^{*}$ fattori adimensionali di portanza funzione dell'angolo d'attrito interno $\varphi_{\chi_{QQ}}$ del terreno già corretti

In letteratura esistono diverse formulazioni per il calcolo dei fattori adimensionali di portanza, di seguito si riportano quelle che sono state implementate:

Formulazione di Meyerhof per base poggiante su terreni sciolti (1951)

1. se $\varphi \neq 0$ (condizione drenata) si ha:

$$\begin{split} N_q &= \operatorname{tg}^2\left(\frac{\pi}{4} + \frac{\phi}{2}\right) \cdot e^{\pi \cdot \operatorname{tg}(\phi)} & N_c = (N_q - 1) \cdot \operatorname{ctg}(\phi) \\ s_q &= 1 + 0.1 \cdot \operatorname{tg}^2\left(\frac{\pi}{4} + \frac{\phi}{2}\right) & s_c = 1 + 0.2 \cdot \operatorname{tg}^2\left(\frac{\pi}{4} + \frac{\phi}{2}\right) \\ d_q &= 1 + 0.1 \cdot \frac{L}{D} \cdot \sqrt{\operatorname{tg}^2\left(\frac{\pi}{4} + \frac{\phi}{2}\right)} & d_c = 1 + 0.2 \cdot \frac{L}{D} \cdot \sqrt{\operatorname{tg}^2\left(\frac{\pi}{4} + \frac{\phi}{2}\right)} \\ N_q^* &= N_q \cdot s_q \cdot d_q & N_c^* = N_c \cdot s_c \cdot d_c \end{split} \tag{fattori diagrams}$$

PHEEDRA SrI		
Servizi di Ingegneria Integrata		
Via Lago di Nemi, 90	RELAZIONE GEOTECNICA	Pagina 25 di 60
74121 - Taranto (Italy)	TELAZIONE GEOTEOMOA	r agiria 25 di 00
Tel. +39.099.7722302 - Fax: +39.099.9870285		
Email: info@phoodra it wob: www.phoodra it		

2. se $\varphi = 0$ (condizione non drenata) si ha:

$N_q = 1.00$	$N_c = \pi + 2$	
$s_q = 1.00$	$s_c = 1.20$	(fattori di forma)
$d_q=1.00$	$d_c = 1 + 0.2 \cdot \frac{L}{D}$	(fattori d'approfondimento)
$N_q^* = N_q \cdot s_q \cdot d_q$	$N_c^* = N_c \cdot s_c \cdot d_c$	

Formulazione di Hansen per base poggiante su terreni sciolti (1970)

1. se $\varphi \neq 0$ (condizione drenata) si ha:

$$\begin{split} N_q &= \operatorname{tg}^2\left(\frac{\pi}{4} + \frac{\phi}{2}\right) \cdot e^{\pi \cdot \operatorname{tg}(\phi)} & N_c &= (N_q - 1) \cdot \operatorname{ctg}(\phi) \\ s_q &= 1 + \operatorname{tg}(\phi) & s_c &= 1 + \frac{N_q}{N_c} & \text{(fattori di forma)} \\ d_q &= 1 + 2 \cdot \operatorname{tg}(\phi) \cdot \left(1 - \operatorname{sen}(\phi)\right)^2 \cdot \Theta \ \ d_c &= 1 + 0.4 \cdot \Theta & \text{(fattori d'approfondimento)} \\ \operatorname{dove:} \operatorname{se} \frac{L}{D} &\leq 1 \ \Rightarrow \ \Theta = \frac{L}{D}, \ \operatorname{se} \frac{L}{D} > 1 \ \Rightarrow \ \Theta = \operatorname{arctg}\left(\frac{L}{D}\right) \\ N_q^* &= N_q \cdot s_q \cdot d_q & N_c^* &= N_c \cdot s_c \cdot d_c \end{split}$$

2. se $\varphi = 0$ (condizione non drenata) si ha:

$$N_q=1.00$$
 $N_c=\pi+2$
$$s_q=1.00$$
 $s_c=1.20$ (fattori di forma)
$$d_q=1.00$$
 $d_c=1+0.4\cdot \Theta$ (fattori d'approfondimento)
$$N_q^*=N_q\cdot s_q\cdot d_q$$
 $N_c^*=N_c\cdot s_c\cdot d_c$

Formulazione di Zeevaert per base poggiante su terreni sciolti (1972)

PHEEDRA Srl		
Servizi di Ingegneria Integrata		
Via Lago di Nemi, 90	RELAZIONE GEOTECNICA	Pagina 26 di 60
74121 - Taranto (Italy)	TELLIZIONE GEOTEONION	r agiria 20 di 00
Tel. +39.099.7722302 - Fax: +39.099.9870285		
Email: info@pheedra.it - web: www.pheedra.it		

1. se $\varphi \neq 0$ (condizione drenata) si ha:

$$N_q^* = \frac{\cos^2(\phi)}{2 \cdot \cos^2\left(\frac{\pi}{4} + \frac{\phi}{2}\right)} \cdot e^{\left(\frac{\mathbf{S} \cdot \pi}{2} + \phi\right) \cdot \mathsf{tg}(\phi)} \qquad N_c^* = (N_q - 1) \cdot \mathsf{ctg}(\phi)$$

2. se $\varphi = 0$ (condizione non drenata) si ha:

$$N_q^* = 1.00$$
 $N_c^* = 9.00$

Formulazione di Berezantzev per base poggiante su terreni sciolti (1970)

Berezantzev fa riferimento ad una superficie di scorrimento "alla Terzaghi" che si arresta sul piano della punta del palo. Inoltre considera il cilindro di terreno coassiale al palo (avente diametro pari all'estensione in sezione della superficie di scorrimento) in parte sostenuto da tensioni tangenziali dal rimanente terreno presente lungo la superficie laterale del cilindro. Conseguentemente il valore della pressione presente alla punta del palo è inferiore alla corrispondente pressione litostatica ed è influenzata dal rapporto tra la profondità alla quale è posta la punta "L" del palo e il diametro "D" dello stesso. Quindi il valore di N_q è influenzato da questo effetto "Silo". I valori che l'autore propone sono:

1. se $\varphi \neq 0$ (condizione drenata) si ha:

Valori di N*q per pali di diametro fino a 80.0 cm.

Λ/Δ	8°	16°	18°	20°	22°	24°	26°	28°	30°	32°	34°	36°	38°	40°	42°	44°	46°	48°	50°
4	1.07	2.18	3.15	4.72	7.15	10.73	15.85	22.95	32.62	45.56	62.69	85.18	114.53	152.71	202.32	266.82	350.86	460.79	605.36
12	1.04	1.77	2.46	3.64	5.52	8.42	12.71	18.85	27.44	39.21	55.07	76.20	104.13	140.81	188.86	251.72	334.05	442.17	584.82
20	1.03	1.63	2.20	3.20	4.82	7.38	11.22	16.82	24.76	35.79	50.83	71.06	98.01	133.65	180.59	242.29	323.39	430.21	571.48
28	1.03	1.54	2.05	2.93	4.40	6.72	10.26	15.48	22.96	33.43	47.84	67.37	93.54	128.35	174.39	235.13	315.21	420.95	561.08
36	1.02	1.49	1.94	2.75	4.10	6.26	9.57	14.49	21.60	31.64	45.53	64.48	90.00	124.10	169.36	229.27	308.46	413.26	552.38
50	1.02	1.42	1.82	2.53	3.74	5.68	8.70	13.23	19.84	29.27	42.45	60.56	85.14	118.18	162.30	220.95	298.80	402.16	539.74
75	1.02	1.35	1.69	2.30	3.33	5.02	7.69	11.74	17.73	26.37	38.58	55.55	78.82	110.38	152.84	209.67	285.53	386.74	522.01
100	1.01	1.31	1.61	2.14	3.07	4.60	7.02	10.74	16.28	24.34	35.84	51.95	74.19	104.56	145.68	201.02	275.23	374.64	507.95
200	1.01	1.22	1.44	1.84	2.54	3.71	5.60	8.56	13.05	19.73	29.43	43.30	62.82	89.95	127.29	178.30	247.63	341.59	468.90
500	1.01	1.14	1.29	1.55	2.02	2.82	4.14	6.24	9.50	14.45	21.83	32.64	48.25	70.49	101.85	145.69	206.57	290.75	406.87

Valori di N^{*}q per pali di diametro maggiore a 80.0 cm.

PHEEDRA SrI		
Servizi di Ingegneria Integrata		
Via Lago di Nemi, 90	RELAZIONE GEOTECNICA	Pagina 27 di 60
74121 - Taranto (Italy)	REE/IZIONE GEOTEONIO/	r agiria 27 di 00
Tel. +39.099.7722302 - Fax: +39.099.9870285		
Email: info@pheedra.it - web: www.pheedra.it		

CST-CIV-REL-026_01

Λ/Δ	8°	16°	18°	20°	22°	24°	26°	28°	30°	32°	34°	36°	38°	40°	42°	44°	46°	48°	50°
4	1.16	3.09	3.95	5.04	6.44	8.22	10.50	13.41	17.12	21.87	27.92	35.65	45.53	58.14	74.24	94.80	121.05	154.57	197.38
12	1.21	3.14	3.98	5.05	6.42	8.14	10.34	13.13	16.68	21.18	26.90	34.17	43.41	55.15	70.07	89.03	113.13	143.77	182.72
20	1.26	3.18	4.01	5.06	6.39	8.06	10.18	12.85	16.23	20.49	25.88	32.69	41.29	52.16	65.89	83.26	105.21	132.97	168.06
28	1.30	3.22	4.04	5.07	6.36	7.99	10.02	12.57	15.78	19.81	24.86	31.20	39.17	49.16	61.72	77.49	97.29	122.16	153.40
36	1.35	3.27	4.07	5.08	6.34	7.91	9.86	12.30	15.33	19.12	23.84	29.72	37.04	46.17	57.55	71.72	89.38	111.36	138.75
44	1.39	3.31	4.10	5.09	6.31	7.83	9.70	12.02	14.88	18.43	22.81	28.23	34.92	43.18	53.38	65.95	81.46	100.56	124.09
52	1.44	3.35	4.14	5.10	6.29	7.75	9.54	11.74	14.44	17.74	21.79	26.75	32.80	40.19	49.21	60.18	73.54	89.76	109.43
56	1.46	3.37	4.15	5.10	6.27	7.71	9.46	11.60	14.21	17.40	21.28	26.00	31.74	38.70	47.12	57.30	69.58	84.36	102.10
60	1.49	3.39	4.17	5.11	6.26	7.67	9.38	11.46	13.99	17.06	20.77	25.26	30.68	37.20	45.03	54.42	65.62	78.96	94.77
65	1.51	3.42	4.19	5.12	6.25	7.62	9.28	11.29	13.71	16.63	20.13	24.33	29.35	35.33	42.43	50.81	60.67	72.21	85.61

$$N_c^* = (N_q - 1) \cdot \operatorname{ctg}(\phi)$$

2. se $\varphi = 0$ (condizione non drenata) si ha:

$$N_q^* = 1.00$$
 $N_c^* = 9.00$

Formulazione di Vesic per base poggiante su terreni sciolti (1975)

1. se $\varphi \neq 0$ (condizione drenata) si ha:

$$\begin{split} N_q^* &= \frac{3}{3-\sin(\phi)} \cdot \operatorname{tg}^2\left(\frac{\pi}{4} + \frac{\phi}{2}\right) \cdot I_{\operatorname{rr}}^{\frac{4\cdot \sin(\phi)}{5\cdot (1+\sin(\phi))}} \cdot e^{\left(\frac{\pi}{2} - \phi\right) \cdot \operatorname{tg}(\phi)} \\ I_{\operatorname{rr}} &= \frac{I_r}{1+\varepsilon_v \cdot I_r} \\ \end{split} \qquad \qquad \varepsilon_v &= \frac{q_p \cdot \alpha}{E_t} \cdot \frac{(1+v) \cdot (1-2 \cdot v)}{(1-v)} \\ I_r &= \frac{E_t}{2\cdot (1+v) \cdot (c+q_p \cdot \alpha \cdot \operatorname{tg}(\phi))} \end{split}$$

2. se $\varphi = 0$ (condizione non drenata) si ha:

$$N_q^* = 1.00$$

$$N_c^* = \frac{4}{3} \cdot (\log_n(I_{\rm rr}) + 1) + \frac{\pi}{2} + 1$$

dove i simboli su riportati hanno il seguente significato:

- E_t modulo elastico del terreno alla profondità della punta del palo
- ν coefficiente di Poisson del terreno alla profondità della punta del palo
- α coefficiente di riduzione della pressione del terreno presente alla profondità della punta del palo

PHEEDRA SrI		
Servizi di Ingegneria Integrata	D	
Via Lago di Nemi, 90 74121 – Taranto (Italy)	RELAZIONE GEOTECNICA	Pagina 28 di 60
Tel. +39.099.7722302 - Fax: +39.099.9870285		
Email: info@pheedra.it – web: www.pheedra.it		

Nel caso in cui si scelga di effettuare la riduzione della pressione del terreno presente alla profondità della punta del palo (cioè $\alpha = 1$) il coefficiente di riduzione " α " assume la seguente espressione:

$$\alpha = \frac{1+2\cdot K_0}{3} \qquad \text{dove: se } \phi \neq 0 \ \Rightarrow K_0 = 1-\text{sen}(\phi); \qquad \text{se } \phi = 0 \ \Rightarrow K_0 = \frac{\nu}{1-\nu}$$

Formulazione di Janbu per base poggiante su terreni sciolti (1976)

1. se $\varphi \neq 0$ (condizione drenata) si ha:

$$N_q^* = \left(\operatorname{tg}(\phi) + \sqrt{1 + \operatorname{tg}^2(\phi)} \right)^2 \cdot e^{2 \cdot \theta \cdot \operatorname{tg}(\phi)}$$

$$N_c^* = (N_q - 1) \cdot \operatorname{ctg}(\phi)$$

$$\theta = 60 + 0.45 \cdot \operatorname{Dr}$$

dove "Dr" è la densità relativa del terreno.

2. se $\varphi = 0$ (condizione non drenata) si ha:

$$N_q^* = 1.00$$
 $N_c^* = 5.74$

Formulazione di Terzaghi per base poggiante su roccia (1943)

Per la determinazione del carico limite nel caso di presenza di ammasso roccioso bisogna valutare molto attentamente il grado di solidità della roccia stessa. Tale valutazione viene in genere eseguita stimando l'indice RQD (Rock Quality Designation) che rappresenta una misura della qualità di un ammasso roccioso. Tale indice può variare da un minimo di 0 (caso in cui la lunghezza dei pezzi di roccia estratti dal carotiere è inferiore a 100 mm) ad un massimo di 1 (caso in cui la carota risulta integra) ed è calcolato nel seguente modo:

$$RQD = \frac{\sum lunghezze \ dei \ pezzi \ di \ roccia \ intatta \ > \ 100mm}{lunghezza \ del \ carotiere}.$$

Se il valore di *RQD* è molto basso la roccia è molto fratturata ed il calcolo della capacità portante dell'ammasso roccioso va condotto alla stregua di un terreno sciolto utilizzando tutte le formulazioni sopra descritte.

PHEEDRA Sri		
Servizi di Ingegneria Integrata		
Via Lago di Nemi, 90	RELAZIONE GEOTECNICA	Pagina 29 di 60
74121 - Taranto (Italy)	TREE/IZIONE GEOTEONIO/	r agiria 25 di 00
Tel. +39.099.7722302 - Fax: +39.099.9870285		
Email: info@pheedra.it - web: www.pheedra.it		

Corso Europa 13 20122 Milano (MI)	(TA) NELLA LOCALITA' "PEZZA DEL DR.	
$N_q = \frac{e^{2\cdot\left(\frac{\mathbf{S}\cdot\boldsymbol{\pi}}{4} - \frac{\boldsymbol{\phi}}{2}\right)\cdot\operatorname{tg}(\boldsymbol{\phi})}}{2\cdot\cos^2\!\left(\frac{\boldsymbol{\pi}}{4} + \frac{\boldsymbol{\phi}}{2}\right)}$	$N_c = (N_q - 1) \cdot \operatorname{ctg}(\phi)$	se $\phi = 0 \Rightarrow N_c = \frac{3}{2} \cdot \pi + 1$
$s_q = 1.00$	$s_c = 1.30$	(fattori di forma)

PROGETTO PER LA REALIZZAZIONE DI UN

PARCO EOLICO NEL COMUNE DI CASTELLANETA

$$N_q^* = \text{RQD}^2 \cdot N_q \cdot s_q$$
 $N_c^* = \text{RQD}^2 \cdot N_c \cdot s_c$

Committente:

Green Energy 7 Srl

Corso Europa 13

Formulazione di Stagg-Zienkiewicz per base poggiante su roccia (1968)

$$\begin{split} N_q &= \mathrm{tg}^6 \left(\frac{90^\circ + \phi}{2}\right) & N_c &= 5 \cdot \mathrm{tg}^4 \left(\frac{90^\circ + \phi}{2}\right) \\ s_q &= 1.00 & s_c &= 1.30 \\ N_q^* &= \mathrm{RQD}^2 \cdot N_q \cdot s_q & N_c^* &= \mathrm{RQD}^2 \cdot N_c \cdot s_c \end{split} \tag{fattori di forma}$$

Nome del file:

CST-CIV-REL-026 01

7.3. Carico limite verticale lungo la superficie laterale del palo

Il valore del carico limite verticale lungo la superficie laterale del palo è dato dall'integrale esteso a tutta la superficie laterale del palo delle tensioni tangenziali che si sviluppano all'interfaccia palo-terreno in condizioni limite:

$$Q_L = \int_{\varGamma} \tau_{\lim} \cdot d\varGamma = \int_{0}^{L} (c_a + \sigma_h \cdot \operatorname{tg}(\delta)) \cdot P_{\operatorname{lat}} \cdot \operatorname{dz}$$

dove i simboli sopra riportati hanno il seguente significato:

- χ_{α} adesione all'interfaccia terreno-palo alla generica profondità "z"
- $-\sigma_{\eta}$ tensione orizzontale alla generica profondità "z"
- δ angolo di resistenza a taglio all'interfaccia terreno-palo alla generica profondità "z"
- $Π_{λατ}$ perimetro della sezione trasversale del palo alla generica profondità "z"
- A sviluppo longitudinale del palo

Analogamente al carico limite alla punta, anche il valore del carico limite verticale lungo la superficie laterale del palo varia notevolmente a seconda che esso sia del tipo "infisso" o "trivellato" a causa del diverso comportamento del terreno circostante in palo. Conseguentemente i parametri sopra riportati possono essere correlati da leggi diverse in funzione delle modalità di esecuzione del palo. Di seguito si descrivono quelle che sono state implementate.

L'adesione " c_a " è correlata alla coesione "c" nel caso di condizioni drenate; oppure alla coesione non drenata " c_u " nel caso di condizioni non drenate, per mezzo del coefficiente d'adesione " ψ " secondo la seguente relazione:

$$c_a = c_* \cdot \psi \qquad \qquad {\rm dove} : \ c_* = c \ \ ({\rm in \ condizione \ drenata});$$

$$c_* = c_u ({\rm in \ condizione \ non \ drenata}).$$

Esprimendo il valore di "c-" in N/cm², il coefficiente d'adesione "ψ" può assumere i seguenti valori:

Caquot-Kerisel (consigliato per pali trivellati)

$$\psi = \frac{100 + c_*^2}{100 + 7 \cdot c_*^2}$$

Meyerhof-Murdock (consigliato per pali trivellati)

PHEEDRA Sri		
Servizi di Ingegneria Integrata		
Via Lago di Nemi, 90	RELAZIONE GEOTECNICA	Pagina 31 di 60
74121 - Taranto (Italy)	TELAZIONE GEOTEOMOA	r agina o r di do
Tel. +39.099.7722302 - Fax: +39.099.9870285		
Email: info@pheedra.it – web: www.pheedra.it		

Committente: Green Energy 7 Srl Corso Europa 13	PROGETTO PER LA REALIZZAZIONE DI UN PARCO EOLICO NEL COMUNE DI CASTELLANETA	Nome del file:
20122 Milano (MI)	(TA) NELLA LOCALITA' "PEZZA DEL DRAGONE"	CST-CIV-REL-026 01

se
$$c_* \le 5.00 \text{ N/cm}^2$$
 $\Rightarrow \psi = 1.000 - 0.100 \cdot c_*$
se $c_* > 5.00 \text{ N/cm}^2$ $\Rightarrow \psi = 0.525 - 0.005 \cdot c_*$

Whitaker-Cooke (consigliato per pali trivellati)

Woodward (consigliato per pali trivellati)

Viggiani e altri (consigliato per pali infissi)

Il valore della tensione orizzontale " σ_{η} " è correlato al valore della pressione verticale " σ_{ϖ} " per mezzo del coefficiente di spinta orizzontale " K_s " secondo la seguente relazione:

$$\sigma_h = \sigma_v \cdot K_s$$

Il valore di " K_s " dipende essenzialmente dal tipo di terreno e dal suo stato d'addensamento nonché dalla tecnologia utilizzata per l'installazione.

Il programma permette di scegliere tra differenti teorie per il calcolo di $K_{s.}$

1. Opzione 1:

Metodo "Tomlinson (1971)"

 K_s può variare da un limite inferiore pari al coefficiente di spinta a riposo " K_0 " fino a valori prossimi al

PHEEDRA SrI Servizi di Ingegneria Integrata Via Lago di Nemi, 90 74121 – Taranto (Italy) Tel. +39.099.7722302 – Fax: +39.099.9870285 Email: info@pheedra.it – web: www.pheedra.it	RELAZIONE GEOTECNICA	Pagina 32 di 60
---	----------------------	-----------------

Committente:
Green Energy 7 Srl
Corso Europa 13
20122 Milano (MI)

PROGETTO PER LA REALIZZAZIONE DI UN PARCO EOLICO NEL COMUNE DI CASTELLANETA (TA) NELLA LOCALITA' "PEZZA DEL DRAGONE" Nome del file:

CST-CIV-REL-026_01

coefficiente di spinta passiva " K_p "; i valori proposti sono:

pali trivellati: $K_s = K_0 = 1 - sen(^{\phi})$

pali infissi: K_s = variabile da: $K_p = 1 + tg^2(\Phi)$ in sommità fino a $K_0 = 1 - sen(\Phi)$ alla punta

2. Opzione 2:

Metodo di "Kulhavy (1983)"

pali trivellati: $K_s = \alpha K_0$ con α variabile tra 2/3 e 1

pali infissi: $K_s = \alpha K_0 \cos \alpha$ variabile da 3/4, per compattazione del terreno trascurabile, fino a 2, nel caso di compattazione significativa.

Il valore dell'angolo di resistenza al taglio all'interfaccia terreno-palo " δ " è funzione della scabrezza della superficie del palo e quindi della modalità esecutiva; i valori proposti sono:

$$\delta = \operatorname{arctg}(\operatorname{tg}(\phi)) \qquad \text{(per pali trivellati)} \qquad \delta = \operatorname{arctg}\Big(\frac{3}{4} \cdot \operatorname{tg}(\phi)\Big) \qquad \text{(per pali infissi)}$$

Green Energy 7 Srl PARCO EOLICO NEL COMUNE DI CASTELLANETA Corso Europa 13 (TA) NELLA LOCALITA' "PEZZA DEL DRAGONE"

Nome del file:

CST-CIV-REL-026_01

8. TABULATI DI CALCOLO

20122 Milano (MI)

8.1. Simbologia adottata nei tabulati di calcolo

Per maggior chiarezza nella lettura dei tabulati di calcolo viene riportata la descrizione dei simboli principali utilizzati nella stesura degli stessi. Per comodità di lettura la legenda è suddivisa in paragrafi con la stessa modalità in cui sono stampati i tabulati di calcolo.

Dati geometrici degli elementi costituenti le fondazioni profonde

ascissa nel riferimento globale dell'elemento X elem. Y elem. ordinata nel riferimento globale dell'elemento

Profon. profondità del piano di posa dell'elemento a partire dal piano campagna

larghezza della sezione trasversale dell'elemento Base Lungh. dimensione dello sviluppo longitudinale dell'elemento Altez. altezza della sezione trasversale dell'elemento rotazione dell'elemento rispetto al suo baricentro Rotaz.

Grup. ap. nel caso cui l'elemento faccia parte di una palificata, rappresenta il numero identificativo della stessa

indice della stratigrafia associata all'elemento Ind. Strat.

Tip. iniez. tipologia d'iniezione dei micropali ai fini del calcolo della portanza secondo le raccomandazioni di Bustamante e Doix (No iniez. = assenza d'iniezione, Iniez.uni. = iniezione unica, Iniez.rip. = iniezione ripetuta)

Tip. ter. tipologia di terreno ai fini del calcolo della portanza secondo le raccomandazioni di Bustamante e Doix (Coes. = coesivo, Inc. = incoerente)

Dia. P. diametro fusto del palo Lun. P. lunghezza totale del palo

lunghezza tratto del palo senza contributo di terreno Lun. L. Dis. P. distanza del baricentro del palo dal bordo del plinto

In. Px interasse principale del palo In. Py interasse secondario del palo Dia. B. diametro bulbo del palo

Lun. B. lunghezza della sbulbatura del palo

E.C.V. coefficiente d'efficienza per carico limite verticale del singolo palo E.C.C. coefficiente d'efficienza per carico critico verticale del singolo palo E.C.T. coefficiente d'efficienza per carico limite trasversale del singolo palo

Svin. testa codice di svincolo alla rotazione in testa al palo (0 = non attivo, 1 = attivo)

codici di vincolo rispettivamente alla rotazione orizzontale, traslazione orizzontale e Vin. piede traslazione verticale applicabili al piede del palo (0 = non attivo, 1 = attivo)

Asc. X' ascissa del baricentro del singolo palo dell'elemento nel riferimento locale con origine nel baricentro del plinto

Asc. Y' ordinata del baricentro del singolo palo dell'elemento nel riferimento locale con origine nel baricentro del plinto

peso specifico del palo Peso spec.

Mod. El. Pa. modulo elastico normale del palo

PHEEDRA SrI		
Servizi di Ingegneria Integrata		
Via Lago di Nemi, 90	RELAZIONE GEOTECNICA	Pagina 34 di 60
74121 - Taranto (Italy)	TELLIZIONE GEOTEOMOR	r agina 54 di 60
Tel. +39.099.7722302 - Fax: +39.099.9870285		
Email: info@nheedra it - web: www.nheedra it		

Committente:

Green Energy 7 SrI
Corso Europa 13
20122 Milano (MI)

PROGETTO PER LA REALIZZAZIONE DI UN
PARCO EOLICO NEL COMUNE DI CASTELLANETA
(TA) NELLA LOCALITA' "PEZZA DEL DRAGONE"

CST-CIV-REL-026_01

Dati di carico degli elementi costituenti le fondazioni profonde

Cmb numero della combinazione di caricoTipologia tipologia della combinazione di carico

- Sismica flag per l'applicazione della riduzione sismica alle caratteristiche meccaniche del terreno di fondazione per la combinazione di carico in esame
- S. Normale sollecitazione normale agente alla quota del piano di fondazione dell'elemento (riferimento locale con origine nel baricentro del plinto)
- S. Tagliante X' sollecitazione tagliante lungo l'asse X' agente alla quota del piano di fondazione dell'elemento (riferimento locale con origine nel baricentro del plinto)
- S. Tagliante Y' sollecitazione tagliante lungo l'asse Y' agente alla quota del piano di fondazione dell'elemento (riferimento locale con origine nel baricentro del plinto)
- S. Flessionale X' sollecitazione flessionale lungo l'asse X' agente alla quota del piano di fondazione dell'elemento (riferimento locale con origine nel baricentro del plinto)
- S. Flessionale Y' sollecitazione flessionale lungo l'asse Y' agente alla quota del piano di fondazione dell'elemento (riferimento locale con origine nel baricentro del plinto)
- S. Torsionale sollecitazione torsionale agente alla quota del piano di fondazione dell'elemento (riferimento locale con origine nel baricentro del plinto)

Valori di calcolo per le fondazioni profonde

- Port. punta carico limite verticale alla punta del palo (valore su singolo palo corretto dal relativo coefficiente d'efficienza)
- Port. lat. carico limite verticale lungo la superficie laterale del fusto del palo (valore su singolo palo corretto dal relativo coefficiente d'efficienza)
- Port. bulbo carico limite verticale lungo la superficie laterale del bulbo del palo (valore su singolo palo corretto dal relativo coefficiente d'efficienza)
- C. Critico carico critico per l'instabilità del palo (valore su singolo palo corretto dal relativo coefficiente d'efficienza)
- Attr. Neg. attrito negativo agente sul palo (valore su singolo palo)
- Peso Palo peso totale del singolo palo
- Cmb numero e tipologia della combinazione di carico
- S. Norm. sollecitazione normale agente alla testa del palo in esame
- V. V. Com. resistenza a compressione del palo in esame (corretto dal relativo coefficiente di sicurezza)
- V. V. Tra. resistenza a trazione del palo in esame (corretto dal relativo coefficiente di sicurezza)
- Ver. Com. rapporto tra la sollecitazione normale agente alla testa del palo e la sua resistenza a compressione (verifica positiva se il rapporto è < 1.0)
- Ver. Tra. rapporto tra la sollecitazione normale agente alla testa del palo e la sua resistenza a trazione (verifica positiva se il rapporto è < 1.0)
- S. Tagl. sollecitazione tagliante agente alla testa del palo
- S. Fles. sollecitazione flessionale agente alla testa del palo
- V. V. Trs. resistenza trasversale del palo in esame (corretto dal relativo coefficiente di sicurezza)
- Ver. Tra. rapporto tra la sollecitazione tagliante agente alla testa del palo e la sua resistenza trasversale (verifica positiva se il rapporto è < 1.0)
- Ced. V. cedimento verticale in corrispondenza della testa del palo
- Ced. H. cedimento orizzontale in corrispondenza della testa del palo

PHEEDRA SrI		
Servizi di Ingegneria Integrata		
Via Lago di Nemi, 90	RELAZIONE GEOTECNICA	Pagina 35 di 60
74121 - Taranto (Italy)		
Tel. +39.099.7722302 - Fax: +39.099.9870285		
Email: info@pheedra it – web: www.pheedra it		

CST-CIV-REL-026_01

8.2. Parametri di calcolo

Modalità di calcolo della portanza verticale per fondazioni profonde:

Per elementi con pali: Portanza di punta e laterale

Per elementi con micropali: Portanza di punta e laterale

Metodi di calcolo della portanza di punta per fondazioni profonde:

Per terreni sciolti: Vesic

Riduzione della tensione litostatica: No

Per terreni lapidei: Terzaghi

Riduzione di Kishida per pali battuti o trivellati: Si

Metodo di calcolo del coefficiente di spinta orizzontale Ks: Tomlinson

Coefficienti parziali e totali di sicurezza per Tensioni Ammissibili e S.L.E. nel calcolo della portanza per fondazioni profonde:

Coeff. di sicurezza alla punta: 2,50

Coeff. di sicurezza lungo il fusto: 2,50

Coeff. di sicurezza lungo il bulbo: 2,50

Coeff. di sicurezza per palo in trazione: 2,50

8.3. Combinazioni di carico

APPROCCIO PROGETTUALE TIPO 2 - Comb. (A1+M1+R3)

Coefficienti parziali e totali di sicurezza per S.L.U. nel calcolo della portanza per pali trivellati:

I coeff. A1 risultano combinati secondo lo schema presente nella relazione di calcolo della struttura.

- Coeff. M1 per Tan φ (statico): 1
- o Coeff. M1 per c' (statico): 1
- Coeff. M1 per Cu (statico): 1
- Coeff. M1 per Tan φ (sismico): 1
- o Coeff. M1 per c' (sismico): 1
- Coeff. M1 per Cu sismico): 1
- o Coeff. R3 base: 1,35
- Coeff. R3 laterale in compressione: 1,15
 Coeff. R3 laterale in trazione: 1,25

Fattore di correlazione: 1,70

Committente: Green Energy 7 Srl Corso Europa 13

20122 Milano (MI)

PROGETTO PER LA REALIZZAZIONE DI UN PARCO EOLICO NEL COMUNE DI CASTELLANETA (TA) NELLA LOCALITA' "PEZZA DEL DRAGONE" Nome del file:

CST-CIV-REL-026_01

8.4. Archivio stratigrafie

Indice / Descrizione: 001 / Nuova stratigrafia n. 1

Numero strati: 1

Profondità falda: assente

Strato n. Quota di riferimento Spessore Indice / Descrizione terreno Attrito Neg.

1 da 0,0 a -6000,0 cm 6000,0 cm 001 / DEPOSITI ALLUVIONALI Assente

8.5. Archivio terreni

Indice / Descrizione terreno: 001 / DEPOSITI ALLUVIONALI

Comportamento del terreno: condizione drenata

Peso Spec. daN/cmc P. Spec. Sat. Angolo Res. Coesione Mod.Elast. Mod.Edom. Dens.Rel. Poisson C. Ades. daN/cmq Gradi° daN/cmc daN/cmq daN/cmq 132,000 2,240 E-3 2,240 E-3 41,000 0.000 329,000 100,0 0,250 1,00

Committente:		Nome del file
Green Energy 7 Srl	PROGETTO PER LA REALIZZAZIONE DI UN	
Corso Europa 13	PARCO EOLICO NEL COMUNE DI CASTELLANETA	
20132 Milano (MI)	(TA) NELLA LOCALITA' "PEZZA DEL DRAGONE"	CST-CIV-RFI -026 01

8.6. Dati geometrici degli elementi costituenti le fondazioni profonde

Elemen X elem. cm -700,0	to: 69 - Y elem. cm -700,0	Palo sin Prof. cm 200,0	golo - T Base cm 0,0	ipologia pa Lungh. cm 0,0	ali: trivel Altez. cm 400,0	Rot. Gradi° 0,00	Grup.ap. n. 69	Ind.strat. n. 001				
Dia. P.	Lun. P.	Lun. L.	Dist.P.	In. Px	In. Py	Dia. B.	Lun. B.	E.C.V.	E.C.C.	E.C.T.	Svin.testa codice	Vin.piede codice
100,0	3000,0	0,0	0,0	0,0	0,0	0,0	0,0	1,00	1,00	1,00	0	0; 0; 1
Palo n. 1	Asc. X' cm 0,0	Ord. Y' cm 0,0										
Elemen	to: 76 -	Palo sin	golo - T	ipologia p	ali: trivel	llati						
X elem. cm	Y elem. cm	Prof. cm	Base cm	Lungh. cm	Altez. cm	Rot. Gradi°	Grup.ap. n.	Ind.strat. n.				
0,0	-700,0	200,0	0,0	0,0	400,0	0,00	76	001				
Dia. P.	Lun. P.	Lun. L.	Dist.P.	In. Px	In. Py	Dia. B.	Lun. B.	E.C.V.	E.C.C.	E.C.T.	Svin.testa	Vin.piede
cm 100,0	cm 3000,0	cm 0,0	cm 0,0	cm 0,0	cm 0,0	cm 0,0	cm 0,0	1,00	1,00	1,00	codice 0	codice 0; 0; 1
Palo n. 1	Asc. X' cm 0,0	Ord. Y' cm 0,0										
Elemen	to: 83 -	Palo sin	aolo - T	ipologia p	ali: trivel	llati						
X elem.	Y elem.	Prof.	Base	Lungh.	Altez.	Rot.		Ind.strat.				
cm 700,0	cm -700,0	cm 200,0	cm 0,0	cm 0,0	cm 400,0	Gradi° 0,00	n. 83	n. 001				
Dia. P.	Lun. P.	Lun. L.	Dist.P.	In. Px	In. Py	Dia. B.	Lun. B.	E.C.V.	E.C.C.	E.C.T.	Svin.testa	Vin.piede
cm 100,0	cm 3000,0	cm 0,0	cm 0,0	cm 0,0	cm 0,0	cm 0,0	cm 0,0	1,00	1,00	1,00	codice 0	codice 0; 0; 1
			0,0	0,0	0,0	0,0	0,0	1,00	1,00	1,00	O .	0, 0, 1
Palo n.	Asc. X' cm	Ord. Y' cm										
1	0,0	0,0										
	to: 216			Tipologia _I								
X elem. cm	Y elem. cm	Prof. cm	Base cm	Lungh. cm	Altez. cm	Rot. Gradi°	Grup.ap. n.	Ind.strat. n.				
-700,0	0,0	200,0	0,0	0,0	400,0	0,00	216	001				
Dia. P.	Lun. P.	Lun. L.	Dist.P.	In. Px	In. Py	Dia. B.	Lun. B.	E.C.V.	E.C.C.	E.C.T.	Svin.testa	Vin.piede
cm 100,0	cm 3000,0	cm 0,0	cm 0,0	cm 0,0	cm 0,0	cm 0,0	cm 0,0	1,00	1,00	1,00	codice 0	codice 0; 0; 1
Palo	Asc. X'	Ord. Y'										
n. 1	cm 0,0	cm 0,0										
Elemen X elem.	to: 223 Y elem.			Tipologia Lungh.			Grup.ap.	Ind.strat.				
cm	cm	cm	cm	cm	cm	Gradi°	n.	n.				
0,0	0,0	200,0	0,0	0,0	400,0	0,00	223	001				
Dia. P. cm	Lun. P. cm	Lun. L. cm	Dist.P. cm	In. Px cm	In. Py cm	Dia. B. cm	Lun. B. cm	E.C.V.	E.C.C.	E.C.T.	Svin.testa codice	Vin.piede codice
100,0	3000,0	0,0	0,0	0,0	0,0	0,0	0,0	1,00	1,00	1,00	0	0; 0; 1
Palo	Asc. X'	Ord. Y'										
n. 1	cm 0,0	cm 0,0										
Flemen	to: 230	- Palo si	ngolo -	Tipologia _I	nali: trive	ellati						
X elem.	Y elem.	Prof.	Base	Lungh.	Altez.	Rot.	Grup.ap.	Ind.strat.				
cm 700,0	cm 0,0	cm 200,0	cm 0,0	cm 0,0	cm 400,0	Gradi° 0,00	n. 230	n. 001				
Dia. P.	Lun. P.	Lun. L.	Dist.P.	In. Px	In. Py	Dia. B.	Lun. B.	E.C.V.	E.C.C.	E.C.T.	Svin.testa	Vin.piede
cm	cm	cm	cm	cm	cm	cm	cm				codice	codice
100,0 PHEED	3000,0	0,0	0,0	0,0	0,0	0,0	0,0	1,00	1,00	1,00	0	0; 0; 1
Servizi o Via Lago d 74121 – Ta Tel. +39.09	di Ingegne li Nemi, 90 aranto (Italy) 99.7722302 -	eria Integra - Fax: +39.099 - web: www.p	9.9870285		RELAZ	ZIONE GI	EOTECNIC	CA			Pagina 3	8 di 60

Committente: Green Energy 7 SrI	PROGETTO PER LA REALIZZAZIONE DI UN PARCO EOLICO NEL COMUNE DI CASTELLANETA	Nome del file:
Corso Europa 13 20122 Milano (MI)	(TA) NELLA LOCALITA' "PEZZA DEL DRAGONE"	CST-CIV-REL-026 _01

Palo n. 1	Asc. X' cm 0,0	Ord. Y' cm 0,0										
Elemer X elem. cm -700,0	nto: 363 Y elem. cm 700,0	Palo si Prof. cm 200,0	ngolo - T Base cm 0,0	ipologia p Lungh. cm 0,0	Altez. cm 400,0	Rot. Gradi° 0,00	Grup.ap. n. 363	Ind.strat. n. 001				
Dia. P. cm 100,0	Lun. P. cm 3000,0	Lun. L. cm 0,0	Dist.P. cm 0,0	In. Px cm 0,0	In. Py cm 0,0	Dia. B. cm 0,0	Lun. B. cm 0,0	E.C.V. 1,00	E.C.C. 1,00	E.C.T. 1,00	Svin.testa codice 0	Vin.piede codice 0; 0; 1
Palo n. 1	Asc. X' cm 0,0	Ord. Y' cm 0,0										
Elemer X elem. cm 0,0	rto: 370 Y elem. cm 700,0	- Palo si Prof. cm 200,0	ngolo - T Base cm 0,0	ipologia p Lungh. cm 0,0	Altez. cm 400,0	Rot. Gradi° 0,00	Grup.ap. n. 370	Ind.strat. n. 001				
Dia. P. cm 100,0	Lun. P. cm 3000,0	Lun. L. cm 0,0	Dist.P. cm 0,0	In. Px cm 0,0	In. Py cm 0,0	Dia. B. cm 0,0	Lun. B. cm 0,0	E.C.V. 1,00	E.C.C. 1,00	E.C.T. 1,00	Svin.testa codice 0	Vin.piede codice 0; 0; 1
Palo n. 1	Asc. X' cm 0,0	Ord. Y' cm 0,0										
Elemer X elem. cm 700,0	nto: 377 Y elem. cm 700,0	- Palo si Prof. cm 200,0	ngolo - T Base cm 0,0	ipologia p Lungh. cm 0,0	Altez. cm 400,0	Rot. Gradi° 0,00	Grup.ap. n. 377	Ind.strat. n. 001				
Dia. P. cm 100,0	Lun. P. cm 3000,0	Lun. L. cm 0,0	Dist.P. cm 0,0	In. Px cm 0,0	In. Py cm 0,0	Dia. B. cm 0,0	Lun. B. cm 0,0	E.C.V. 1,00	E.C.C. 1,00	E.C.T. 1,00	Svin.testa codice 0	Vin.piede codice 0; 0; 1
Palo n. 1	Asc. X' cm 0,0	Ord. Y' cm 0,0										

8.7. Dati geometrici degli elementi costituenti le fondazioni superficiali

Elemento	Tipologia	ld.Strat.	Prof. Fon.	Dia. Eq.	Spessore cm	Superficie cm ²	Vertici n. per elem.	Macro n.
Platea n. 1	Platea	001	200.000	112.838	400.000	10000.000	4	1
Platea n. 2	Platea	001	200.000	112.838	400.000	10000.000	4	1
Platea n. 3	Platea	001	200.000	112.838	400.000	10000.000	4	1
Platea n. 4	Platea	001	200.000	112.838	400.000	10000.000	4	1
Platea n. 5	Platea	001	200.000	112.838	400.000	10000.000	4	1
Platea n. 6	Platea	001	200.000	112.838	400.000	10000.000	4	1
Platea n. 7	Platea	001	200.000	112.838	400.000	10000.000	4	1
Platea n. 8	Platea	001	200.000	112.838	400.000	10000.000	4	1
Platea n. 9	Platea	001	200.000	112.838	400.000	10000.000	4	1
Platea n. 10	Platea	001	200.000	112.838	400.000	10000.000	4	1
Platea n. 11	Platea	001	200.000	112.838	400.000	10000.000	4	1
Platea n. 12	Platea	001	200.000	112.838	400.000	10000.000	4	1
Platea n. 13	Platea	001	200.000	112.838	400.000	10000.000	4	1
Platea n. 14	Platea	001	200.000	112.838	400.000	10000.000	4	1
Platea n. 15	Platea	001	200.000	112.838	400.000	10000.000	4	1
Platea n. 16	Platea	001	200.000	112.838	400.000	10000.000	4	1
Platea n. 17	Platea	001	200.000	112.838	400.000	10000.000	4	1
Platea n. 18	Platea	001	200.000	112.838	400.000	10000.000	4	1
Platea n. 19	Platea	001	200.000	112.838	400.000	10000.000	4	1
Platea n. 20	Platea	001	200.000	112.838	400.000	10000.000	4	1
Platea n. 21	Platea	001	200.000	112.838	400.000	10000.000	4	1
Platea n. 22	Platea	001	200.000	112.838	400.000	10000.000	4	1

PHEEDRA SrI Servizi di Ingegneria Integrata Via Lago di Nemi, 90 74121 – Taranto (Italy) Tel. +39.099.7722302 – Fax: +39.099.9870285	RELAZIONE GEOTECNICA	Pagina 39 di 60
Tel. +39.099.7722302 - Fax: +39.099.9870285		
Email: info@pheedra.it - web: www.pheedra.it		

Committente: Green Energy			PROGETTO PER PARCO EOLICO NEL			та		Nome de
Corso Europa 1 20122 Milano (I			(TA) NELLA LOCAL				CST-	CIV-REL-026
20122 Milano (1	ivii)							OIV IVEE 020
Platea n. 23	Platea	001	200.000	112.838	400.000	10000.000	4	1
Platea n. 24	Platea	001	200.000	112.838	400.000	10000.000	4	1
Platea n. 25	Platea	001	200.000	112.838	400.000	10000.000	4	1
latea n. 26	Platea	001	200.000	112.838	400.000	10000.000	4	1
latea n. 27	Platea	001	200.000	112.838	400.000	10000.000	4	1
latea n. 28	Platea	001	200.000	112.838	400.000	10000.000	4	1
latea n. 29	Platea	001	200.000	112.838	400.000	10000.000	4	1
latea n. 30	Platea	001	200.000	112.838	400.000	10000.000	4	1
latea n. 31	Platea	001	200.000	112.838	400.000	10000.000	4	1
latea n. 32	Platea	001	200.000	112.838	400.000	10000.000	4	1
latea n. 33	Platea	001	200.000	112.838	400.000	10000.000	4	1
latea n. 34	Platea	001	200.000	112.838	400.000	10000.000	4	1
latea n. 35	Platea	001	200.000	112.838	400.000	10000.000	4	1
latea n. 36	Platea	001	200.000	112.838	400.000	10000.000	4	1
latea n. 37	Platea	001	200.000	112.838	400.000	10000.000	4	1
latea n. 38	Platea	001	200.000	112.838	400.000	10000.000	4	1
latea n. 39	Platea	001	200.000	112.838	400.000	10000.000	4	1
latea n. 40	Platea	001	200.000	112.838	400.000	10000.000	4	1
Platea n. 41	Platea	001	200.000	112.838	400.000	10000.000	4	1
latea n. 42	Platea	001	200.000	112.838	400.000	10000.000	4	1
Platea n. 43	Platea	001	200.000	112.838	400.000	10000.000	4	1
Platea n. 44	Platea	001	200.000	112.838	400.000	10000.000	4	1
Platea n. 45	Platea	001	200.000	112.838	400.000	10000.000	4	1
Platea n. 46	Platea	001	200.000	112.838	400.000	10000.000	4	1
Platea n. 47	Platea	001	200.000	112.838	400.000	10000.000	4	1
Platea n. 48	Platea	001	200.000	112.838	400.000	10000.000	4	1
Platea n. 49	Platea	001	200.000	112.838	400.000	10000.000	4	1
Platea n. 50	Platea	001	200.000	112.838	400.000	10000.000	4	1
Platea n. 51	Platea	001	200.000	112.838	400.000	10000.000	4	1
Platea n. 52	Platea	001	200.000	112.838	400.000	10000.000	4	1
Platea n. 53	Platea	001	200.000	112.838	400.000	10000.000	4	1
Platea n. 54	Platea	001	200.000	112.838	400.000	10000.000	4	1
Platea n. 55	Platea	001	200.000	112.838	400.000	10000.000	4	1
Platea n. 56	Platea	001	200.000	112.838	400.000	10000.000	4	1
Platea n. 57	Platea	001	200.000	112.838	400.000	10000.000	4	1
Platea n. 58	Platea	001	200.000	112.838		10000.000	4	1
Platea n. 59	Platea	001	200.000	112.838	400.000		4	1
					400.000	10000.000	4	1
Platea n. 60	Platea	001	200.000	112.838 112.838	400.000 400.000	10000.000		1
Platea n. 61 Platea n. 62	Platea	001	200.000			10000.000	4	1
	Platea	001	200.000	112.838	400.000	10000.000	4	· ·
Platea n. 63	Platea	001	200.000	112.838	400.000	10000.000	4	1
Platea n. 64	Platea	001	200.000	112.838	400.000	10000.000	4	1
Platea n. 65	Platea	001	200.000	112.838	400.000	10000.000	4	1
Platea n. 66	Platea	001	200.000	112.838	400.000	10000.000	4	1
Platea n. 67	Platea	001	200.000	112.838	400.000	10000.000	4	1
Platea n. 68	Platea	001	200.000	112.838	400.000	10000.000	4	1
Platea n. 69	Platea	001	200.000	112.838	400.000	10000.000	4	1
Platea n. 70	Platea	001	200.000	112.838	400.000	10000.000	4	1
Platea n. 71	Platea	001	200.000	112.838	400.000	10000.000	4	1
Platea n. 72	Platea	001	200.000	112.838	400.000	10000.000	4	1
Platea n. 73	Platea	001	200.000	112.838	400.000	10000.000	4	1
Platea n. 74	Platea	001	200.000	112.838	400.000	10000.000	4	1
Platea n. 75	Platea	001	200.000	112.838	400.000	10000.000	4	1
latea n. 76	Platea	001	200.000	112.838	400.000	10000.000	4	1
Platea n. 77	Platea	001	200.000	112.838	400.000	10000.000	4	1
Platea n. 78	Platea	001	200.000	112.838	400.000	10000.000	4	1
Platea n. 79	Platea	001	200.000	112.838	400.000	10000.000	4	1
Platea n. 80	Platea	001	200.000	112.838	400.000	10000.000	4	1
Platea n. 81	Platea	001	200.000	112.838	400.000	10000.000	4	1
latea n. 82	Platea	001	200.000	112.838	400.000	10000.000	4	1
Platea n. 83	Platea	001	200.000	112.838	400.000	10000.000	4	1
Platea n. 84	Platea	001	200.000	112.838	400.000	10000.000	4	1
Platea n. 85	Platea	001	200.000	112.838	400.000	10000.000	4	1
Platea n. 86	Platea	001	200.000	112.838	400.000	10000.000	4	1
Platea n. 87	Platea	001	200.000	112.838	400.000	10000.000	4	1
latea n. 88	Platea	001	200.000	112.838	400.000	10000.000	4	1
Platea n. 89	Platea	001	200.000	112.838	400.000	10000.000	4	1
Platea n. 90	Platea	001	200.000	112.838	400.000	10000.000	4	1
Platea n. 91	Platea	001	200.000	112.838	400.000	10000.000	4	1
Platea n. 92	Platea	001	200.000	112.838	400.000	10000.000	4	1
PHEEDRA SrI Servizi di Ingegn Via Lago di Nemi, 90 74121 – Taranto (Italy Tel. +39.099.7722302	y)	870285	RELAZIOI	NE GEOTECI	NICA		Pagir	na 40 di 60

Committente: Green Energy			PROGETTO PER PARCO EOLICO NEL			TA		Nome de
Corso Europa 1 20122 Milano (N			(TA) NELLA LOCAL				CST-0	CIV-REL-026
`	,					•		
Platea n. 93	Platea	001	200.000	112.838	400.000	10000.000	4	1
latea n. 94	Platea	001	200.000	112.838	400.000	10000.000	4	1
latea n. 95	Platea	001	200.000	112.838	400.000	10000.000	4	1
latea n. 96	Platea	001	200.000	112.838	400.000	10000.000	4	1
latea n. 97	Platea	001	200.000	112.838	400.000	10000.000	4	1
atea n. 98	Platea	001	200.000	112.838	400.000	10000.000	4	1
atea n. 99	Platea	001	200.000	112.838	400.000	10000.000	4	1
atea n. 100	Platea	001	200.000	112.838	400.000	10000.000	4	1
atea n. 101	Platea	001	200.000	112.838	400.000	10000.000	4	1
atea n. 102	Platea	001	200.000	112.838	400.000	10000.000	4	1
atea n. 103	Platea	001	200.000	112.838	400.000	10000.000	4	1
atea n. 104	Platea	001	200.000	112.838	400.000	10000.000	4	1
atea n. 105	Platea	001	200.000	112.838	400.000	10000.000	4	1
atea n. 106	Platea	001	200.000	112.838	400.000	10000.000	4	1
atea n. 107	Platea	001	200.000	112.838	400.000	10000.000	4	1
atea n. 108	Platea	001	200.000	112.838	400.000	10000.000	4	1
atea n. 109	Platea	001	200.000	112.838	400.000	10000.000	4	1
atea n. 110	Platea	001	200.000	112.838	400.000	10000.000	4	1
atea n. 111	Platea	001	200.000	112.838	400.000	10000.000	4	1
atea n. 112	Platea	001	200.000	112.838	400.000	10000.000	4	1
atea n. 113	Platea	001	200.000	112.838	400.000	10000.000	4	1
atea n. 114	Platea	001	200.000	112.838	400.000	10000.000	4	1
atea n. 115	Platea	001	200.000	112.838	400.000	10000.000	4	1
atea n. 116	Platea	001	200.000	112.838	400.000	10000.000	4	1
atea n. 117	Platea	001	200.000	112.838	400.000	10000.000	4	1
atea n. 118	Platea	001	200.000	112.838	400.000	10000.000	4	1
atea n. 119	Platea	001	200.000	112.838	400.000	10000.000	4	1
atea n. 120	Platea	001	200.000	112.838	400.000	10000.000	4	1
atea n. 121	Platea	001	200.000	112.838	400.000	10000.000	4	1
atea n. 122	Platea	001	200.000	112.838	400.000	10000.000	4	1
atea n. 123	Platea	001	200.000	112.838	400.000	10000.000	4	1
atea n. 124	Platea	001	200.000	112.838	400.000	10000.000	4	1
atea n. 125	Platea	001	200.000	112.838	400.000	10000.000	4	1
atea n. 126	Platea	001	200.000	112.838	400.000	10000.000	4	1
atea n. 127	Platea	001	200.000	112.838	400.000	10000.000	4	1
atea n. 128	Platea	001	200.000	112.838	400.000	10000.000	4	1
atea n. 129	Platea	001	200.000	112.838	400.000	10000.000	4	i
atea n. 130	Platea	001	200.000	112.838	400.000	10000.000	4	1
atea n. 131	Platea	001	200.000	112.838	400.000	10000.000	4	i 1
atea n. 132	Platea	001	200.000	112.838	400.000	10000.000	4	i
atea n. 133	Platea	001	200.000	112.838	400.000	10000.000	4	1
atea n. 134	Platea	001	200.000	112.838	400.000	10000.000	4	1
atea n. 135	Platea	001	200.000	112.838	400.000	10000.000	4	1
atea n. 136	Platea	001	200.000	112.838	400.000	10000.000	4	1
atea n. 137	Platea	001	200.000	112.838	400.000	10000.000	4	1
atea n. 138	Platea	001	200.000	112.838	400.000	10000.000	4	1
atea n. 139	Platea	001	200.000 200.000	112.838	400.000 400.000	10000.000 10000.000	4	1 1
atea n. 140	Platea	001		112.838			4	
atea n. 141	Platea	001	200.000	112.838	400.000	10000.000	4	1
atea n. 142	Platea	001	200.000	112.838	400.000	10000.000	4	1
atea n. 143	Platea	001	200.000	112.838	400.000	10000.000	4	1
atea n. 144	Platea	001	200.000	112.838	400.000	10000.000	4	1
atea n. 145	Platea	001	200.000	112.838	400.000	10000.000	4	1
atea n. 146	Platea	001	200.000	112.838	400.000	10000.000	4	1
atea n. 147	Platea	001	200.000	112.838	400.000	10000.000	4	1
atea n. 148	Platea	001	200.000	112.838	400.000	10000.000	4	1
atea n. 149	Platea	001	200.000	112.838	400.000	10000.000	4	1
atea n. 150	Platea	001	200.000	112.838	400.000	10000.000	4	1
atea n. 151	Platea	001	200.000	112.838	400.000	10000.000	4	1
atea n. 152	Platea	001	200.000	112.838	400.000	10000.000	4	1
atea n. 153	Platea	001	200.000	112.838	400.000	10000.000	4	1
atea n. 154	Platea	001	200.000	112.838	400.000	10000.000	4	1
atea n. 155	Platea	001	200.000	112.838	400.000	10000.000	4	1
atea n. 156	Platea	001	200.000	112.838	400.000	10000.000	4	1
atea n. 157	Platea	001	200.000	112.838	400.000	10000.000	4	1
atea n. 158	Platea	001	200.000	112.838	400.000	10000.000	4	1
atea n. 159	Platea	001	200.000	112.838	400.000	10000.000	4	1
atea n. 160	Platea	001	200.000	112.838	400.000	10000.000	4	1
atea n. 161	Platea	001	200.000	112.838	400.000	10000.000	4	1
latea n. 162	Platea	001	200.000	112.838	400.000	10000.000	4	1
PHEEDRA Srl Servizi di Ingegn /ia Lago di Nemi, 90 '4121 – Taranto (Italy	•		RELAZIO	NE GEOTECI	NICA		Pagir	na 41 di 60

Committente: Green Energy Corso Europa 1			PROGETTO PER PARCO EOLICO NEL	COMUNE DI	CASTELLANE			Nome del file
20122 Milano (N			(TA) NELLA LOCALI	TA' "PEZZA L	DEL DRAGONE	<u>-</u> "	CST-	CIV-REL-026 _01
Platea n. 163	Platea	001	200.000	112.838	400.000	10000.000	4	1
Platea n. 164	Platea	001	200.000	112.838	400.000	10000.000	4	1
Platea n. 165 Platea n. 166	Platea Platea	001 001	200.000 200.000	112.838 112.838	400.000 400.000	10000.000 10000.000	4 4	1 1
Platea n. 167	Platea	001	200.000	112.838	400.000	10000.000	4	1
Platea n. 168	Platea	001	200.000	112.838	400.000	10000.000	4	1
Platea n. 169	Platea	001	200.000	112.838	400.000	10000.000	4	1
Platea n. 170	Platea	001	200.000	112.838	400.000	10000.000	4	1
Platea n. 171	Platea	001	200.000	112.838	400.000	10000.000	4	1
Platea n. 172	Platea	001	200.000	112.838	400.000	10000.000	4	1
Platea n. 173	Platea	001	200.000	112.838	400.000	10000.000	4	1
Platea n. 174	Platea	001	200.000	112.838	400.000	10000.000	4	1
Platea n. 175 Platea n. 176	Platea Platea	001 001	200.000 200.000	112.838 112.838	400.000	10000.000	4 4	1 1
Platea n. 177	Platea	001	200.000	112.838	400.000 400.000	10000.000 10000.000	4	1
Platea n. 178	Platea	001	200.000	112.838	400.000	10000.000	4	1
Platea n. 179	Platea	001	200.000	112.838	400.000	10000.000	4	1
Platea n. 180	Platea	001	200.000	112.838	400.000	10000.000	4	1
Platea n. 181	Platea	001	200.000	112.838	400.000	10000.000	4	1
Platea n. 182	Platea	001	200.000	112.838	400.000	10000.000	4	1
Platea n. 183	Platea	001	200.000	112.838	400.000	10000.000	4	1
Platea n. 184	Platea	001	200.000	112.838	400.000	10000.000	4	1 1
Platea n. 185 Platea n. 186	Platea Platea	001 001	200.000 200.000	112.838 112.838	400.000 400.000	10000.000 10000.000	4 4	1 1
Platea n. 187	Platea	001	200.000	112.838	400.000	10000.000	4	1
Platea n. 188	Platea	001	200.000	112.838	400.000	10000.000	4	1
Platea n. 189	Platea	001	200.000	112.838	400.000	10000.000	4	1
Platea n. 190	Platea	001	200.000	112.838	400.000	10000.000	4	1
Platea n. 191	Platea	001	200.000	112.838	400.000	10000.000	4	1
Platea n. 192	Platea	001	200.000	112.838	400.000	10000.000	4	1
Platea n. 193	Platea	001	200.000	112.838	400.000	10000.000	4	1
Platea n. 194	Platea	001	200.000	112.838	400.000	10000.000	4	1
Platea n. 195 Platea n. 196	Platea Platea	001 001	200.000 200.000	112.838 112.838	400.000 400.000	10000.000 10000.000	4 4	1 1
Platea n. 197	Platea	001	200.000	112.838	400.000	10000.000	4	1
Platea n. 198	Platea	001	200.000	112.838	400.000	10000.000	4	1
Platea n. 199	Platea	001	200.000	112.838	400.000	10000.000	4	1
Platea n. 200	Platea	001	200.000	112.838	400.000	10000.000	4	1
Platea n. 201	Platea	001	200.000	112.838	400.000	10000.000	4	1
Platea n. 202	Platea	001	200.000	112.838	400.000	10000.000	4	1
Platea n. 203	Platea	001	200.000	112.838	400.000	10000.000	4	1
Platea n. 204	Platea	001	200.000 200.000	112.838 112.838	400.000 400.000	10000.000	4	1
Platea n. 205 Platea n. 206	Platea Platea	001 001	200.000	112.838	400.000	10000.000 10000.000	4 4	1
Platea n. 207	Platea	001	200.000	112.838	400.000	10000.000	4	1
Platea n. 208	Platea	001	200.000	112.838	400.000	10000.000	4	1
Platea n. 209	Platea	001	200.000	112.838	400.000	10000.000	4	1
Platea n. 210	Platea	001	200.000	112.838	400.000	10000.000	4	1
Platea n. 211	Platea	001	200.000	112.838	400.000	10000.000	4	1
Platea n. 212	Platea	001	200.000	112.838	400.000	10000.000	4	1
Platea n. 213	Platea	001	200.000	112.838	400.000	10000.000	4	1 1
Platea n. 214 Platea n. 215	Platea Platea	001 001	200.000 200.000	112.838 112.838	400.000 400.000	10000.000 10000.000	4 4	1
Platea n. 216	Platea	001	200.000	112.838	400.000	10000.000	4	1
Platea n. 217	Platea	001	200.000	112.838	400.000	10000.000	4	1
Platea n. 218	Platea	001	200.000	112.838	400.000	10000.000	4	1
Platea n. 219	Platea	001	200.000	112.838	400.000	10000.000	4	1
Platea n. 220	Platea	001	200.000	112.838	400.000	10000.000	4	1
Platea n. 221	Platea	001	200.000	112.838	400.000	10000.000	4	1
Platea n. 222	Platea	001	200.000	112.838	400.000	10000.000	4	1
Platea n. 223 Platea n. 224	Platea Platea	001 001	200.000 200.000	112.838 112.838	400.000 400.000	10000.000 10000.000	4 4	1 1
Platea n. 225	Platea	001	200.000	112.838	400.000	10000.000	4	1
Platea n. 226	Platea	001	200.000	112.838	400.000	10000.000	4	1
Platea n. 227	Platea	001	200.000	112.838	400.000	10000.000	4	1
Platea n. 228	Platea	001	200.000	112.838	400.000	10000.000	4	1
Platea n. 229	Platea	001	200.000	112.838	400.000	10000.000	4	1
Platea n. 230	Platea	001	200.000	112.838	400.000	10000.000	4	1
Platea n. 231	Platea	001	200.000	112.838	400.000	10000.000	4	1
Platea n. 232	Platea	001	200.000	112.838	400.000	10000.000	4	1
PHEEDRA SrI Servizi di Ingegn Via Lago di Nemi, 90 74121 – Taranto (Italy Tel. +39.099.7722302 Email: info@pheedra.i) – Fax: +39.099.9	9870285	Relazioi	NE GEOTECI	NICA		Pagii	na 42 di 60

Committente: Green Energy			PROGETTO PER PARCO EOLICO NEL			ТА		Nome de
Corso Europa 1 20122 Milano (N			(TA) NELLA LOCAL				CST-	CIV-REL-026
20122 Miliano (r	VII)						001	OIV-IXEE-020_
Platea n. 233	Platea	001	200.000	112.838	400.000	10000.000	4	1
Platea n. 234	Platea	001	200.000	112.838	400.000	10000.000	4	1
Platea n. 235	Platea	001	200.000	112.838	400.000	10000.000	4	1
Platea n. 236	Platea	001	200.000	112.838	400.000	10000.000	4	1
latea n. 237	Platea	001	200.000	112.838	400.000	10000.000	4	1
latea n. 238	Platea	001	200.000	112.838	400.000	10000.000	4	1
latea n. 239	Platea	001	200.000	112.838	400.000	10000.000	4	1
latea n. 240	Platea	001	200.000	112.838	400.000	10000.000	4	1 1
latea n. 241 latea n. 242	Platea Platea	001 001	200.000 200.000	112.838 112.838	400.000 400.000	10000.000 10000.000	4 4	1
latea n. 243	Platea	001	200.000	112.838	400.000	10000.000	4	1
latea n. 244	Platea	001	200.000	112.838	400.000	10000.000	4	1
latea n. 245	Platea	001	200.000	112.838	400.000	10000.000	4	1
latea n. 246	Platea	001	200.000	112.838	400.000	10000.000	4	1
Platea n. 247	Platea	001	200.000	112.838	400.000	10000.000	4	1
latea n. 248	Platea	001	200.000	112.838	400.000	10000.000	4	1
Platea n. 249	Platea	001	200.000	112.838	400.000	10000.000	4	1
latea n. 250	Platea	001	200.000	112.838	400.000	10000.000	4	1
latea n. 251	Platea	001	200.000	112.838	400.000	10000.000	4	1
Platea n. 252	Platea	001	200.000	112.838	400.000	10000.000	4	1
Platea n. 253	Platea	001	200.000	112.838	400.000	10000.000	4	1
Platea n. 254	Platea	001	200.000	112.838	400.000	10000.000	4	1
Platea n. 255	Platea	001	200.000	112.838	400.000	10000.000	4	1 1
Platea n. 256 Platea n. 257	Platea	001 001	200.000	112.838 112.838	400.000	10000.000	4 4	1
Platea n. 258	Platea Platea	001	200.000 200.000	112.838	400.000 400.000	10000.000 10000.000	4	1
Platea n. 259	Platea	001	200.000	112.838	400.000	10000.000	4	1
Platea n. 260	Platea	001	200.000	112.838	400.000	10000.000	4	1
Platea n. 261	Platea	001	200.000	112.838	400.000	10000.000	4	1
Platea n. 262	Platea	001	200.000	112.838	400.000	10000.000	4	1
Platea n. 263	Platea	001	200.000	112.838	400.000	10000.000	4	1
Platea n. 264	Platea	001	200.000	112.838	400.000	10000.000	4	1
Platea n. 265	Platea	001	200.000	112.838	400.000	10000.000	4	1
Platea n. 266	Platea	001	200.000	112.838	400.000	10000.000	4	1
Platea n. 267	Platea	001	200.000	112.838	400.000	10000.000	4	1
Platea n. 268	Platea	001	200.000	112.838	400.000	10000.000	4	1
Platea n. 269	Platea	001	200.000	112.838	400.000	10000.000	4	1
Platea n. 270	Platea	001	200.000	112.838	400.000	10000.000	4	1
Platea n. 271	Platea	001	200.000	112.838	400.000	10000.000	4	1
Platea n. 272	Platea	001	200.000	112.838	400.000	10000.000	4	1
Platea n. 273 Platea n. 274	Platea Platea	001 001	200.000 200.000	112.838 112.838	400.000 400.000	10000.000 10000.000	4 4	1
Platea n. 275	Platea	001	200.000	112.838	400.000	10000.000	4	1
Platea n. 276	Platea	001	200.000	112.838	400.000	10000.000	4	1
Platea n. 277	Platea	001	200.000	112.838	400.000	10000.000	4	1
Platea n. 278	Platea	001	200.000	112.838	400.000	10000.000	4	1
Platea n. 279	Platea	001	200.000	112.838	400.000	10000.000	4	1
Platea n. 280	Platea	001	200.000	112.838	400.000	10000.000	4	1
Platea n. 281	Platea	001	200.000	112.838	400.000	10000.000	4	1
Platea n. 282	Platea	001	200.000	112.838	400.000	10000.000	4	1
Platea n. 283	Platea	001	200.000	112.838	400.000	10000.000	4	1
Platea n. 284	Platea	001	200.000	112.838	400.000	10000.000	4	1
Platea n. 285	Platea	001	200.000	112.838	400.000	10000.000	4	1
Platea n. 286	Platea	001	200.000	112.838	400.000	10000.000	4	1
Platea n. 287	Platea	001	200.000	112.838	400.000	10000.000	4	1
Platea n. 288	Platea	001	200.000	112.838	400.000	10000.000	4	1
Platea n. 289 Platea n. 290	Platea Platea	001 001	200.000	112.838	400.000	10000.000	4	1 1
Platea n. 290 Platea n. 291	Platea Platea	001	200.000 200.000	112.838 112.838	400.000 400.000	10000.000 10000.000	4 4	1
Platea n. 292	Platea	001	200.000	112.838	400.000	10000.000	4	1
Platea n. 293	Platea	001	200.000	112.838	400.000	10000.000	4	1
Platea n. 294	Platea	001	200.000	112.838	400.000	10000.000	4	1
Platea n. 295	Platea	001	200.000	112.838	400.000	10000.000	4	1
Platea n. 296	Platea	001	200.000	112.838	400.000	10000.000	4	1
Platea n. 297	Platea	001	200.000	112.838	400.000	10000.000	4	1
Platea n. 298	Platea	001	200.000	112.838	400.000	10000.000	4	1
Platea n. 299	Platea	001	200.000	112.838	400.000	10000.000	4	1
Platea n. 300	Platea	001	200.000	112.838	400.000	10000.000	4	1
Platea n. 301	Platea	001	200.000	112.838	400.000	10000.000	4	1
Platea n. 302	Platea	001	200.000	112.838	400.000	10000.000	4	1
PHEEDRA SrI Servizi di Ingegn Via Lago di Nemi, 90 74121 – Taranto (Italy Tel. +39.099.7722302)	870285	RELAZIO	NE GEOTEC	NICA		Pagii	na 43 di 60

Committente: Breen Energy			PROGETTO PER PARCO EOLICO NEL			та		Nome de
Corso Europa 1 20122 Milano (I			(TA) NELLA LOCAL				CST-0	CIV-REL-026
OTZZ WIIIANO (1	VII)							
latea n. 303	Platea	001	200.000	112.838	400.000	10000.000	4	1
latea n. 304	Platea	001	200.000	112.838	400.000	10000.000	4	1
latea n. 305	Platea	001	200.000	112.838	400.000	10000.000	4	1
latea n. 306	Platea	001	200.000	112.838	400.000	10000.000	4	1
latea n. 307	Platea	001	200.000	112.838	400.000	10000.000	4	1
latea n. 308	Platea	001	200.000	112.838	400.000	10000.000	4	1
latea n. 309	Platea	001	200.000	112.838	400.000	10000.000	4	1
latea n. 310	Platea	001	200.000	112.838	400.000	10000.000	4	1
latea n. 311	Platea	001	200.000	112.838	400.000	10000.000	4	1
atea n. 312	Platea	001	200.000	112.838	400.000	10000.000	4	1
atea n. 313	Platea	001	200.000	112.838	400.000	10000.000	4	1
atea n. 314	Platea	001	200.000	112.838	400.000	10000.000	4	1
atea n. 315	Platea	001	200.000	112.838	400.000	10000.000	4	1
atea n. 316	Platea	001	200.000	112.838	400.000	10000.000	4	1
atea n. 317	Platea	001	200.000	112.838	400.000	10000.000	4	1
atea n. 318	Platea	001	200.000	112.838	400.000	10000.000	4	1
atea n. 319	Platea	001	200.000	112.838	400.000	10000.000	4	1
atea n. 320	Platea	001	200.000	112.838	400.000	10000.000	4	1
atea n. 321	Platea	001	200.000	112.838	400.000	10000.000	4	1
atea n. 322	Platea	001	200.000	112.838	400.000	10000.000	4	1
atea n. 323	Platea	001	200.000	112.838	400.000	10000.000	4	1
atea n. 324	Platea	001	200.000	112.838	400.000	10000.000	4	1
atea n. 325	Platea	001	200.000	112.838	400.000	10000.000	4	1
atea n. 326	Platea	001	200.000	112.838	400.000	10000.000	4	1
atea n. 327	Platea	001	200.000	112.838	400.000	10000.000	4	1
atea n. 328	Platea	001	200.000	112.838	400.000	10000.000	4	1
atea n. 329	Platea	001	200.000	112.838	400.000	10000.000	4	1
atea n. 330	Platea	001	200.000	112.838	400.000	10000.000	4	1
atea n. 331	Platea	001	200.000	112.838	400.000	10000.000	4	1
atea n. 332	Platea	001	200.000	112.838	400.000	10000.000	4	1
atea n. 333	Platea	001	200.000	112.838	400.000	10000.000	4	1
atea n. 334	Platea	001	200.000	112.838	400.000	10000.000	4	1
atea n. 335	Platea	001	200.000	112.838	400.000	10000.000	4	1
	Platea							1
atea n. 336		001	200.000 200.000	112.838	400.000	10000.000	4	1
atea n. 337	Platea	001		112.838	400.000	10000.000	4	1
atea n. 338	Platea	001	200.000	112.838	400.000	10000.000	4	1
atea n. 339	Platea	001	200.000	112.838	400.000	10000.000	4	1
atea n. 340	Platea	001	200.000	112.838	400.000	10000.000	4	1
atea n. 341	Platea	001	200.000	112.838	400.000	10000.000	4	1
atea n. 342	Platea	001	200.000	112.838	400.000	10000.000	4	1
atea n. 343	Platea	001	200.000	112.838	400.000	10000.000	4	1
atea n. 344	Platea	001	200.000	112.838	400.000	10000.000	4	1
atea n. 345	Platea	001	200.000	112.838	400.000	10000.000	4	1
atea n. 346	Platea	001	200.000	112.838	400.000	10000.000	4	1
atea n. 347	Platea	001	200.000	112.838	400.000	10000.000	4	1
atea n. 348	Platea	001	200.000	112.838	400.000	10000.000	4	1
atea n. 349	Platea	001	200.000	112.838	400.000	10000.000	4	1
atea n. 350	Platea	001	200.000	112.838	400.000	10000.000	4	1
atea n. 351	Platea	001	200.000	112.838	400.000	10000.000	4	1
atea n. 352	Platea	001	200.000	112.838	400.000	10000.000	4	1
atea n. 353	Platea	001	200.000	112.838	400.000	10000.000	4	1
atea n. 354	Platea	001	200.000	112.838	400.000	10000.000	4	1
atea n. 355	Platea	001	200.000	112.838	400.000	10000.000	4	1
atea n. 356	Platea	001	200.000	112.838	400.000	10000.000	4	1
atea n. 357	Platea	001	200.000	112.838	400.000	10000.000	4	1
atea n. 358	Platea	001	200.000	112.838	400.000	10000.000	4	1
atea n. 359	Platea	001	200.000	112.838	400.000	10000.000	4	1
atea n. 360	Platea	001	200.000	112.838	400.000	10000.000	4	1
atea n. 361	Platea	001	200.000	112.838	400.000	10000.000	4	1
atea n. 362	Platea	001	200.000	112.838	400.000	10000.000	4	1
atea n. 363	Platea	001	200.000	112.838	400.000	10000.000	4	1
atea n. 364	Platea	001	200.000	112.838	400.000	10000.000	4	1
atea n. 365	Platea	001	200.000	112.838	400.000	10000.000	4	1
atea n. 366	Platea	001	200.000	112.838	400.000	10000.000	4	1
atea n. 367	Platea	001	200.000	112.838	400.000	10000.000	4	1
atea n. 368	Platea	001	200.000	112.838	400.000	10000.000	4	1
atea n. 369	Platea	001	200.000	112.838	400.000	10000.000	4	1
atea n. 370	Platea	001	200.000	112.838	400.000	10000.000	4	1
atea n. 370 atea n. 371	Platea	001	200.000	112.838	400.000	10000.000	4	1
atea n. 371 atea n. 372	Platea Platea	001	200.000	112.838	400.000	10000.000	4	1
	ridled	UUI	200.000	112.030	400.000	10000.000	4	I
PHEEDRA SrI Servizi di Ingegn ia Lago di Nemi, 90 4121 – Taranto (Italy			RELAZIO	NE GEOTEC	NICA		Pagir	na 44 di 60

Committente: Green Energy	7 Srl		PROGETTO PER LA	A REALIZZA	ZIONE DI UN			Nome del file
Corso Europa		P	ARCO EOLICO NEL C	OMUNE DI	CASTELLANE	TA		
			(TA) NELLA LOCALIT.	A' "PEZZA D	EL DRAGON	≣"	CST-C	CIV-REL-026 01
20122 Milano (IVII)						001-0	314-IXEE-020_01
Platea n. 373	Platea	001	200.000	112.838	400.000	10000.000	4	1
Platea n. 374	Platea	001	200.000	112.838	400.000	10000.000	4	1
Platea n. 375	Platea	001	200.000	112.838	400.000	10000.000	4	1
Platea n. 376	Platea	001	200.000	112.838	400.000	10000.000	4	1
Platea n. 377	Platea	001	200.000	112.838	400.000	10000.000	4	1
Platea n. 378	Platea	001	200.000	112.838	400.000	10000.000	4	1
Platea n. 379	Platea	001	200.000	112.838	400.000	10000.000	4	1
Platea n. 380	Platea	001	200.000	112.838	400.000	10000.000	4	1
Platea n. 381	Platea	001	200.000	112.838	400.000	10000.000	4	1
Platea n. 382	Platea	001	200.000	112.838	400.000	10000.000	4	1
Platea n. 383	Platea	001	200.000	112.838	400.000	10000.000	4	1
Platea n. 384	Platea	001	200.000	112.838	400.000	10000.000	4	1
Platea n. 385	Platea	001	200.000	112.838	400.000	10000.000	4	1
Platea n. 386	Platea	001	200.000	112.838	400.000	10000.000	4	1
Platea n. 387	Platea	001	200.000	112.838	400.000	10000.000	4	1
Platea n. 388	Platea	001	200.000	112.838	400.000	10000.000	4	1
Platea n. 389	Platea	001	200.000	112.838	400.000	10000.000	4	1
Platea n. 390	Platea	001	200.000	112.838	400.000	10000.000	4	1
Platea n. 391	Platea	001	200.000	112.838	400.000	10000.000	4	1
Platea n. 392	Platea	001	200.000	112.838	400.000	10000.000	4	1
Platea n. 393	Platea	001	200.000	112.838	400.000	10000.000	4	1
Platea n. 394	Platea	001	200.000	112.838	400.000	10000.000	4	1
Platea n. 395	Platea	001	200.000	112.838	400.000	10000.000	4	1
Platea n. 396	Platea	001	200.000	112.838	400.000	10000.000	4	1
Platea n. 397	Platea	001	200.000	112.838	400.000	10000.000	4	1
Platea n. 398	Platea	001	200.000	112.838	400.000	10000.000	4	1
Platea n. 399	Platea	001	200.000	112.838	400.000	10000.000	4	1
Platea n. 400	Platea	001	200.000	112.838	400.000	10000.000	4	1
Elemento	Tipologia	ld.Strat		Base Eq.	Spessore	Lung. Eq.	_	Travata Eq.
n. Macro n. 1	Macro-Platea	001	cm 200.000	cm 1600.000	cm 400.000	cm 1600.000	cm 1600.0	00

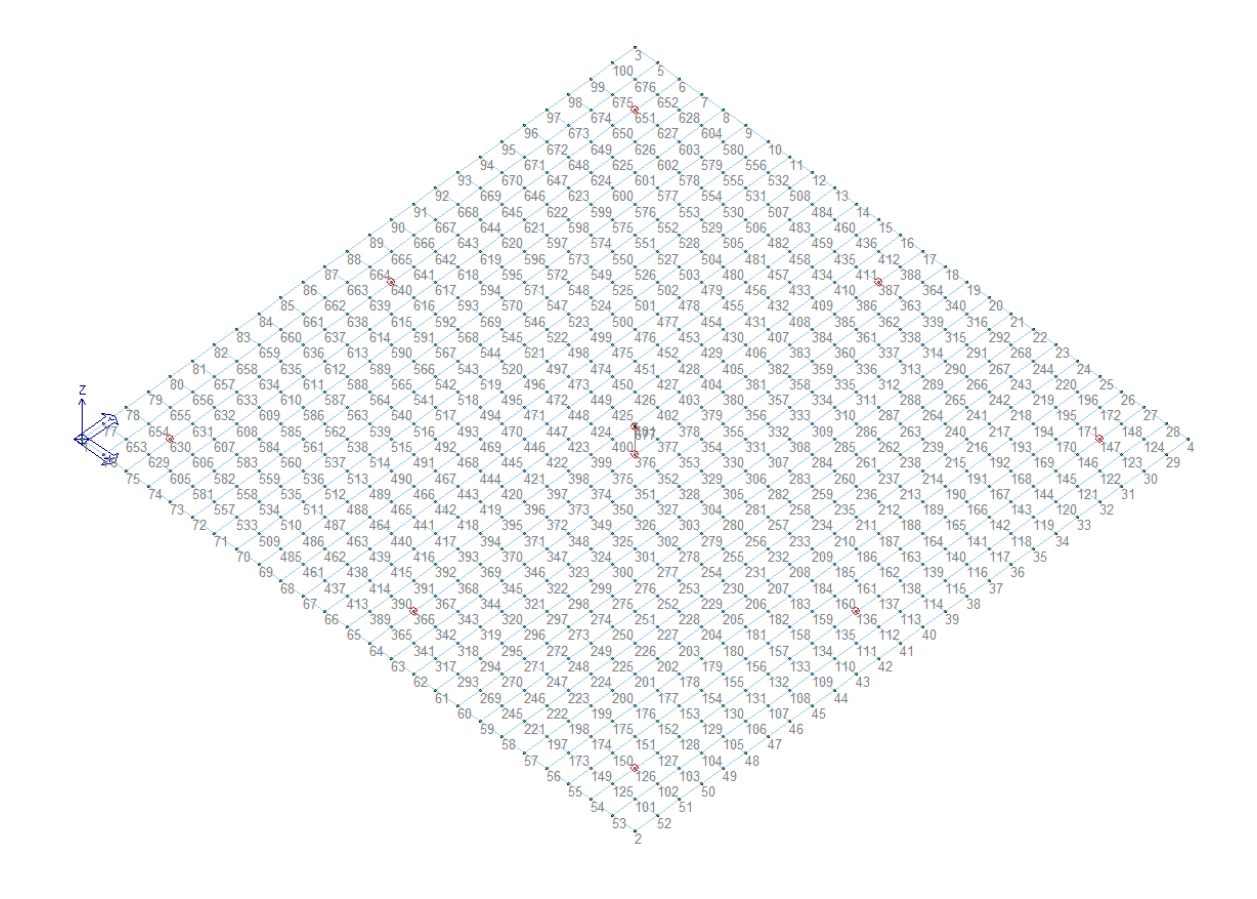


Figura 6 – Modello nodale platea di fondazione

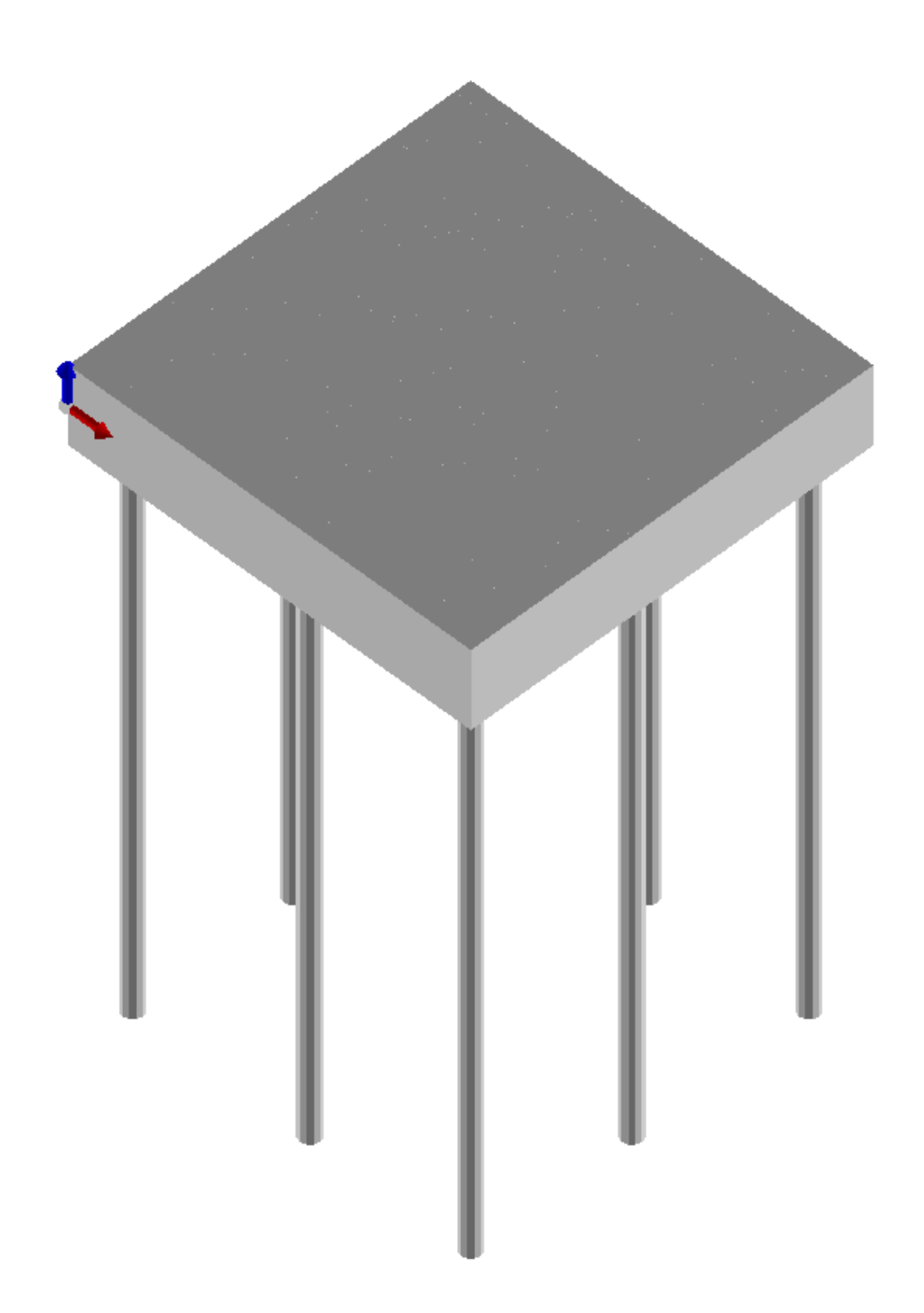


Figura 7 – Modello solido platea con pali di fondazione

PHEEDRA Srl		
Servizi di Ingegneria Integrata Via Lago di Nemi, 90	RELAZIONE GEOTECNICA	Pagina 47 di 60
74121 – Taranto (Italy) Tel. +39.099.7722302 – Fax: +39.099.9870285		. aga a. c c
Email: info@pheedra.it - web: www.pheedra.it		

Committente: Green Energy 7 SrI	PROGETTO PER LA REALIZZAZIONE DI UN PARCO EOLICO NEL COMUNE DI CASTELLANETA	Nome del file:
Corso Europa 13 20122 Milano (MI)	(TA) NELLA LOCALITA' "PEZZA DEL DRAGONE"	CST-CIV-REL-026 01

8.8. Valori di calcolo della portanza per fondazioni profonde

Elemento: 69 - Pa	lo singolo						
Nq = 25.573, σ ρι	unta = 7.16	$\phi = 38.0$), Nc = 31.	452, c pur	nta = 0.000		
Port. lat. = 107303						Man NI	01-1-
Cmb. Tipo n.	Palo n.	coord.X cm	coord.Y cm	N daN	N lim daN	Ver.N	Stato
005 SLU STR	1	0.000	0.000	-590900.0	-1117286.0	0,529	Ok
Sollecitazioni: Cmb Tipo	Sism.	N	Tx	Ту	Mx	My	
n.		daN	daN	daŇ	daN cm	daN cm	
005 SLU STR	No -5	590900.0	-97.4	6826.5	1514000.0	44540.0	
Elemento: 76 - Pa	lo singolo						
Nq = 25.573, σ ρι	ınta = 7.16	$68, \phi = 38.0$), $Nc = 31$.	452, c pur	nta = 0.000		
Port. lat. = 107303		•				N	04.4
Cmb. Tipo	Palo n.	coord.X cm	coord.Y cm	N daN	N lim daN	Ver.N	Stato
005 SLU STR	1	0.000	0.000	-595900.0	-1117286.0	0,533	Ok
Sollecitazioni: Cmb Tipo	Sism.	N	Tx	Ту	Mx	My	
n.		daN	daN	daŇ	daN cm	daN cm	
005 SLU STR	No -5	595900.0	0.0	6809.4	1505000.0	0.0	
Elemento: 83 - Pa	lo singolo						
Nq = 25.573, σ ρι	ınta = 7.16	$68, \phi = 38.0$), $Nc = 31$.	452, c pur	nta = 0.000		
Port. lat. = 107303		•					04.4
Cmb. Tipo n.	Palo n.	coord.X cm	coord.Y cm	N daN	N lim daN	Ver.N	Stato
005 SLU STR	1	0.000	0.000	-590900.0	-1117286.0	0,529	Ok
Sollecitazioni:							
Cmh Tine	Ciam	NI .	Tv	T.,	Mv	M	
Cmb Tipo n.	Sism.	N daN	Tx daN	Ty daN	Mx daN cm	My daN cm	
•				•		•	
n.	No -5	daN 590900.0	daN	daŇ	daN cm	daN cm	
n. 005 SLU STR	No -5	daN 590900.0	daN 97.4	daÑ 6826.5	daN cm 1514000.0	daN cm	
n. 005 SLU STR Elemento: 216 - F Nq = 25.573, Opt Port. lat. = 107303	No -5 Palo singolo unta = 7.16 8.0 daN, Po	daN 590900.0 ο 68, φ = 38.0 ort. punta = 14	daN 97.4), Nc = 31. 39704.0 daN	daŃ 6826.5 452, c pur , P.P.Palo =	daN cm 1514000.0 nta = 0.000 58904.9 daN	daN cm -44540.0	
n. 005 SLU STR Elemento: 216 - F Nq = 25.573, Opt Port. lat. = 107303 Cmb. Tipo	No -5 Palo singolo unta = 7.16 8.0 daN, Po Palo	daN 590900.0 δ 68, φ = 38.0 ort. punta = 14 coord.X	daN 97.4), Nc = 31. 39704.0 daN coord.Y	daŇ 6826.5 452, c pur , P.P.Palo = N	daN cm 1514000.0 nta = 0.000 58904.9 daN N lim	daN cm	Stato
n. 005 SLU STR Elemento: 216 - F Nq = 25.573, Opt Port. lat. = 107303	No -5 Palo singolo unta = 7.16 8.0 daN, Po	daN 590900.0 0 68, $\phi = 38.0$ ort. punta = 14 coord.X cm	daN 97.4), Nc = 31. 39704.0 daN coord.Y cm	daŇ 6826.5 452, c pur , P.P.Palo = N daN	daN cm 1514000.0 nta = 0.000 58904.9 daN	daN cm -44540.0 Ver.N	
n. 005 SLU STR Elemento: 216 - F Nq = 25.573, Opt Port. lat. = 107303 Cmb. Tipo n. 001 SLU STR Sollecitazioni:	No -5 Palo singolo unta = 7.16 8.0 daN, Po Palo n. 1	daN 590900.0 68, $\phi = 38.0$ ort. punta = 14 coord.X cm 0.000	daN 97.4 0, Nc = 31. 39704.0 daN coord.Y cm 0.000	daÑ 6826.5 452, c pur , P.P.Palo = N daN -598100.0	daN cm 1514000.0 nta = 0.000 58904.9 daN N lim daN -1117286.0	daN cm -44540.0 Ver.N 0,535	Stato Ok
n. 005 SLU STR Elemento: 216 - F Nq = 25.573, Opt Port. lat. = 107303 Cmb. Tipo n. 001 SLU STR Sollecitazioni: Cmb Tipo	No -5 Palo singolo unta = 7.16 8.0 daN, Po Palo n.	daN 590900.0 68, $\phi = 38.0$ ort. punta = 14 coord.X cm 0.000	daN 97.4), Nc = 31. 39704.0 daN coord.Y cm 0.000	daÑ 6826.5 452, c pur , P.P.Palo = N daN -598100.0	daN cm 1514000.0 nta = 0.000 58904.9 daN N lim daN -1117286.0	daN cm -44540.0 Ver.N 0,535	
n. 005 SLU STR Elemento: 216 - F Nq = 25.573, Opt Port. lat. = 107303 Cmb. Tipo n. 001 SLU STR Sollecitazioni:	No -5 Palo singolo Unta = 7.16 8.0 daN, Po Palo n. 1 Sism.	daN 590900.0 68, $\phi = 38.0$ ort. punta = 14 coord.X cm 0.000	daN 97.4 0, Nc = 31. 39704.0 daN coord.Y cm 0.000	daÑ 6826.5 452, c pur , P.P.Palo = N daN -598100.0	daN cm 1514000.0 nta = 0.000 58904.9 daN N lim daN -1117286.0	daN cm -44540.0 Ver.N 0,535	
n. 005 SLU STR Elemento: 216 - F Nq = 25.573, Opt Port. lat. = 107303 Cmb. Tipo n. 001 SLU STR Sollecitazioni: Cmb Tipo n.	No -5 Palo singolo unta = 7.16 8.0 daN, Po Palo n. 1 Sism.	daN 590900.0 0 68, $\phi = 38.0$ ort. punta = 14 coord.X cm 0.000 N daN 598100.0	daN 97.4), Nc = 31. 39704.0 daN coord.Y cm 0.000 Tx daN	daÑ 6826.5 452, c pur , P.P.Palo = N daN -598100.0 Ty daN	daN cm 1514000.0 nta = 0.000 58904.9 daN N lim daN -1117286.0 Mx daN cm	daN cm -44540.0 Ver.N 0,535 My daN cm	
n. 005 SLU STR Elemento: 216 - F Nq = 25.573, Opt Port. lat. = 107303 Cmb. Tipo n. 001 SLU STR Sollecitazioni: Cmb Tipo n. 001 SLU STR Elemento: 223 - F	No -5 Palo singolo unta = 7.16 8.0 daN, Po Palo n. 1 Sism. No -5	daN 590900.0 68, $\phi = 38.0$ ort. punta = 14 coord.X cm 0.000 N daN 598100.0	daN 97.4), Nc = 31. 39704.0 daN coord.Y cm 0.000 Tx daN -124.5	daÑ 6826.5 452, c pur , P.P.Palo = N daN -598100.0 Ty daN 11550.0	daN cm 1514000.0 nta = 0.000 58904.9 daN N lim daN -1117286.0 Mx daN cm 2601000.0	daN cm -44540.0 Ver.N 0,535 My daN cm	
n. 005 SLU STR Elemento: 216 - F Nq = 25.573, Opt Port. lat. = 107303 Cmb. Tipo n. 001 SLU STR Sollecitazioni: Cmb Tipo n. 001 SLU STR Elemento: 223 - F Nq = 25.573, Opt	No -5 Palo singolo unta = 7.16 8.0 daN, Po Palo n. 1 Sism. No -5 Palo singolo unta = 7.16	daN 590900.0 68, $\phi = 38.0$ ort. punta = 14 coord.X cm 0.000 N daN 598100.0	daN 97.4 0, Nc = 31. 39704.0 daN coord.Y cm 0.000 Tx daN -124.5	daÑ 6826.5 452, c pur , P.P.Palo = N daN -598100.0 Ty daN 11550.0	daN cm 1514000.0 nta = 0.000 58904.9 daN N lim daN -1117286.0 Mx daN cm 2601000.0	daN cm -44540.0 Ver.N 0,535 My daN cm	
n. 005 SLU STR Elemento: 216 - F Nq = 25.573, Opt Port. lat. = 107303 Cmb. Tipo n. 001 SLU STR Sollecitazioni: Cmb Tipo n. 001 SLU STR Elemento: 223 - F	No -5 Palo singolo unta = 7.16 8.0 daN, Po Palo n. 1 Sism. No -5 Palo singolo unta = 7.16	daN 590900.0 68, $\phi = 38.0$ ort. punta = 14 coord.X cm 0.000 N daN 598100.0	daN 97.4 0, Nc = 31. 39704.0 daN coord.Y cm 0.000 Tx daN -124.5	daÑ 6826.5 452, c pur , P.P.Palo = N daN -598100.0 Ty daN 11550.0 452, c pur , P.P.Palo = N	daN cm 1514000.0 nta = 0.000 58904.9 daN N lim daN -1117286.0 Mx daN cm 2601000.0 nta = 0.000 58904.9 daN N lim	daN cm -44540.0 Ver.N 0,535 My daN cm	
n. 005 SLU STR Elemento: 216 - F Nq = 25.573,	No -5 Palo singolo unta = 7.16 8.0 daN, Po Palo n. 1 Sism. No -5 Palo singolo unta = 7.16 8.0 daN, Po Palo n.	daN 590900.0 68, $\phi = 38.0$ cort. punta = 14 coord.X cm 0.000 N daN 598100.0 68, $\phi = 38.0$ cort. punta = 14 coord.X cm	daN 97.4 0, Nc = 31. 39704.0 daN coord.Y cm 0.000 Tx daN -124.5 0, Nc = 31. 39704.0 daN coord.Y cm	daÑ 6826.5 452, c pur , P.P.Palo = N daN -598100.0 Ty daN 11550.0 452, c pur , P.P.Palo = N daN	daN cm 1514000.0 nta = 0.000 58904.9 daN N lim daN -1117286.0 Mx daN cm 2601000.0 nta = 0.000 58904.9 daN N lim daN	daN cm -44540.0 Ver.N 0,535 My daN cm 55990.0	Ok
n. 005 SLU STR Elemento: 216 - F Nq = 25.573, Opt Port. lat. = 107303 Cmb. Tipo n. 001 SLU STR Sollecitazioni: Cmb Tipo n. 001 SLU STR Elemento: 223 - F Nq = 25.573, Opt Port. lat. = 107303 Cmb. Tipo	No -5 Palo singolo unta = 7.16 8.0 daN, Po Palo n. 1 Sism. No -5 Palo singolo unta = 7.16 8.0 daN, Po Palo	daN 590900.0 68, $\phi = 38.0$ cort. punta = 14 coord.X cm 0.000 N daN 598100.0 68, $\phi = 38.0$ cort. punta = 14 coord.X	daN 97.4 0, Nc = 31. 39704.0 daN coord.Y cm 0.000 Tx daN -124.5 0, Nc = 31. 39704.0 daN coord.Y	daÑ 6826.5 452, c pur , P.P.Palo = N daN -598100.0 Ty daN 11550.0 452, c pur , P.P.Palo = N	daN cm 1514000.0 nta = 0.000 58904.9 daN N lim daN -1117286.0 Mx daN cm 2601000.0 nta = 0.000 58904.9 daN N lim	daN cm -44540.0 Ver.N 0,535 My daN cm 55990.0	Ok
n. 005 SLU STR Elemento: 216 - F Nq = 25.573,	No -5 Palo singolo unta = 7.16 8.0 daN, Po Palo n. 1 Sism. No -5 Palo singolo unta = 7.16 8.0 daN, Po Palo n.	daN 590900.0 68, $\phi = 38.0$ ort. punta = 14 coord.X cm 0.000 N daN 598100.0 68, $\phi = 38.0$ ort. punta = 14 coord.X cm 0.000	daN 97.4 0, Nc = 31. 39704.0 daN coord.Y cm 0.000 Tx daN -124.5 0, Nc = 31. 39704.0 daN coord.Y cm 0.000 Tx	daÑ 6826.5 452, c pur , P.P.Palo = N daN -598100.0 Ty daN 11550.0 452, c pur , P.P.Palo = N daN -613300.0	daN cm 1514000.0 nta = 0.000 58904.9 daN N lim daN -1117286.0 Mx daN cm 2601000.0 nta = 0.000 58904.9 daN N lim daN -1117286.0 Mx	daN cm -44540.0 Ver.N 0,535 My daN cm 55990.0 Ver.N 0,549	Ok
n. 005 SLU STR Elemento: 216 - F Nq = 25.573,	No -5 Palo singolo unta = 7.16 8.0 daN, Po Palo n. 1 Sism. No -5 Palo singolo unta = 7.16 8.0 daN, Po Palo n. 1 Sism.	daN 590900.0 68, $\phi = 38.0$ cort. punta = 14 coord.X cm 0.000 N daN 598100.0 68, $\phi = 38.0$ cort. punta = 14 coord.X cm 0.000	daN 97.4), Nc = 31. 39704.0 daN coord.Y cm 0.000 Tx daN -124.5), Nc = 31. 39704.0 daN coord.Y cm 0.000	daÑ 6826.5 452, c pur , P.P.Palo = N daN -598100.0 Ty daN 11550.0 452, c pur , P.P.Palo = N daN -613300.0	daN cm 1514000.0 nta = 0.000 58904.9 daN N lim daN -1117286.0 Mx daN cm 2601000.0 nta = 0.000 58904.9 daN N lim daN -1117286.0	daN cm -44540.0 Ver.N 0,535 My daN cm 55990.0 Ver.N 0,549	Ok
n. 005 SLU STR Elemento: 216 - F Nq = 25.573, Opt. Port. lat. = 107303 Cmb. Tipo n. 001 SLU STR Sollecitazioni: Cmb Tipo n. 001 SLU STR Elemento: 223 - F Nq = 25.573, Opt. Port. lat. = 107303 Cmb. Tipo n. 001 SLU STR Sollecitazioni: Cmb Tipo n. 001 SLU STR Sollecitazioni: Cmb Tipo n. 001 SLU STR	No -5 Palo singolo unta = 7.16 8.0 daN, Po Palo n. 1 Sism. No -5 Palo singolo unta = 7.16 8.0 daN, Po Palo n. 1 Sism.	daN 590900.0 68, $\phi = 38.0$ ort. punta = 14 coord.X cm 0.000 N daN 598100.0 68, $\phi = 38.0$ ort. punta = 14 coord.X cm 0.000	daN 97.4 0, Nc = 31. 39704.0 daN coord.Y cm 0.000 Tx daN -124.5 0, Nc = 31. 39704.0 daN coord.Y cm 0.000 Tx daN	daÑ 6826.5 452, c pur , P.P.Palo = N daN -598100.0 Ty daN 11550.0 452, c pur , P.P.Palo = N daN -613300.0	daN cm 1514000.0 nta = 0.000 58904.9 daN N lim daN -1117286.0 Mx daN cm 2601000.0 nta = 0.000 58904.9 daN N lim daN -1117286.0 Mx daN cm	daN cm -44540.0 Ver.N 0,535 My daN cm 55990.0 Ver.N 0,549 My daN cm	Ok
n. 005 SLU STR Elemento: 216 - F Nq = 25.573,	No -5 Palo singolo unta = 7.16 8.0 daN, Po Palo n. 1 Sism. No -5 Palo singolo unta = 7.16 8.0 daN, Po Palo n. 1 Sism. No -6 Palo No -6	daN 590900.0 68, $\phi = 38.0$ ort. punta = 14 coord.X cm 0.000 N daN 598100.0 68, $\phi = 38.0$ ort. punta = 14 coord.X cm 0.000	daN 97.4 0, Nc = 31. 39704.0 daN coord.Y cm 0.000 Tx daN -124.5 0, Nc = 31. 39704.0 daN coord.Y cm 0.000 Tx daN	daÑ 6826.5 452, c pur , P.P.Palo = N daN -598100.0 Ty daN 11550.0 452, c pur , P.P.Palo = N daN -613300.0	daN cm 1514000.0 nta = 0.000 58904.9 daN N lim daN -1117286.0 Mx daN cm 2601000.0 nta = 0.000 58904.9 daN N lim daN -1117286.0 Mx daN cm	daN cm -44540.0 Ver.N 0,535 My daN cm 55990.0 Ver.N 0,549 My daN cm	Ok
n. 005 SLU STR Elemento: 216 - F Nq = 25.573,	No -5 Palo singolo unta = 7.16 8.0 daN, Po Palo n. 1 Sism. No -5 Palo singolo unta = 7.16 8.0 daN, Po Palo n. 1 Sism. No -6 Palo No -6	daN 590900.0 68, $\phi = 38.0$ ort. punta = 14 coord.X cm 0.000 N daN 598100.0 68, $\phi = 38.0$ ort. punta = 14 coord.X cm 0.000	daN 97.4 0, Nc = 31. 39704.0 daN coord.Y cm 0.000 Tx daN -124.5 0, Nc = 31. 39704.0 daN coord.Y cm 0.000 Tx daN 0.000	daÑ 6826.5 452, c pur , P.P.Palo = N daN -598100.0 Ty daN 11550.0 452, c pur , P.P.Palo = N daN -613300.0	daN cm 1514000.0 nta = 0.000 58904.9 daN N lim daN -1117286.0 Mx daN cm 2601000.0 nta = 0.000 58904.9 daN N lim daN -1117286.0 Mx daN cm 2635000.0	daN cm -44540.0 Ver.N 0,535 My daN cm 55990.0 Ver.N 0,549 My daN cm	Ok
n. 005 SLU STR Elemento: 216 - F Nq = 25.573,	No -5 Palo singolo unta = 7.16 8.0 daN, Po Palo n. 1 Sism. No -5 Palo singolo unta = 7.16 8.0 daN, Po Palo n. 1 Sism. No -6 Integrata :+39.099.987028	daN 590900.0 68, $\phi = 38.0$ ort. punta = 14 coord.X cm 0.000 N daN 598100.0 68, $\phi = 38.0$ ort. punta = 14 coord.X cm 0.000 N daN 613300.0	daN 97.4 0, Nc = 31. 39704.0 daN coord.Y cm 0.000 Tx daN -124.5 0, Nc = 31. 39704.0 daN coord.Y cm 0.000 Tx daN 0.000	daÑ 6826.5 452, c pur , P.P.Palo = N daN -598100.0 Ty daN 11550.0 452, c pur , P.P.Palo = N daN -613300.0 Ty daN 11650.0	daN cm 1514000.0 nta = 0.000 58904.9 daN N lim daN -1117286.0 Mx daN cm 2601000.0 nta = 0.000 58904.9 daN N lim daN -1117286.0 Mx daN cm 2635000.0	daN cm -44540.0 Ver.N 0,535 My daN cm 55990.0 Ver.N 0,549 My daN cm	Ok Stato Ok

Committente: Green Energy 7 Srl Corso Europa 13	PROGETTO PER LA REALIZZAZIONE DI UN PARCO EOLICO NEL COMUNE DI CASTELLANETA	Nome del file:
20122 Milano (MI)	(TA) NELLA LOCALITA' "PEZZA DEL DRAGONE"	CST-CIV-REL-026 _01

Elemento:	230	- P	alo	sing	olo
-----------	-----	-----	-----	------	-----

Nq = 2	25.573, G pt	unta = 7.168	$\theta = 38.$	0, Nc = 31.	452, c pur	nta = 0.000		
Port.	lat. = 107303	8.0 daN, Po	rt. punta = 1	439704.0 daN,	P.P.Palo =	58904.9 daN		
Cmb.	Tipo	Palo	coord.X	coord.Y	N	N lim	Ver.N	Stato
n.		n.	cm	cm	daN	daN		
001	SLU STR	1	0.000	0.000	-598100.0	-1117286.0	0,535	Ok
Solled	itazioni:							
Cmb	Tipo	Sism.	N	Tx	Ту	Mx	My	
n.			daN	daN	daN	daN cm	daN cm	
001	SLU STR	No -59	98100.0	124.5	11550.0	2601000.0	-55990.0	

Elemento: 363 - Palo singolo

Nq = 2	25.573, σ ρι	unta = 7.168	$\phi = 38.9$	0, Nc = 31.	.452, c pur	nta = 0.000		
Port.	lat. = 107303	8.0 daN, Por	t. punta = 14	439704.0 daN	, P.P.Palo =	58904.9 daN		
Cmb.	Tipo	Palo	coord.X	coord.Y	N	N lim	Ver.N	Stato
n.		n.	cm	cm	daN	daN		
001	SLU STR	1	0.000	0.000	-597000.0	-1117286.0	0,534	Ok
Sollec	itazioni:							
Cmb	Tipo	Sism.	N	Tx	Ту	Mx	My	
n.			daN	daN	daN	daN cm	daN cm	
001	SLU STR	No -59	7000.0	-104.4	11640.0	2643000.0	45700.0	

Elemento: 370 - Palo singolo

Nq = 2	25.573, G pi	unta = 7.168	$\theta = 38.$	0, Nc = 31.	452, c pui	nta = 0.000		
Port.	lat. = 107303	8.0 daN, Po	rt. punta = 1	439704.0 daN	, P.P.Palo =	58904.9 daN		
Cmb.	Tipo	Palo	coord.X	coord.Y	N	N lim	Ver.N	Stato
n.		n.	cm	cm	daN	daN		
001	SLU STR	1	0.000	0.000	-601900.0	-1117286.0	0,539	Ok
Solled	itazioni:							
Cmb	Tipo	Sism.	N	Tx	Ту	Mx	My	
n.			daN	daN	daN	daN cm	daN cm	
001	SLU STR	No -60	01900.0	0.0	11680.0	2657000.0	0.0	

Elemento: 377 - Palo singolo

Nq = 2	25.573, ⊙ pι	unta = 7.168	$\theta = 38.$	0, Nc = 31.	452, c pur	nta = 0.000		
Port.	lat. = 107303	8.0 daN, Po	rt. punta = 1	439704.0 daN,	P.P.Palo =	58904.9 daN		
Cmb.	Tipo	Palo	coord.X	coord.Y	N	N lim	Ver.N	Stato
n.		n.	cm	cm	daN	daN		
001	SLU STR	1	0.000	0.000	-597000.0	-1117286.0	0,534	Ok
Solled	itazioni:							
Cmb	Tipo	Sism.	N	Tx	Ту	Mx	My	
n.			daN	daN	daN	daN cm	daN cm	
001	SLU STR	No -59	97000.0	104.4	11640.0	2643000.0	-45700.0	

VALORI DI CALCOLO DELLA PORTANZA ORIZZONTALE PER FONDAZIONI PROFONDE

Eleme	ento: 69 - Pa	lo singol	0						
Cmb.	Tipo	Pal	o coord.X	coord.Y	Ved	Me	ecc. Mu	V lim	Ver.V
	Stato								
n.		n.	cm	cm	daN		- daN cm	daN	
001	SLU STR	1	0.000	0.000	11440.4	P. L	ungo 12586530	.0 22141.1	0,517
	Ver. OK								
Sollec	itazioni:								
Cmb	Tipo	Sism.	N	Tx	Ту	Mx	My		
n.			daN	daN	daN	daN cm	daN cm		
001	SLU STR	No	-589400.0	-95.7	11440.0	2553000.0	44260.0		

Elemento: 76 - Palo singolo

PHEEDRA SrI		
Servizi di Ingegneria Integrata		
Via Lago di Nemi, 90	RELAZIONE GEOTECNICA	Pagina 49 di 60
74121 - Taranto (Italy)	THE MEIONE OF OTEONION	r agina 45 di 00
Tel. +39.099.7722302 - Fax: +39.099.9870285		
Fmail: info@pheedra it – web: www.pheedra it		

Committente: Green Energy 7 SrI	PROGETTO PER LA REALIZZAZIONE DI UN PARCO EOLICO NEL COMUNE DI CASTELLANETA	Nome del file:
Corso Europa 13	(TA) NELLA LOCALITA' "PEZZA DEL DRAGONE"	CST-CIV-REL-026 01

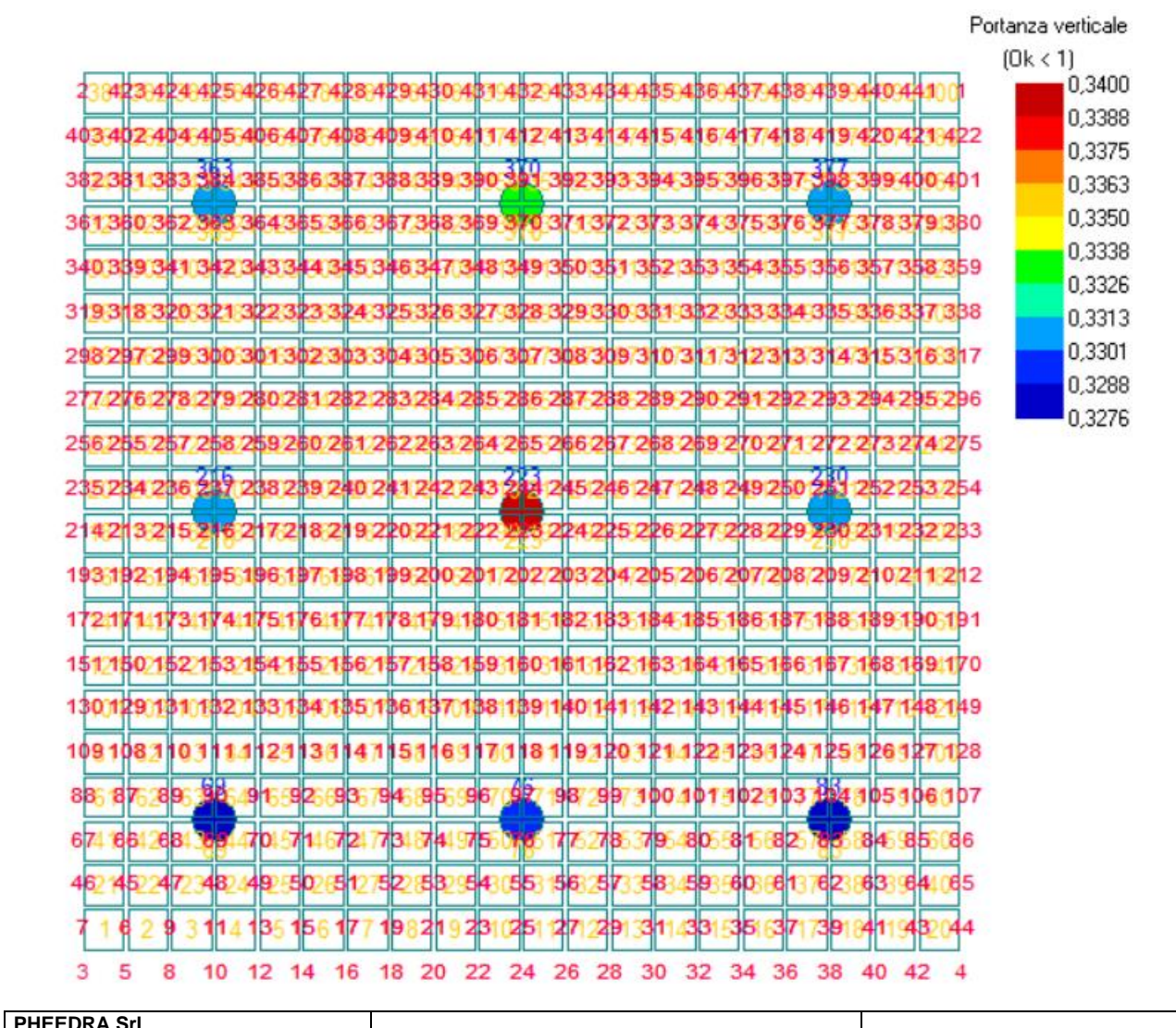
Cmb.	Tipo Stato	Pal	o co	ord.X	coord.Y	Ved	N	lecc.	Mu	V lim	Ver.V
n. 001	SLU STR Ver. OK	n. 1		cm 0.000	cm 0.000	daN 11430.0	P.	- da Lungo 125	N cm 59350.	daN 0 22139.2	0,516
	tazioni: Tipo	Sism.	da	N aN	Tx daN	Ty daN	Mx daN cm	N daN c	ly m		
001	SLU STR	No	-594400	.0	0.0	11430.0	2545000.0		.0		
Eleme Cmb.	nto: 83 - Pa Tipo Stato	lo singol Pal		ord.X	coord.Y	Ved	N	lecc.	Mu	V lim	Ver.V
n. 001	SLU STR Ver. OK	n. 1		cm 0.000	cm 0.000	daN 11440.4		- da Lungo 1258	N cm 36530.	daN 0 22141.1	0,517
	tazioni: Tipo SLU STR	Sism. No	da -589400		Tx daN 95.7	Ty daN 11440.0	Mx daN cm 2553000.0	daN c -44260			
Eleme Cmb.	nto: 216 - P Tipo Stato	alo singo Pal		ord.X	coord.Y	Ved	N	lecc.	Mu	V lim	Ver.V
n. 001	SLU STR Ver. OK	n. 1		cm 0.000	cm 0.000	daN 11550.7	P.	- da Lungo 1253	N cm 38370.	daN 0 21909.9	0,527
Cmb n.	tazioni: Tipo	Sism.	da		Tx daN	Ty daN	Mx daN cm	daN c			
001	SLU STR	No	-598100	.0	-124.5	11550.0	2601000.0	55990	.0		
Eleme Cmb.	nto: 223 - P Tipo Stato	alo singo Pal		ord.X	coord.Y	Ved	N		Mu	V lim	Ver.V
n. 001	SLU STR Ver. OK	n. 1		cm 0.000	cm 0.000	daN 11650.0	P.	- da Lungo 1244	ıN cm 14390.	daN 0 21692.0	0,537
Solleci Cmb n. 001	tazioni: Tipo SLU STR	Sism.	da -613300		Tx daN 0.0	Ty daN 11650.0	Mx daN cm	daN c			
		No		.0	0.0	11030.0	2635000.0	U	.0		
Cmb.	nto: 230 - P Tipo Stato	aio singo Pal		ord.X	coord.Y	Ved	N		Mu	V lim	Ver.V
n. 001	SLU STR Ver. OK	n. 1	(cm 0.000	cm 0.000	daN 11550.7	P.	- da Lungo 1250	iN cm 38370.	daN 0 21909.9	0,527
Solleci Cmb n. 001	tazioni: Tipo SLU STR	Sism. No	da -598100		Tx daN 124.5	Ty daN 11550.0	Mx daN cm 2601000.0	daN c -55990			
	nto: 363 - P	_						_			
Cmb.	Tipo Stato	Pal	o co	ord.X	coord.Y	Ved	N		Mu	V lim	Ver.V
n. 001	SLU STR Ver. OK	n. 1		cm 0.000	cm 0.000	daN 11640.5	P.	- da Lungo 1254	N cm 14680.	daN 0 21780.4	0,534
	tazioni: Tipo	Sism.		N	Tx	Ту	Mx	N	l y		
n. 001	SLU STR	No	da -597000	aΝ	daN -104.4	daN 11640.0	daN cm 2643000.0	daN c 45700	m		
PHEE Servizi Via Lago 74121 – Tel. +39.	DRA SrI i di Ingegneria I o di Nemi, 90 Taranto (Italy) .099.7722302 – Fax: fo@pheedra.it – wet	ntegrata +39.099.9870	1285	-		NE GEOTECNIC		.3.30		Pagina 50 d	di 60

Committente:	DDOOFTTO DED LA DEALIZZAZIONE DILINI
Green Energy 7 Srl	PROGETTO PER LA REALIZZAZIONE DI UN
Corso Europa 13 20122 Milano (MI)	PARCO EOLICO NEL COMUNE DI CASTELLANETA (TA) NELLA LOCALITA' "PEZZA DEL DRAGONE"

Nome del file:

CST-CIV-REL-026_01

Elem	ento: 370 - P	Palo sing	olog								
Cmb.	Tipo	P	alo	coord.X	coord.Y	Ved		Mecc.	Mu	V lim	Ver.V
	Stato										
n.		1	n.	cm	cm	daN		-	daN cm	daN	
001	SLU STR		1	0.000	0.000	11680.0	Р	. Lungo	12516050.0	21706.4	0,538
	Ver. OK										
Solled	itazioni:										
Cmb	Tipo	Sism.		N	Tx	Ту	Mx		My		
n.				daN	daN	daN	daN cm	C	daN cm		
001	SLU STR	No	-60	01900.0	0.0	11680.0	2657000.0		0.0		
Elem	ento: 377 - P	Palo sino	olor								
	ento: 377 - P Tipo	-	-	coord.X	coord.Y	Ved		Mecc.	Mu	V lim	Ver.V
Elemo		-	golo alo	coord.X	coord.Y	Ved		Месс.	Mu	V lim	Ver.V
	Tipo	P	-	coord.X	coord.Y	Ved daN		Mecc.	Mu daN cm	V lim daN	Ver.V
Cmb.	Tipo	P	alo					-		daN	Ver.V 0,534
Cmb.	Tipo Stato	P	alo n.	cm	cm	daN		-	daN cm	daN	
n. 001	Tipo Stato SLU STR	P	alo n.	cm	cm	daN		-	daN cm	daN	
n. 001	Stato SLU STR Ver. OK	P	alo n.	cm	cm	daN		-	daN cm	daN	
n. 001 Solled	Tipo Stato SLU STR Ver. OK citazioni:	P	alo n.	cm 0.000	cm 0.000	daN 11640.5	Ρ	- . Lungo	daN cm 12544680.0	daN	



I I IIEEDIKA OII
Servizi di Ingegneria Integrata
Via Lago di Nemi, 90
74121 - Taranto (Italy)
Tel. +39.099.7722302 - Fax: +39.099.9870285
Email: info@pheedra.it - web: www.pheedra.it

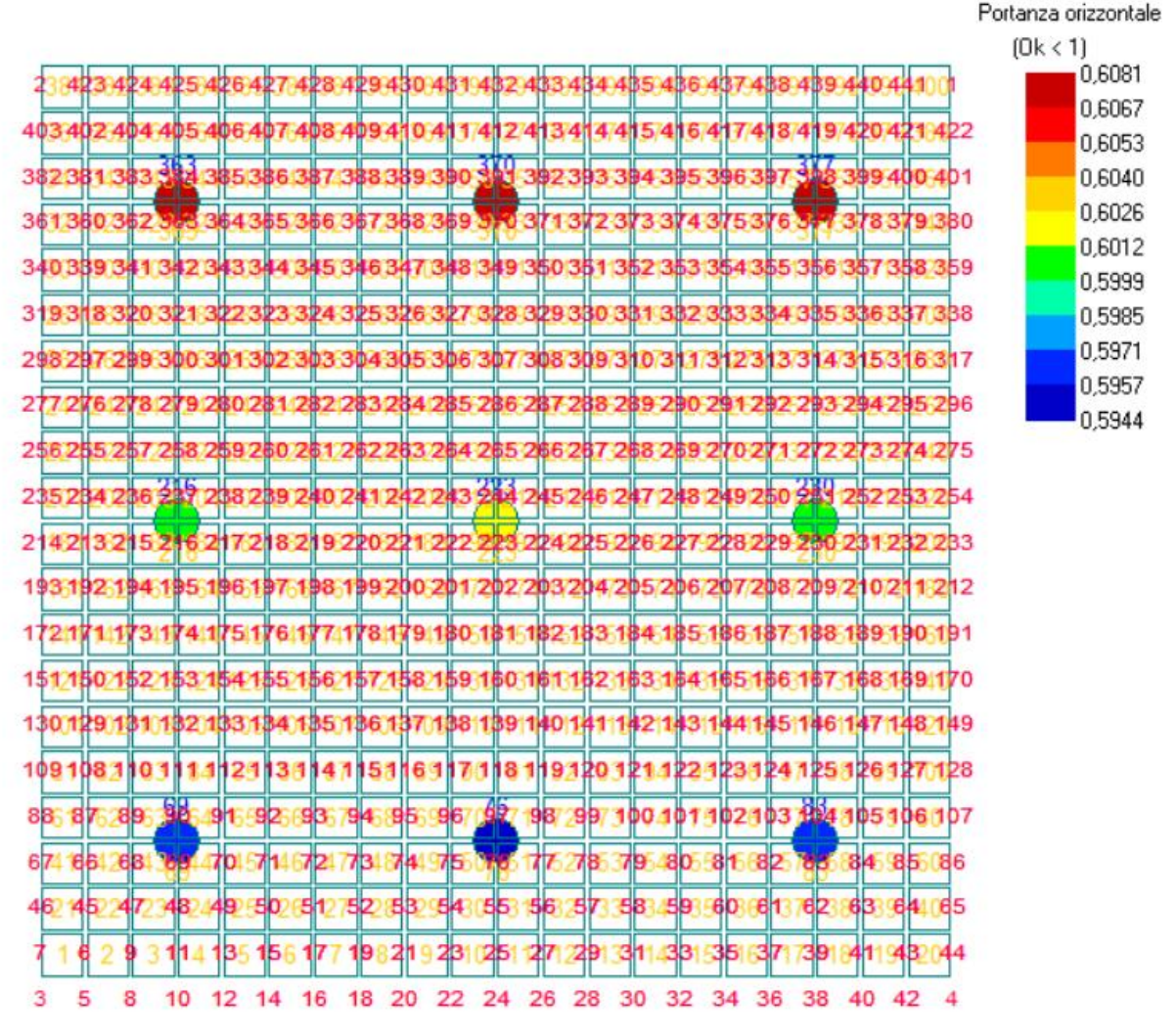


Figura 8a - Portanza massima

8.9. Valori di calcolo della portanza per fondazioni superficiali

Macro platea: 1

Risultati più gravosi per cmb. di tipo SLU STR:

Sgm. Lt (tens. litostatica) = -0.4480 daN/cm^2

Qlim = Qlim c + Qlim q + Qlim g + Qres P = 0.0000 + 6.1153 + 9.0393 + 0.0000

Qmax / Qlim = 0.0585 / 15.1546 = 0,004 Ok (Cmb. n. 001)

TB / TBlim = 0.0 / 271496.4 = 0,000 Ok (Cmb. n. 001)

TL / TLlim = 30957.5 / 245046.5 = 0,126 Ok (Cmb. n. 003)

Sollecitazioni:

Cmb	Tipo	Sism.	Ecc. B	Ecc. L	S. Taglio B	S. Taglio L	S. Normale	T.T. min	T.T. max
n.			cm	cm	daN	daN	daN	daN/cm ²	daN/cm ²
001	SLU STR	No	0.000	3.068	0.0	30957.5	-230286.6	-0.0559	-0.0585
003	SLU STR	No	0.000	3.989	0.0	30957.5	-177143.5	-0.0429	-0.0450

Risultati più gravosi per cmb. di tipo SLV A1 sism.:

Sgm. Lt (tens. litostatica) = -0.4480 daN/cm^2

Qlim = Qlim c + Qlim q + Qlim g + Qres P = 0.0000 + 7.5672 + 12.8875 + 0.0000

PHEEDRA Srl		
Servizi di Ingegneria Integrata		
Via Lago di Nemi, 90	RELAZIONE GEOTECNICA	Pagina 52 di 60
74121 - Taranto (Italy)	TELAZIONE GEOTEOMOA	r agiria 32 di 00
Tel. +39.099.7722302 - Fax: +39.099.9870285		
Email: info@pheedra.it - web: www.pheedra.it		

Committente: Green Energy 7 Srl Corso Europa 13 20122 Milano (MI)

Sollecitazioni:

Cmb	Тіро	Sism.	Ecc. B	Ecc. L	S. Taglio B	S. Taglio L	S. Normale	T.T. min	I.I. max
n.			cm	cm	daN	daN	daN	daN/cm ²	daN/cm ²
013	SLV A1	Si	0.282	0.000	416.6	0.0	-177143.5	-0.0432	-0.0449

Risultati più gravosi per cmb. di tipo **SLD sism.**: Sgm. Lt (tens. litostatica) = -0.4480 daN/cm²

Qlim = Qlim c + Qlim q + Qlim g + Qres P = 0.0000 + 7.5855 + 12.9428 + 0.0000

Qmax / Qlim = 0.0449 / 20.5283 = 0,002 Ok (Cmb. n. 015)

TB / TBlim = 131.0 / 208843.4 = 0,001 Ok (Cmb. n. 015)

TL / TLlim = 0.0 / 208843.4 = 0,000 Ok (Cmb. n. 015)

Sollecitazioni:

Cmb	Tipo	Sism.	Ecc. B	Ecc. L	S. Taglio B	S. Taglio L	S. Normale	T.T. min	T.T. max
n.			cm	cm	daN	daN	daN	daN/cm ²	daN/cm ²
015	SLD	Si	0.089	0.000	131.0	0.0	-177143.5	-0.0433	-0.0449

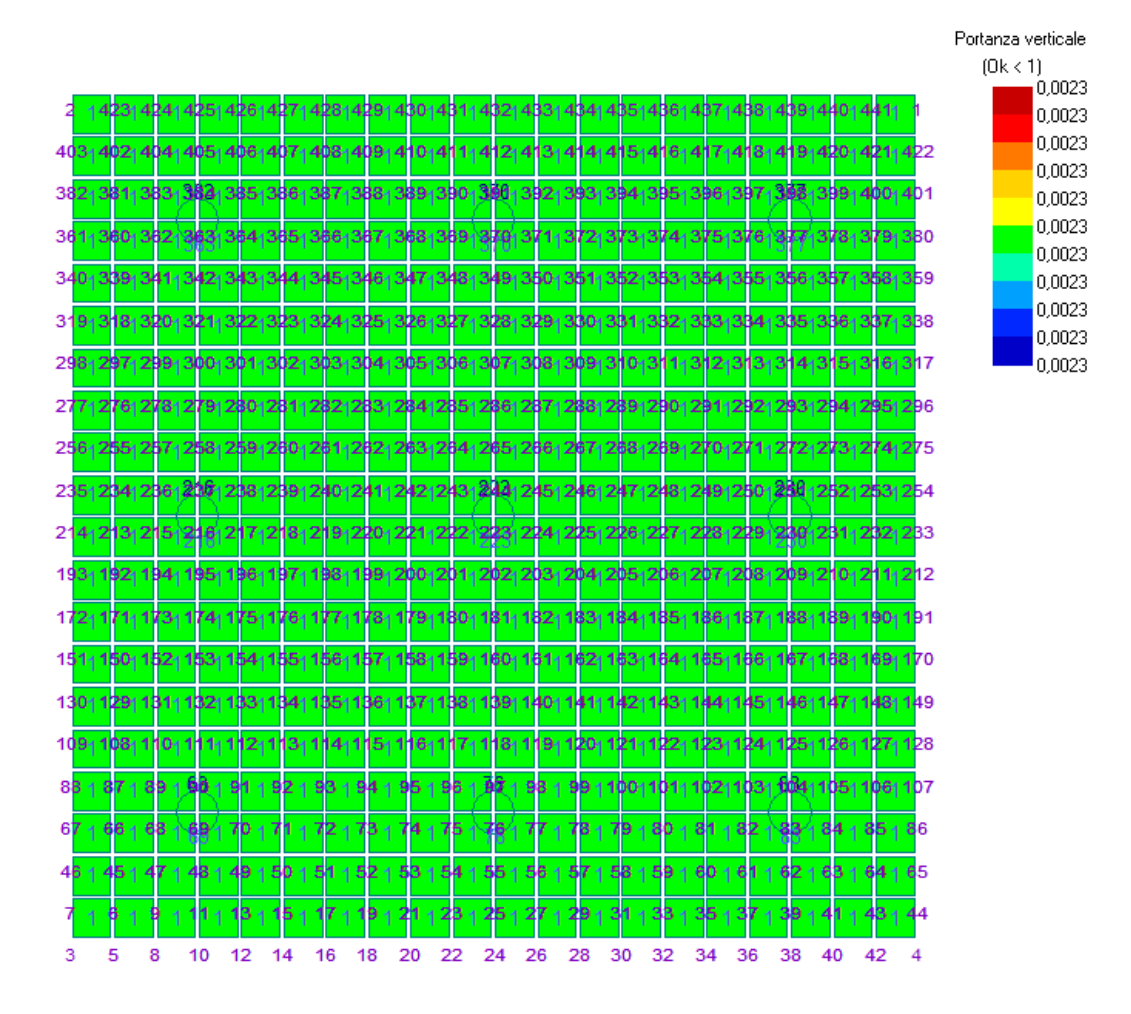


Figura 9b – Portanza massima

PHEEDRA SrI
O LIVE ON
Servizi di Ingegneria Integrata
Via Lago di Nemi, 90 74121 – Taranto (Italy) Tel. +39.099.7722302 – Fax: +39.099.9870285
74121 - Taranto (Italy)
Tel. +39.099.7722302 - Fax: +39.099.9870285
Email: info@pheedra.it – web: www.pheedra.it

Committente: Green Energy 7 Srl Corso Europa 13 20122 Milano (MI)

8.10. Valori di calcolo dei cedimenti per fondazioni profonde

Elemento: 69 - P Cmb. (Tipo)	alo singo Palo	lo coord.X	coord.Y	N	Ced.\	/ert	
n. 009 (SLE rare)	n. 1	cm 0.000	cm 0.000	daN -453700.0		cm 000	
Sollecitazioni: Cmb Tipo	Sism.	N	Tx	Ту	Mx	My	
n. 009 SLE rare	No	daN -453700.0	daN -74.0	daN 7619.2	daN cm 1698000.0	daN cm 34120.0	
Elemento: 76 - P Cmb. (Tipo)	alo singo Palo	lo coord.X	coord.Y	N	Ced.\	/ert	
n. 009 (SLE rare)	n. 1	cm 0.000	cm 0.000	daN -457600.0		cm 000	
Sollecitazioni:		N	Tx		Mx		
Cmb Tipo n. 009 SLE rare	Sism. No	daN -457600.0	daN 0.0	Ty daN 7608.6	daN cm 1691000.0	My daN cm 0.0	
Elemento: 83 - P			0.0	7000.0	1091000.0	0.0	
Cmb. (Tipo)	Palo	coord.X cm	coord.Y	N daN	Ced.\		
n. 009 (SLE rare)	n. 1	0.000	cm 0.000	-453700.0		cm 000	
Sollecitazioni: Cmb Tipo	Sism.	N	Tx	Ту	Mx	Му	
n. 009 SLE rare	No	daN -453700.0	daN 74.0	daN 7619.2	daN cm 1698000.0	daN cm -34120.0	
Elemento: 216 -							
Cmb. (Tipo) n.	Palo n.	coord.X cm	coord.Y cm	N daN		cm	
009 (SLE rare) Sollecitazioni:	1	0.000	0.000	-460100.0	0.0	000	
Cmb Tipo n.	Sism.	N daN	Tx daN	Ty daN	Mx daN cm	My daN cm	
009 SLE rare	No	-460100.0	-95.8	7700.9	1734000.0	43070.0	
Elemento: 223 - Cmb. (Tipo)	Palo sing Palo	olo coord.X	coord.Y	N	Ced.\	/ert	
n. 009 (SLE rare)	n. 1	cm 0.000	cm 0.000	daN -471800.0		cm 000	
Sollecitazioni: Cmb Tipo	Sism.	N	Tx	Ту	Mx	My	
n. 009 SLE rare	No	daN -471800.0	daN 0.0	daN 7766.3	daN cm 1757000.0	daN cm 0.0	
Elemento: 230 -			0.0	7700.0	1707000.0	0.0	
Cmb. (Tipo)	Palo n.	coord.X cm	coord.Y cm	N daN	Ced.\	/ert cm	
009 (SLE rare)	1	0.000	0.000	-460100.0		000	
Sollecitazioni: Cmb Tipo	Sism.	N	Tx	Ту	Mx	Му	
n. 009 SLE rare	No	daN -460100.0	daN 95.8	daN 7700.9	daN cm 1734000.0	daN cm -43070.0	
Elemento: 363 -	Palo sing Palo	olo coord.X	coord.Y		Ced.\	lort	
Cmb. (Tipo) n.	n.	cm cm	cm	N daN		cm	
009 (SLE rare) Sollecitazioni:	1	0.000	0.000	-458800.0	0.0	000	
Cmb Tipo	Sism.	N doN	Tx	Ty	Mx	My	
n. 009 SLE rare	No	daN -458800.0	daN -79.9	daN 7773.2	daN cm 1767000.0	daN cm 35080.0	
PHEEDRA SrI Servizi di Ingegneria Via Lago di Nemi, 90 74121 – Taranto (Italy) Tel. +39.099.7722302 – Fa Email: info@pheedra.it – w	ax: +39.099.987		RELAZIONE	GEOTECNIC	CA		Pagina 54 di 60

PROGETTO PER LA REALIZZAZIONE DI UN
PARCO EOLICO NEL COMUNE DI CASTELLANETA
(TA) NELLA LOCALITA' "PEZZA DEL DRAGONE"

Nome del file: **CST-CIV-REL-026_**01

Elemo		- Palo sing Palo	olo coord.X	coord.Y	N	Ced	d.Vert
n.		n.	cm	cm	daN		cm
009 (SLE rare)	1	0.000	0.000	-462600.0	(0.000
Solled	itazioni:						
Cmb	Tipo	Sism.	N	Tx	Ty	Mx	My
n.	-		daN	daN	daN	daN cm	daN cm
009	SLE rare	No	-462600.0	0.0	7800.2	1777000.0	0.0
Eleme	ento: 377	- Palo sing	olo				
Elemo		- Palo sing Palo	olo coord.X	coord.Y	N	Ced	d.Vert
		-		coord.Y cm	N daN	Ced	d.Vert cm
Cmb. n.		Palo	coord.X		= =		
n. 009 ((Tipo)	Palo n.	coord.X cm	cm	daN		cm
n. 009 ((Tipo) SLE rare)	Palo n.	coord.X cm	cm	daN		cm
n. 009 (Solled	(Tipo) SLE rare) citazioni:	Palo n. 1	coord.X cm 0.000	cm 0.000	daN -458800.0	(cm 0.000

Committente:

Green Energy 7 Srl Corso Europa 13

20122 Milano (MI)

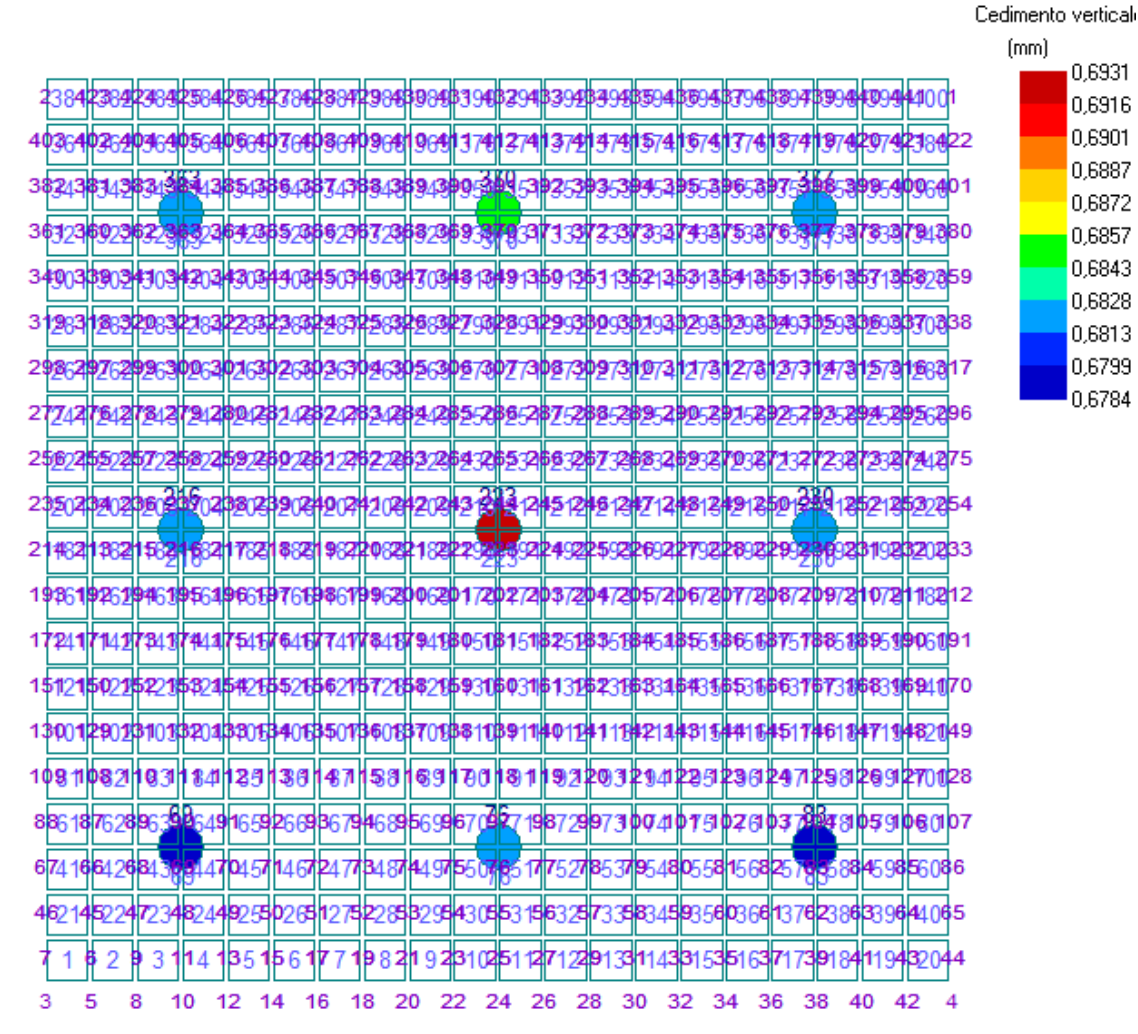


Figura 10 - Cedimenti massimi

PHEEDRA SrI		
Servizi di Ingegneria Integrata		
Via Lago di Nemi, 90	RELAZIONE GEOTECNICA	Pagina 55 di 60
74121 - Taranto (Italy)	TELIZIONE OLOTEONION	r agina 55 di 60
Tel. +39.099.7722302 - Fax: +39.099.9870285		
Email: info@pheedra.it - web: www.pheedra.it		

20122 Milano (MI)

CST-CIV-REL-026 01

8.11. Valori di calcolo dei cedimenti per fondazioni superficiali

Elemento: Platea n. 1

Sollecitazioni:

Ecc. L S. Taglio L Cmb Tipo Sism. S. Taglio B T.T. min Ecc. B S. Normale T.T. max cm cm daN daN daN daN/cm² daN/cm² 009 SLE rare 0.000 -0.029 0.0 71181.8 -1492639.0 -0.3670 -0.3785 No

Cedimento massimo = -0.282 cm in Cmb n. 009 Cedimento minimo = -0.016 cm in Cmb n. 009

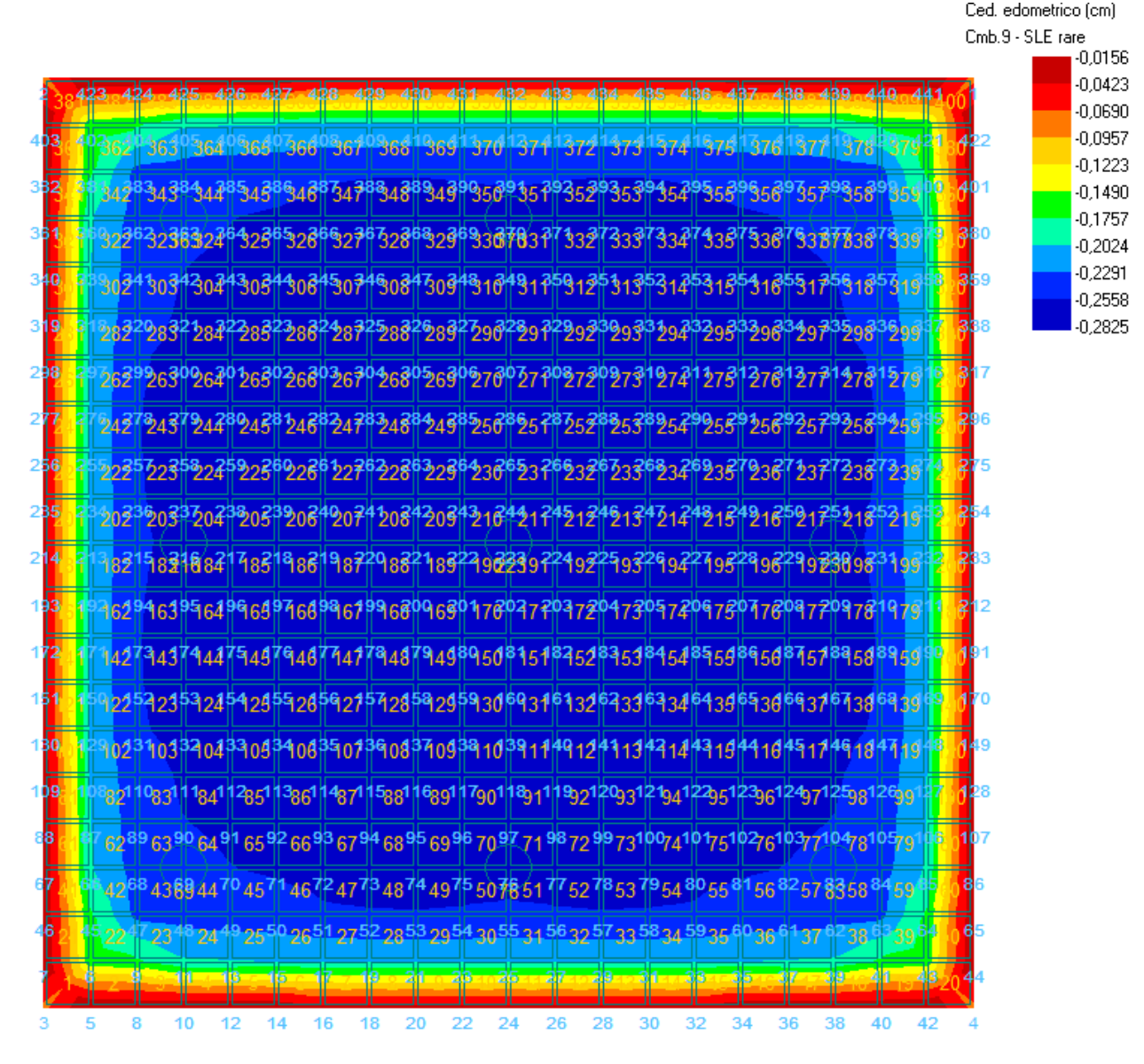


Figura 11 – mappa dei cedimenti edometrici

ı	PREEDRA SII
	Servizi di Ingegneria Integrata
	Via Lago di Nemi, 90
	74121 – Taranto (Italy) Tel. +39.099.7722302 – Fax: +39.099.9870285
	Tel. +39.099.7722302 - Fax: +39.099.9870285
	Email: info@pheedra.it - web: www.pheedra.it

DUEEDDA C-I

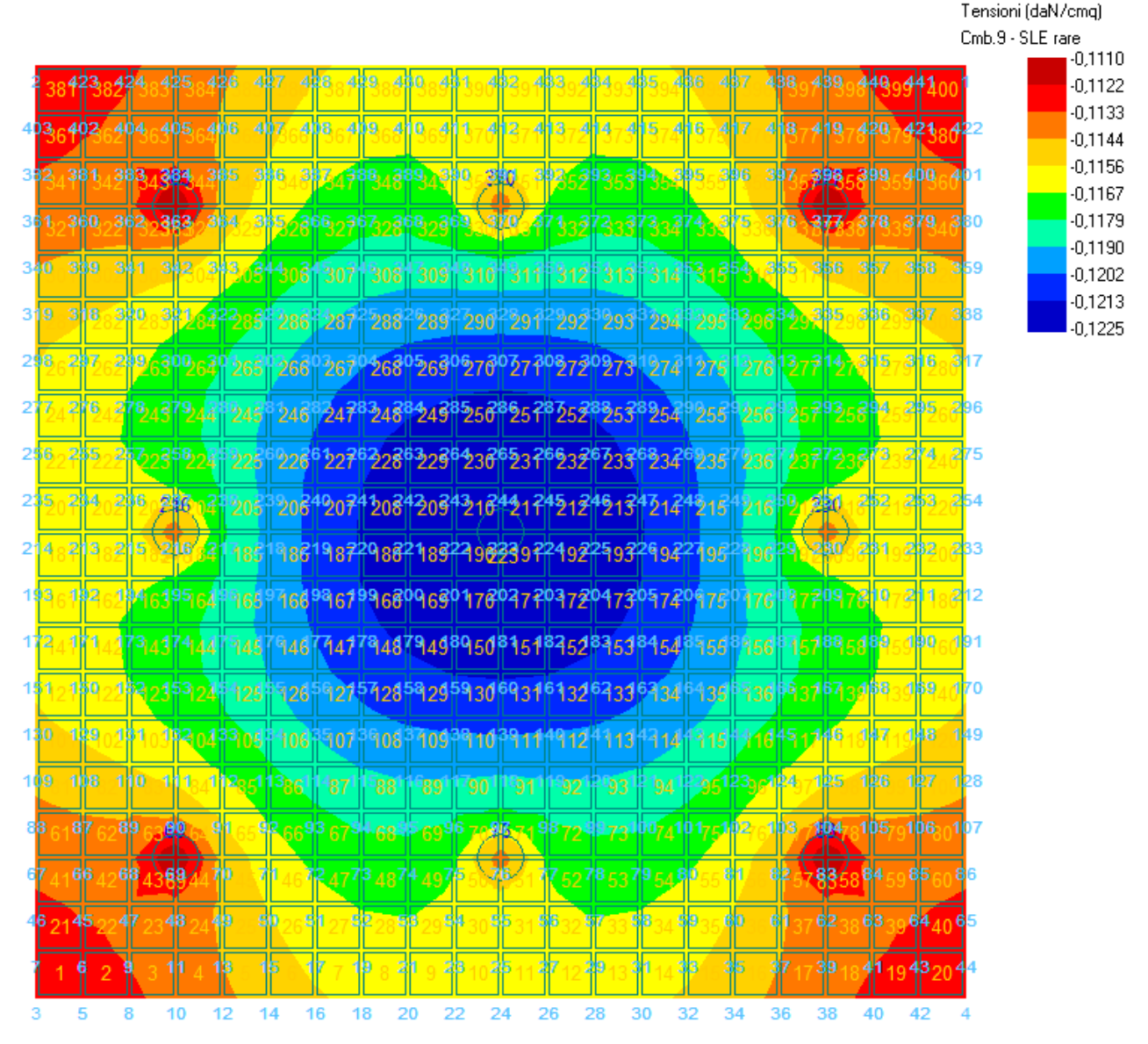


Figura 12 – mappa delle tensioni)

20122 Milano (MI)

PROGETTO PER LA REALIZZAZIONE DI UN PARCO EOLICO NEL COMUNE DI CASTELLANETA (TA) NELLA LOCALITA' "PEZZA DEL DRAGONE"

Nome del file:

CST-CIV-REL-026_01

8.12. Particolare costruttivo fondazione

Armatura diffusa lato superiore



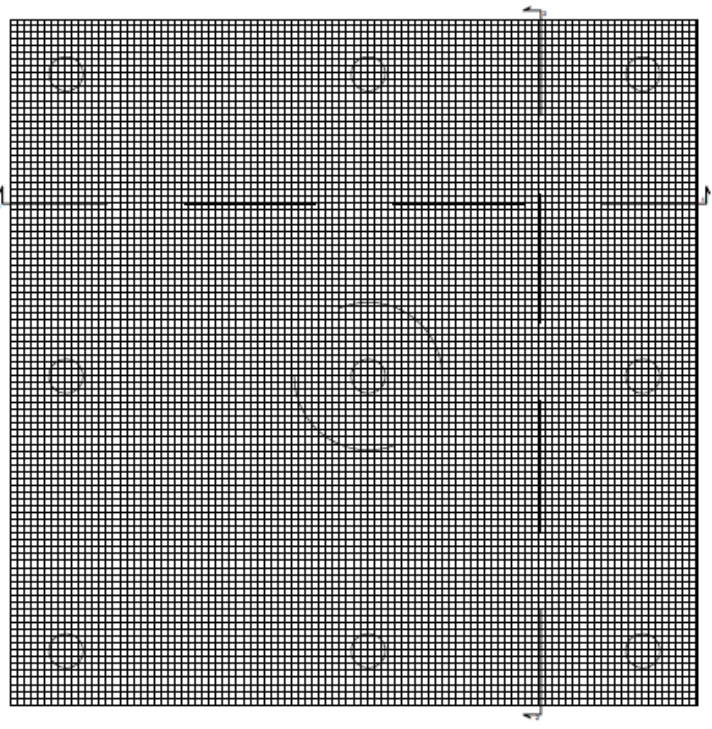


Assonometria cavalletti distanziatori Ø 12 a=24 cm, b=18cm, h=394 cm 4 per mq, (1/50 dir.1, 1/50 dir.2)

Armatura diffusa lato inferiore



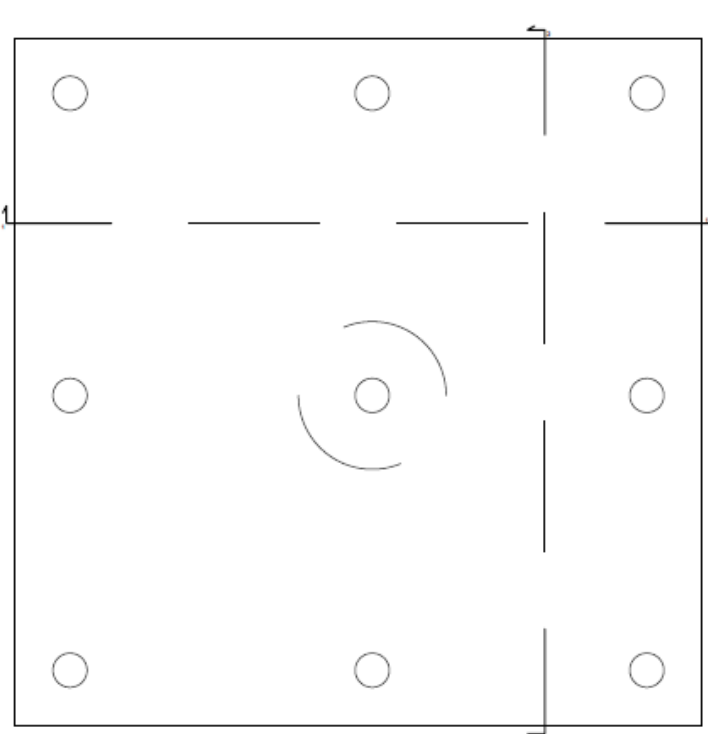




Armatura a taglio

Armatura per punzonamento (misure in mm):

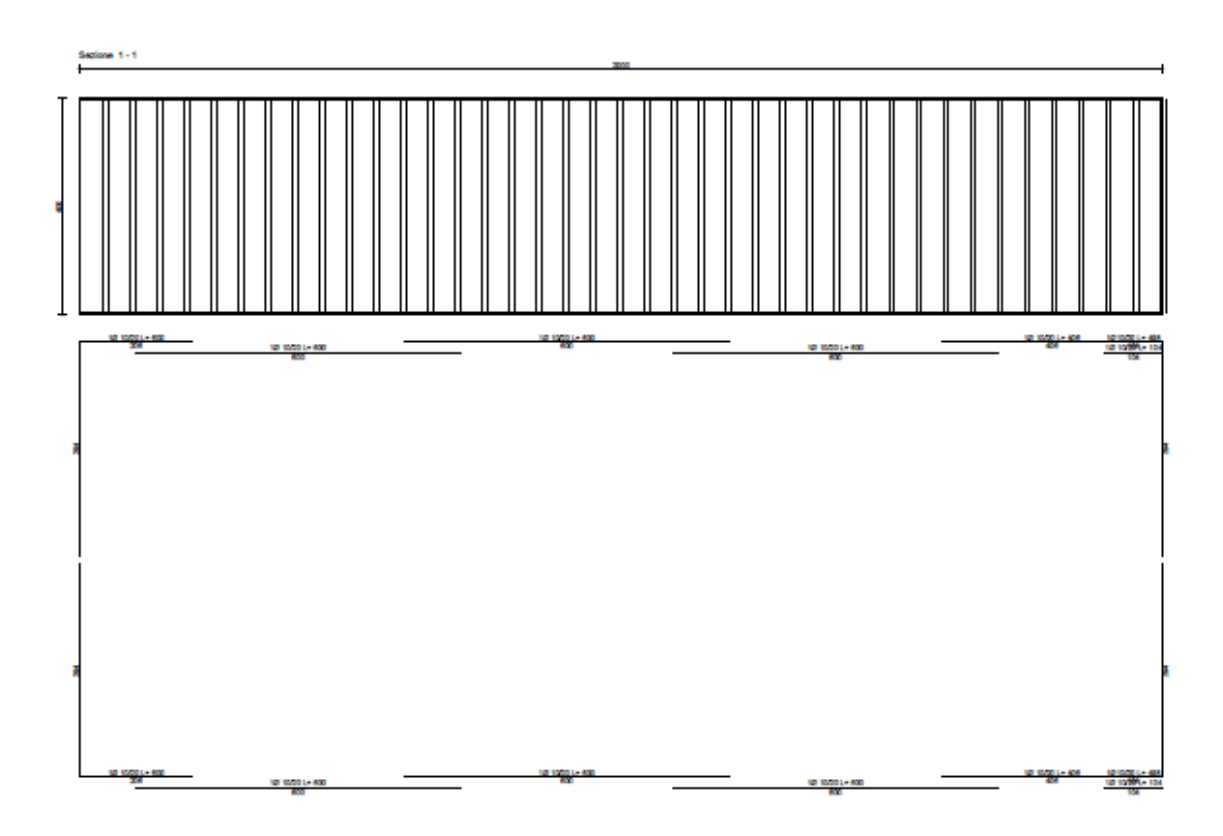
- N x ØD L / n (d1+d2)
- N numero complessivo di listelli
- D diametro dei pioli con testa a martello L lunghezza dei pioli
- n numero dei pioli per listello
- d1 distanza del primo piolo dal bordo pilastro
- d2 distanza tra i successivi pioli per numero di pioli rimanenti

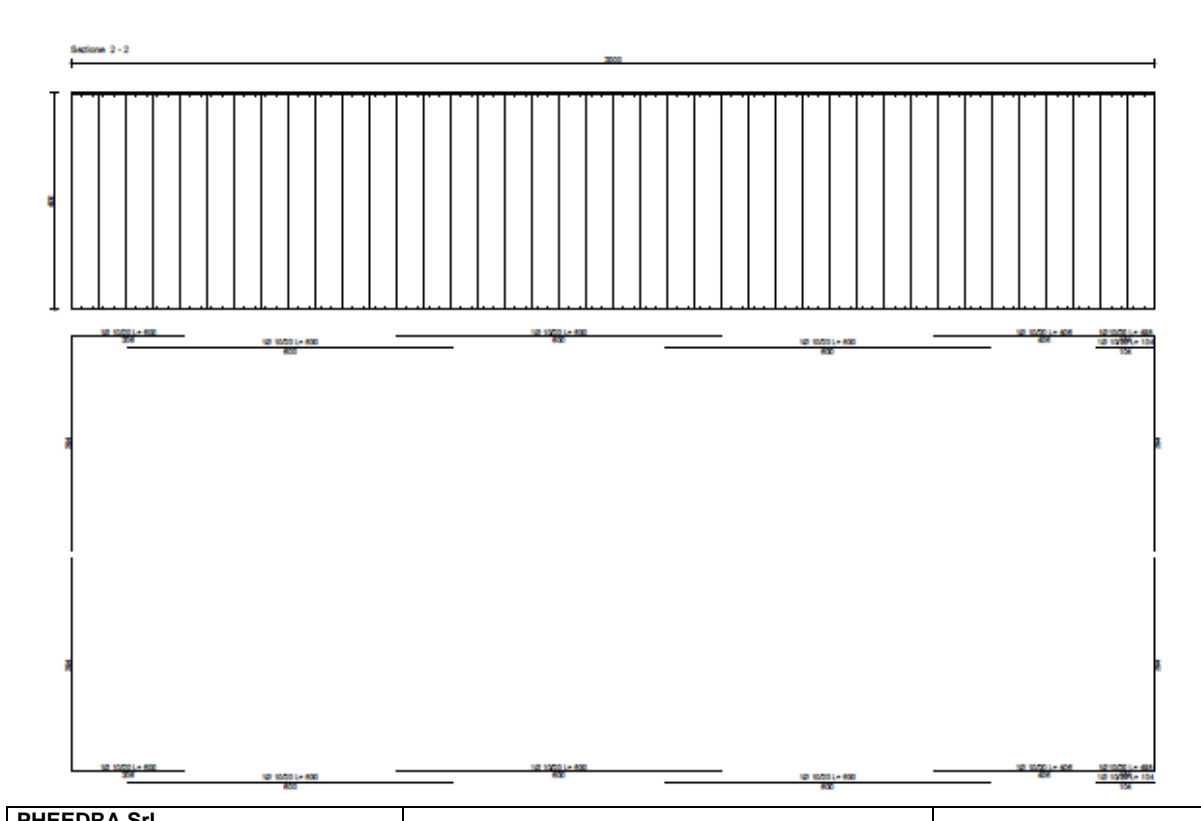


PH	FF	DR	Δ	Srl

Servizi di Ingegneria Integrata Via Lago di Nemi, 90 74121 – Taranto (Italy) Tel. +39.099.7722302 – Fax: +39.099.9870285 Email: info@pheedra.it – web: www.pheedra.it

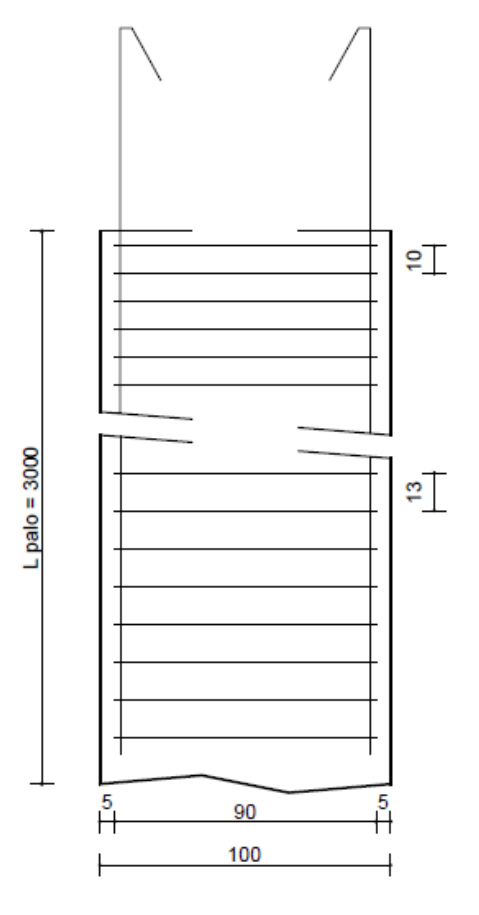
CST-CIV-REL-026_01





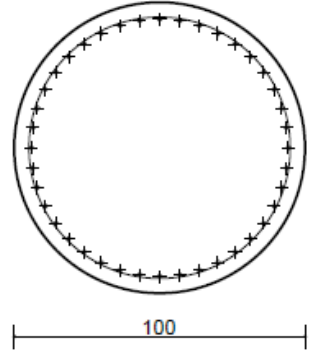
Particolare costruttivo del palo di fondazione

PALO TIPO



Pos.	Num.	D.(mm)	L (cm)	Peso (kg)
1	1	Ø8	68905	271,9
2	17	Ø 16	3080	826,4
3	23	Ø 16	1088	395,0

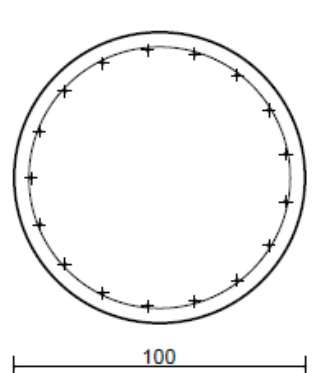
Peso acciaio pali = 1493,3 kg Volume calcestruzzo pali = 23,6 mc



Sezione palo da:

quota 0,0 a quota -1000,0

- 1) St. circolari Ø8 / 9.6, L = 331
- 17Ø16 L = 3080
- (3) 23Ø16 L = 1090



Sezione palo da:

quota -1000,0 a quota -3000,0

- 1) St. circolari Ø8 / 13, L = 331
- 17Ø16 L = 3080